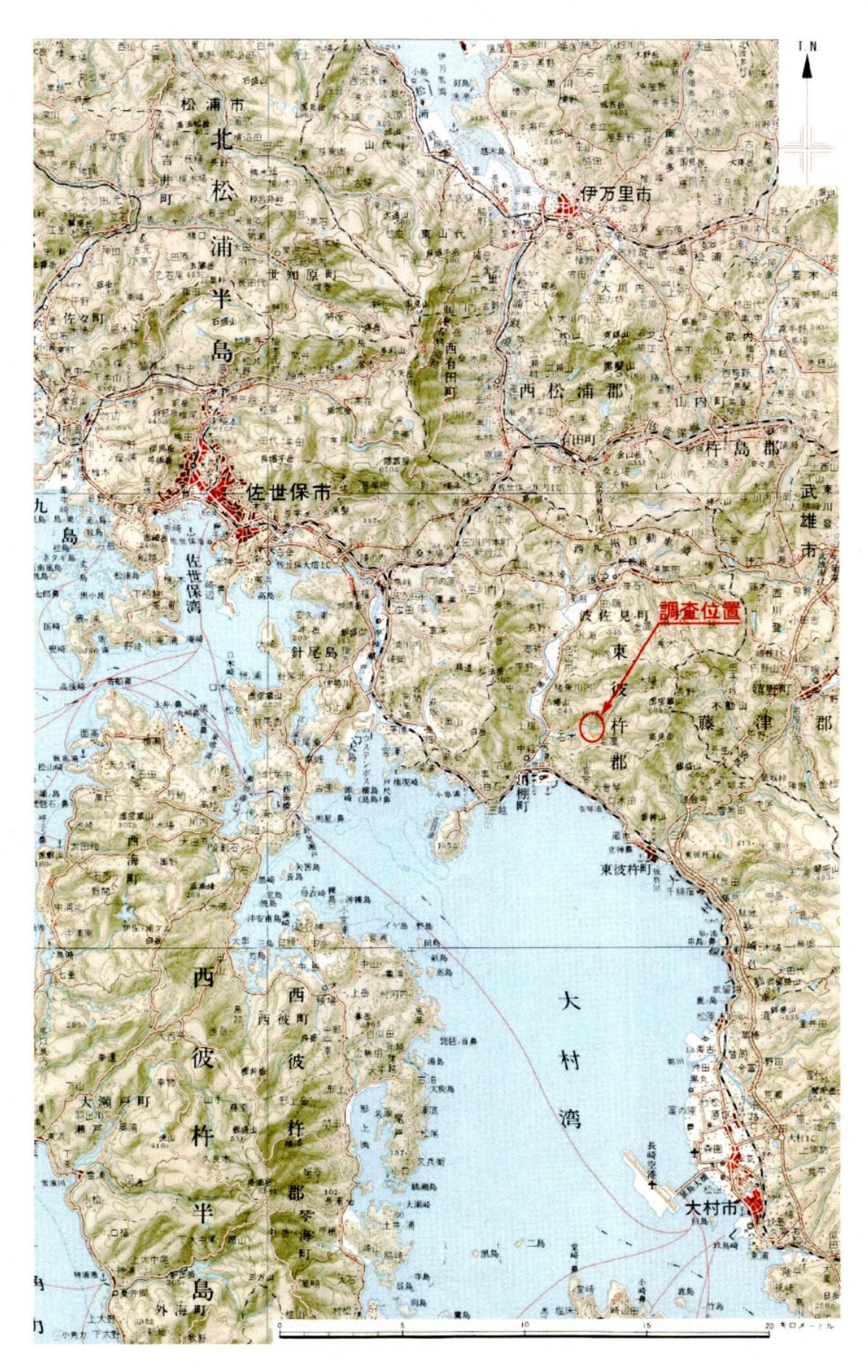
19 石木ダム第 30 号 石木ダム地質調査等業務委託(2) 報告書

平成 20 年 2 月

長崎県 石木ダム建設事務所 株式会社 建設技術研究所

担当者一覧											
会社名		株式会社 建設技術研究所									
住 所	〒810-0041 福	〒810-0041 福岡市中央区大名 2-4-12 シーティーアイ福岡ビル									
TEL	092-714-2	211	FAX	092-714-6307							
担当者	所属部課名		氏 名								
管理技術者	地圏環境室										
照査技術者	"										
担当技術者	"										
<i>II</i>	"										
"	"										



調査検討位置図 縮尺 1:200000 ※国土地理院発行 1/20 万地勢図「長崎」を使用

まえがき

本業務は、長崎県石木ダム建設事務所の御委託により、株式会社建設技術研究所が実施 した「19 石木ダム第 30 号 石木ダム地質調査等業務委託(2)」の成果を取りまとめたもので ある。

平成20年2月 株式会社 建設技術研究所

目 次

1. 業務概要⋯⋯⋯⋯⋯⋯⋯⋯1-1
2. 地形・地質概要
2.1 広域の地形・地質概要
2.1.1 広域の地形概要 2-1
2.1.2 広域の地質概要 2-3
2.2 ダムサイトの地形・地質概要 2-5
2.2.1 ダムサイトの地形概要 ······ 2-5
2.2.2 ダムサイトの地質概要 2-7
3. 調査項目と調査数量3-1
4. 調査方法4-1
4.1 ボーリング調査4-1
4.2 竪坑内調査4-8
4.3 左岸鞍部トレンチ調査 4-1
4.3.1 トレンチスケッチ 4-1
4.3.2 コンクリート付着試験 4-1
4.3.3 原位置簡易試験 4-1
4.3.4 大孔径ボーリング 4-2
4.3.5 室内岩石試験 4-2
5. 調査結果·······5-1
5.1 ボーリング調査・・・・・・・・・・・・・・・・・・・・・・・・・・・・・・・・・・・・
5.2 竪坑内調査 5-6
5.3 左岸鞍部トレンチ調査 5-1
5.3.1 トレンチスケッチ 5-1
5.3.2 コンクリート付着試験 5-1
5.3.3 原位置簡易試験 5-2
5.3.4 大孔径ボーリング 5-3
5.3.5 室内岩石試験 5-3
6. 岩盤強度の検討・整理
7. 取りまとめ 7-1
7.1 取りまとめ7-1

1. 業務概要

本業務の概要は下記のとおりである。

(1) 委 託 者 : 長崎県石木ダム建設事務所

(2) 業務名: 19 石木ダム第30号 石木ダム地質調査等業務委託(2)

(3) 業務地名 : 東彼杵郡川棚町岩屋郷外

(4) 業務目的 : 本業務は、河床部竪坑から掘削されている横坑を対象に、坑壁ならびに既往のせん断試験箇所に対する岩級の再評価を行い、実施設計におけるせん断強度検討の基礎資料を得ることを目的とする。また、左岸側鞍部の CLL 級岩盤に対してコンクリートとの付着の程度を評価する他、一軸圧縮強さ等の対応が図れる簡易試験を行うことで、D 級岩盤との差異を定量的に把握することを目的とする。

(5) 業務担当 : 受 託 者 ; 株式会社 建設技術研究所 九州支社 長崎事務所

.住 所 ; 長崎県長崎市元船町 13-5 第二森谷ビル(長崎事務所)

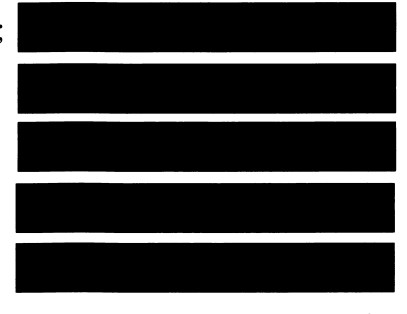
福岡県福岡市中央区大名 2-4-12CTI 福岡ビル(九州支社)

電 話 番号 ; 095-826-6086(長崎事務所)

092-714-6750(九州支社地圏環境室直通)

FAX番号; 092-714-6307(九州支社地圏環境室直通)

担 当 者 :



(6) 業務内容: 本業務の内容は、下記のとおりである(図-1.1 参照)。

(地質調査)

1)機械ボーリング ·························3 孔, 79m (うち、2.03m は横坑区間削孔によりコアなし)

2)ルジオンテスト ………9回

3) 孔内水圧変動測定 9 回

(整理・解析業務)

1)打ち合わせ協議3 回
2)ボーリング調査解析1 ラ
3)竪孔内調査及び左岸鞍部調査1 元
①準備作業1 ラ
②竪坑内調査1 元
③左岸鞍部調査1 5
④岩盤強度の検討・整理1 5
⑤報告書作成1 5
(7) 業務工期 : 平成 19 年 10 月 11 日~平成 20 年 2 月 28 日

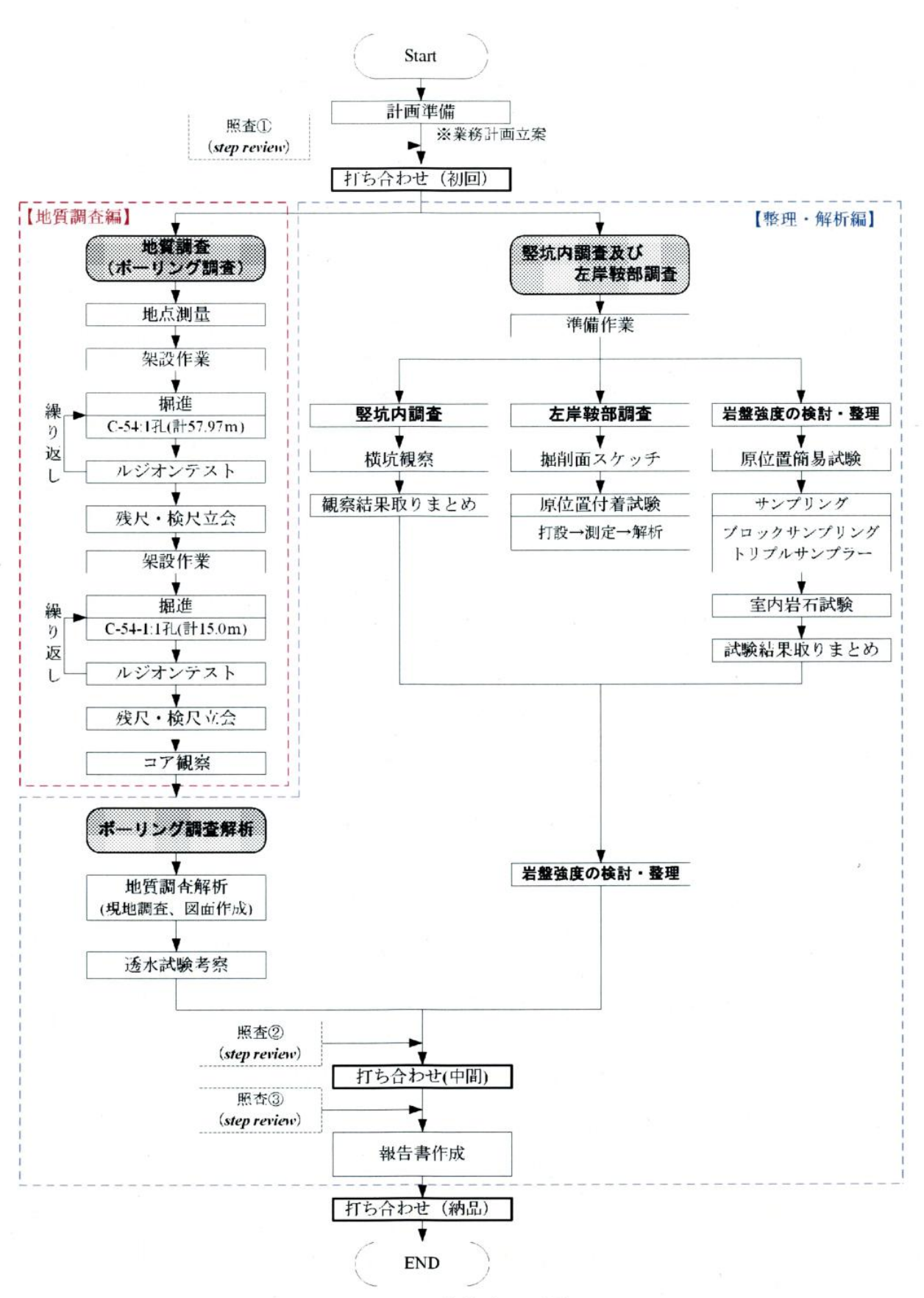


図-1.1 本業務の手順

2. 地形地質概要

2.1 広域の地形・地質概要

2.1.1 広域の地形概要

広域地形の概要は以下に述べるとおりである(図-2.1.1参照)。

- (1) ダムサイトの位置する石木川は、虚空蔵山(標高 608.5m)北方の山腹(標高 250m 付近:川棚町木場郷重付近)に源を発し、西方ないしは南西に流下した後、川棚川に左支川として合流する。源流から川棚川との合流点までの延長は約5.5kmであり、その標高差は約200mである。
- (2) ダムサイトは川棚川との合流地点から約 2km 上流に位置しており、ダムサイトから約 0.5km 上流では岩屋川が左支川として合流する。
- (3) 稜線は、石木川および岩屋川と概ね平行する北東ないしは東西方向に延びて おり、その標高差は約 200m である。また、東方の稜線上(上流側の稜線上) には、塔状ないしはドーム状をなす虚空蔵山や高見山が位置する。
- (4) 石木川および岩屋川沿いには、沖積低地(段丘面)が比較的広く形成されており、耕作地となっている。なお、段丘面の幅はダムサイト付近で急激に狭くなっている(ダムサイト直下流は、左右岸ともに砕石場となっている)。
- (5) ダムサイトおよび貯水池周辺では、比較的明瞭な地形要素として、①鞍部、 ②直線状谷、③遷急線、④遷緩線、⑤山腹緩斜(平坦)面および⑥急崖が 認められる。
- (6) 鞍部は稜線沿いや山腹に認められるが、特定方向の配列は認められない。
- (7) 直線状谷は連続性には乏しく、他の地形要素との関連性も認められない。
- (8) 遷急線と遷緩線は、山腹斜面上で対をなして分布することが多く、山腹緩斜面(平坦面)を形成していることが多い。
- (9) 山腹緩斜(平坦)面は、上流域、中流域(貯水池周辺)および下流域(ダムサイトから下流側)で概ね一定の高さに分布する傾向が強く、上流側から下流側に向けて徐々にその分布高度を下げている。

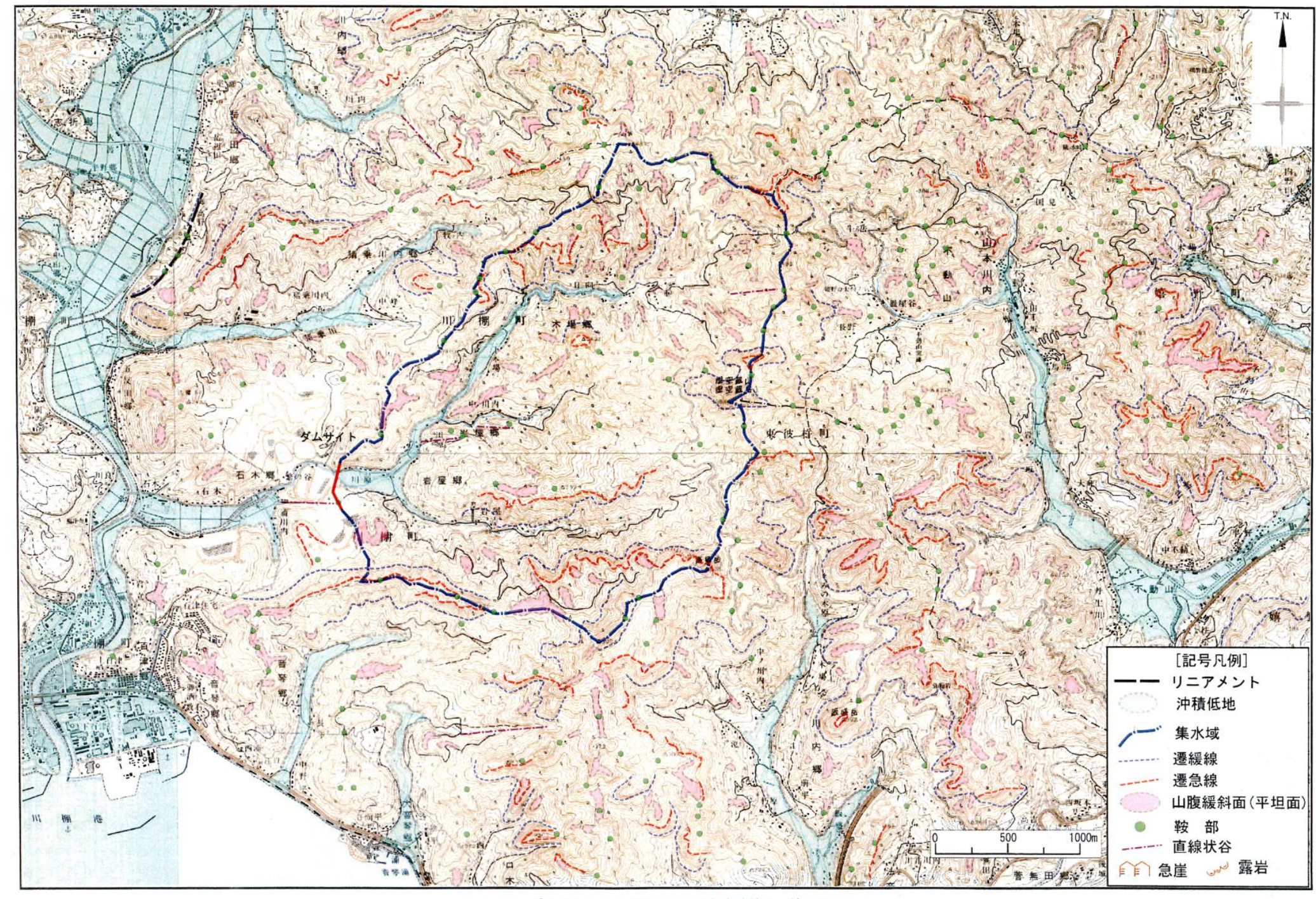
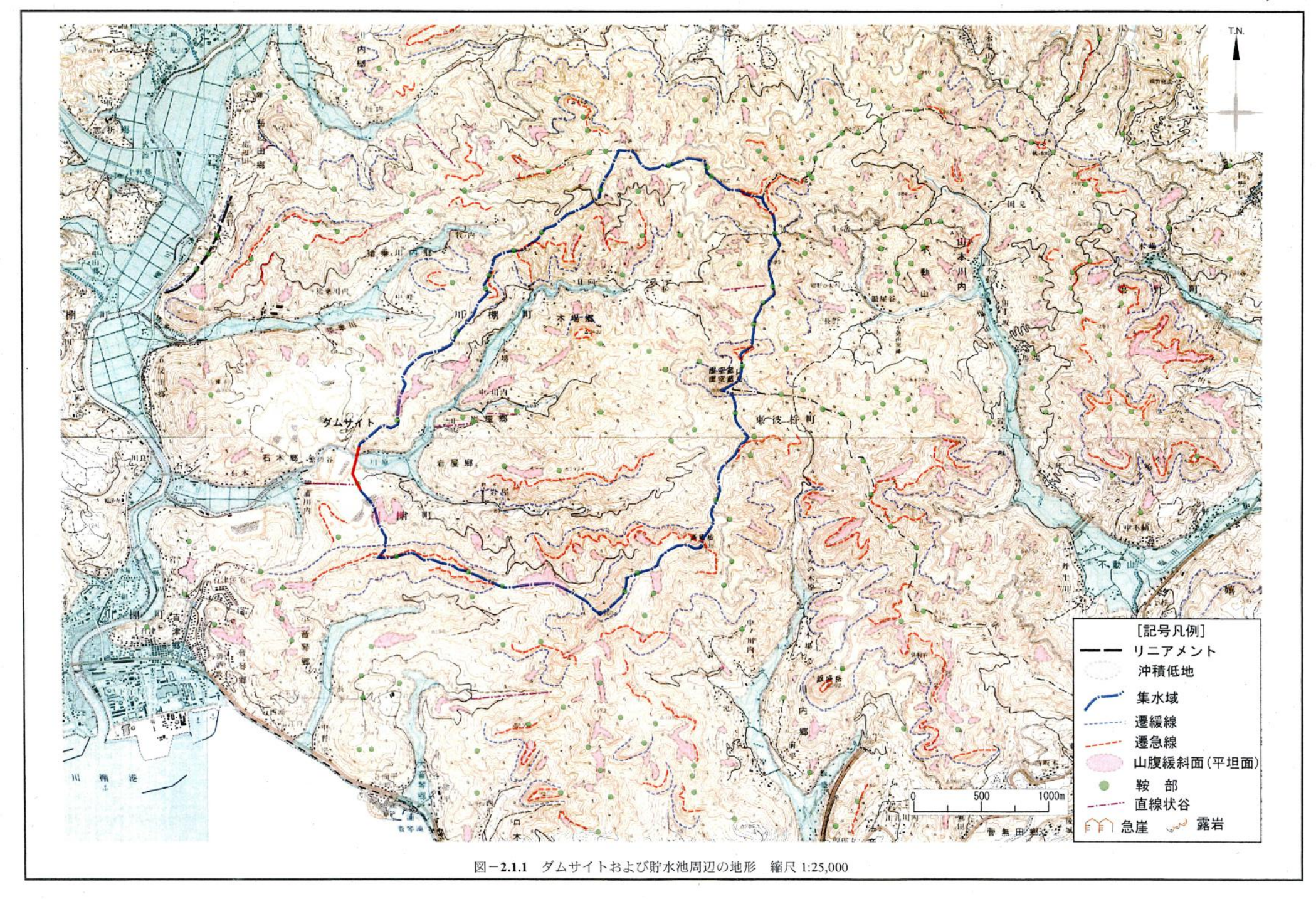


図-2.1.1 ダムサイトおよび貯水池周辺の広域地形 縮尺 1:25,000



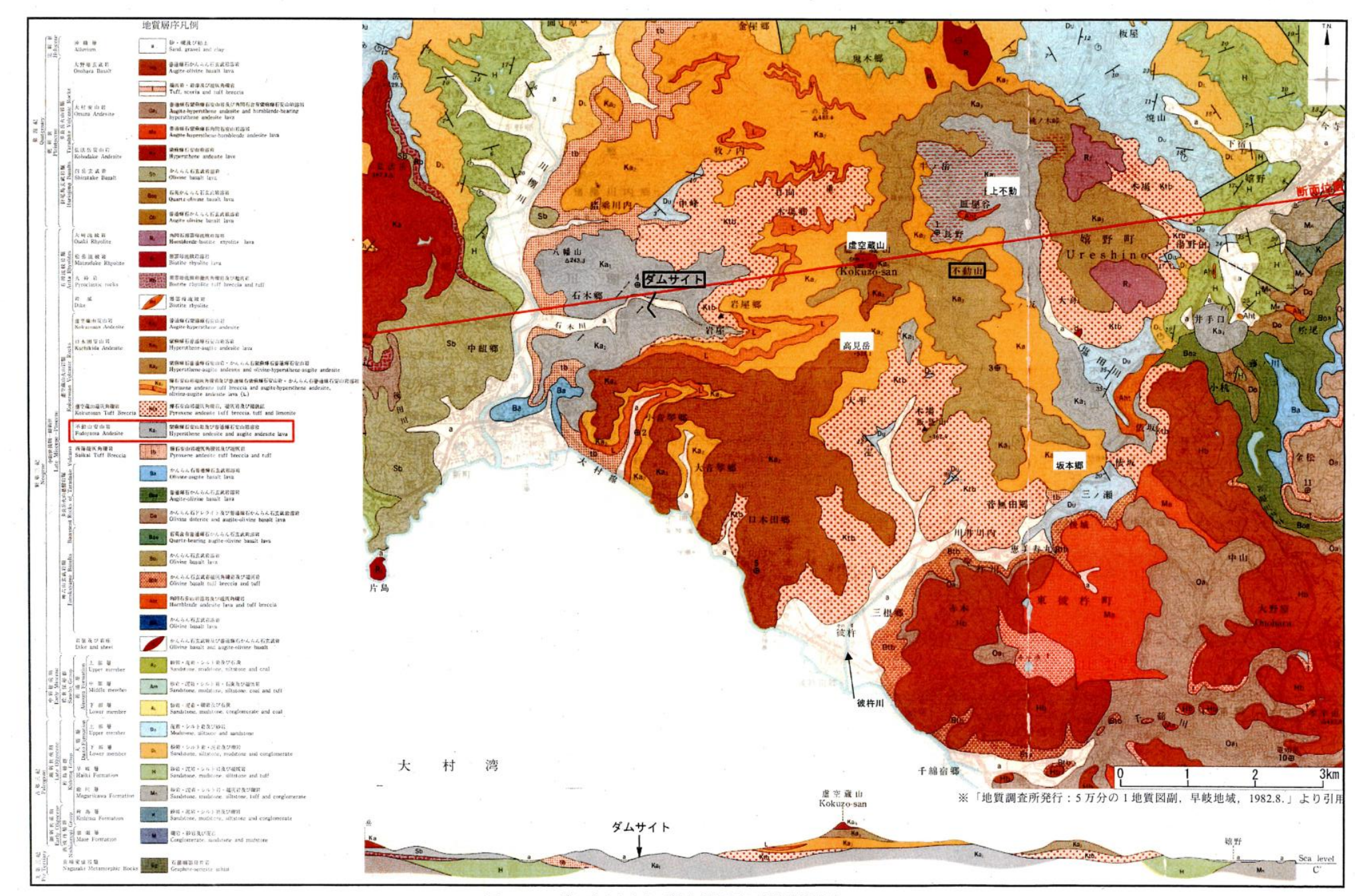


図-2.1.2 ダムサイトおよび貯水池周辺の広域地質分布

2.2 ダムサイトの地形・地質概要

2.2.1 ダムサイトの地形概要

ダムサイトの左岸側、河床部および右岸側の地形的特徴は、以下に述べるとおりである(図-2.2.1 参照)。

【左岸側】

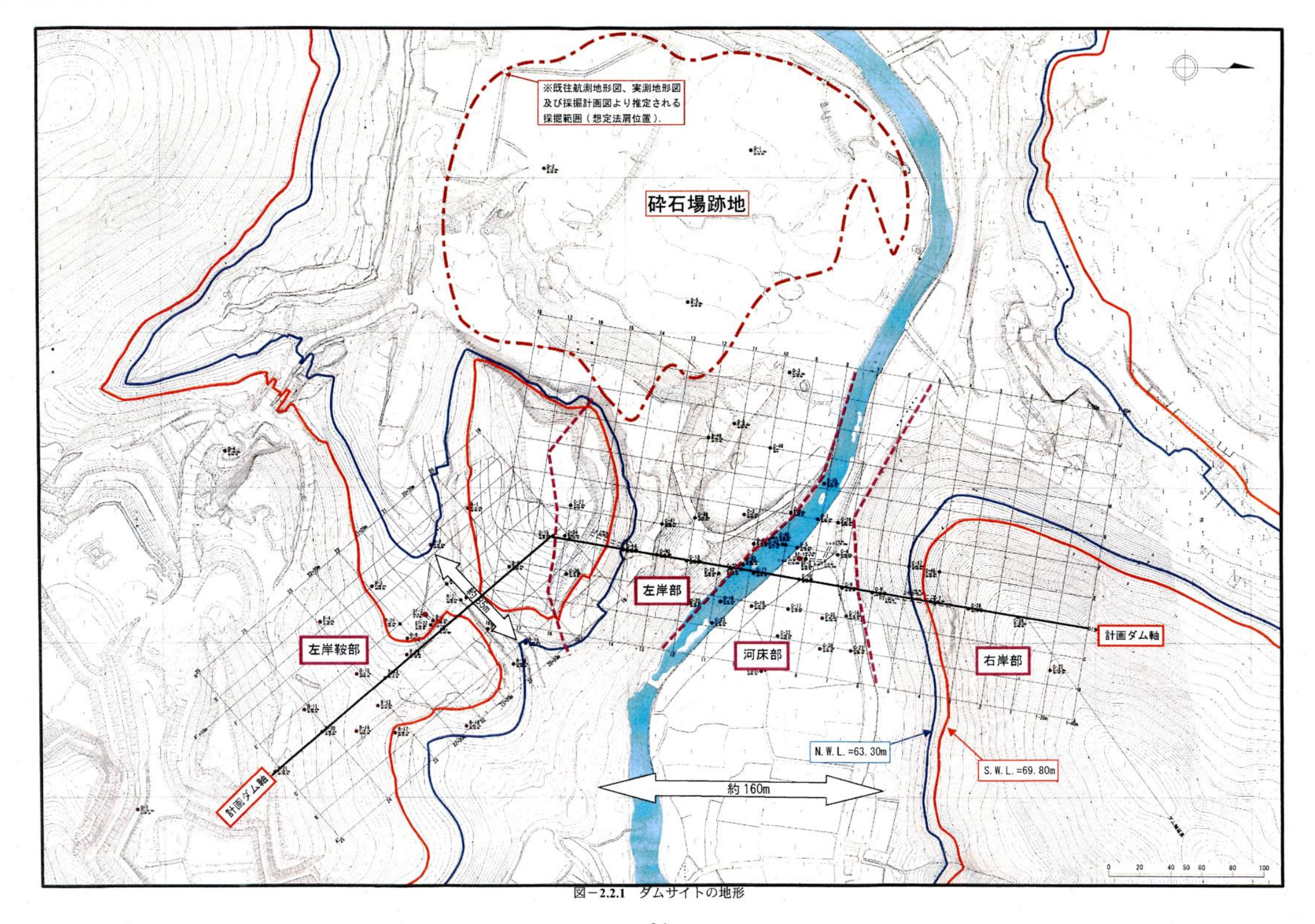
- 1) 左岸側は、標高 65m 付近が鞍部となっていることから、幅約 20m の凹地部が サーチャージ水位 (EL. 69. 8m) 以下となる。また、常時満水位 (EL. 63. 3m) に 対する上下流方向の水平距離は約 85m である。
- 2) 鞍部からさらに左岸側にかけては厚い山体を形成するが、砕石によって現在では幅 100m 程度にわたる台地状の地形が形成されている。
- 3) 左岸側直下流の砕石場(旭砕石)は、EL.-20m 程度まで掘削されているが、現在では河床標高よりやや高い EL.33m 付近まで埋め戻されている。

【河床部】

- 1) 河床部のダム軸付近は、左右岸山体が押し迫る狭窄(きょうさく)部である。
- 2) ダム軸付近より上流側では、石木川が左岸側山裾を流下しており、右岸側山裾にかけては幅160m程度にわたって段丘面(標高38m前後)が形成されている。

【右岸側】

- 1) 右岸側は、EL. 145m まで山腹勾配 35°~40°の山体を形成している。
- 2) 直下流には、石木川とほぼ直交する方向に谷が形成されているため、下流側に対して比較的やせ尾根となる。



2.2.2 ダムサイトの地質概要

(1)層序と岩相

ダムサイトには、新第三紀虚空蔵山火山岩類のうち、最下部の不動山安山岩が基盤地質として分布する。また、これら基盤地質を覆う未固結被覆層として、2層の段丘堆積層(trl, tr2)、崖錐堆積層(dt)、現河床堆積層(rd)および盛土(ba)が分布する(表-2.2.1、図-2.2.2、図-2.2.3 参照)。

ダムサイトに分布する不動山安山岩の層序と岩相は、以下のとおりである(代表的な岩相は写真 - 2.2.1

参照)。なお、地質形成史 を図-2.2.4 に示す。

- 1) ダムサイトに分 布する不動山安山岩 は、①安山岩溶岩(自 破砕状安山岩を含 む)、②火山角礫岩 (Vb)、③軽石火山角 礫岩(Vb-p)、④火山 礫凝灰岩(Ltf)に区 分され、安山岩溶岩 は更に安山岩 I ~ V に5区分される。
- 2) 安山岩 I と安山 岩 II は、その岩相か ら角礫状安山岩 (-b)、 緻密安山岩 (-c)、多 孔質安山岩 (-v) に区 分され、他の安山岩 に比べて暗色である。
- 3) 安山岩 I と安山

表-2.2.1 ダムサイトの地質層序

/	地田	質代		地		Ħ	名	色調	12 18		
*		第			盛		±	a ba	砕石ズリ。ダムサイト下流の砕石場に分布。		
固結		起			現河は	走堆 和	表 層	rd	砂礫を主体とする。現在の河床にうすく分布。		
被		完			崖錐	堆積	76	△ dt △	土砂、岩屑からなる。ダムサイト左右岸の山腹を覆って広 分布。		
獲層		新世			段丘堆積層Ⅱ			°tr2	砂礫を主体とする。ダムサイトおよびダムサイト上流の右 谷底に平均面をなして広く分布。		
		(更新世)			段丘堆積層Ⅰ		°tr1°	砂礫よりなるが、強風化の影響で一部くさり硬となってい 左岸側の聴節付近に分布する。			
	新	2012		食	(概	密安	山岩)	An5	舞石の性、角閃石、長石を含む。 流電が発達する。上部の一部では、珪化帯が確認される。		
		*	*	会員関石権銀石	(同自	破砕も	大安山岩)	Ab5	赤色を帯びる自破砕筋。		
¥		新	-			R A	岩)	Dy	An4の活動に伴う貫入岩。 左岸下流の旭時石場内におけるAn4の流理から方向を 接端している。		
		第	敝	古典既石樓	(轍	密安	山岩)	An4	An5と同様、輝石の他、角閃石、長石を含む左岸のみでの 分布であり、下流の維砕石場内では高角度で傾斜する。		
		Ξ	山火	権権	(同自	破砕も	大安山岩)	Ab4	Ab5と関様、赤色を帯びる自破砕石。		
	生	紀	山山	Г	火山角礫岩		Vb	多孔質安山岩と質精色を呈す基質部よりなり、 火山角礫岩状を呈す。			
盤		^ :	岩類	複安	(同色緻	密安山	岩多孔質	R) An3-v	最密安山岩の多孔質能 厳密安山岩へは無移する。		
		鮮新	^	舞者	(灰	色緻密	安山岩)	An3-c	舞石の他、角閃石、長石を含む。An5と比較し、角閃石は3 干少ない。長石は震節ほど多く見られる。表現はやや不明		
		世,助中新安	不	6 II	(同自	破碎机	大安山岩)	Ab3	自破砕部。大半の岩片が多孔質である。 余色を帯びない場合がある。		
岩			ф	5	動山		軽石火山		角碟岩	Vb-p	岩片間が軽石質の基質で充填される凝灰岩。 岩片にはガラス質、多孔質のほか、自味砕溶岩も含まれる
	ft.			Ш			(同自	破砕も	大安山岩)	Ab2	赤褐色を呈する自破砕節。 河床の一部のボーリングで確認される。
				安	(輝石安山岩	(ガラス	質多7	質安山岩) Anti-a	ガラス質素密安山岩の多孔質部。 概密安山岩へは悪移する。	
		後	U	Ш		(ガラ	ス質徴	密安山岩)	An2-c	韓灰~灰色を呈すガラス質の溶岩。 肉臓では長石が確認される。	
類		XII	岩	П	(ガラス	質角發	状安山岩	An2-b	破砕し角硬状を呈す溶岩で、割れ目に沿って、 黄橋〜液褐色の基質が充填される。多孔質の岩片は査質し 一部棒泥石が確認される。		
					火山	礫凝	灰岩	110	ガラス質、自確時状溶岩など様々な岩片を含む差灰岩。 最上部は火山灰質。		
				複輝工	(ガラス	質多子	費安山岩		ガラス質能密安山岩の多孔質能。 総密安山岩へは新移する。		
				石安山岩	(ガラ:	ス質緻	密安山岩)	Ant-o	緯灰~灰色を呈すガラス質の溶岩。		
				I I	(ガラス	質角硼	状安山岩	An1-b	破砕し角線状を呈す溶射で、制れ目に沿って、 線灰~淡褐色の基質が充填される。多孔質の岩片は変質し、 一部線泥石が確認される。		

※ 地質時代、地質名は1/5万早岐図幅より引用

岩Ⅱの間には、安山岩Ⅱの初期活動による緻密に固結した火山礫凝灰岩(Ltf)が分布する。

- 4) 安山岩Ⅱと安山岩Ⅲの間には黄色を呈する軽石火山角礫岩 (Vb-p) が分布する。直径数 cm 大~数 10cm 大にまで及ぶ角礫周辺は、軽石を含む火山灰が密に充填しており、全体に固結している。
- 5) 安山岩Ⅲは、緻密安山岩 (-c) と多孔質安山岩 (-v) に区分される。緻密安山岩 (-c) では、僅かに角閃石を含む特徴を有しており、流理が発達する箇所が認められる*1。
- 6) 安山岩Ⅲの上位には、火山角礫岩 (Vb) が分布している。軽石火山角礫岩 (Vb-p) よりは黄色味が弱いが、含有礫の大きさや全体の固結度合いは類似している。
- 7) 安山岩IVは、左岸側直下流で噴出した溶岩流であり、緻密部のみからなる。 角閃石を含む。左岸側直下流の旭砕石場内でほぼ垂直の流理を確認している。
- 8) 安山岩 V は、流理が明瞭に発達する溶岩流であり、角閃石を含む。
- 9) 安山岩IVと安山岩Vの間に位置づけている貫入岩(Dy) は、左岸側鞍部のボーリングコアで確認されている(コアで貫入面を確認)が、その境界部は密着しており、強度的ないしは透水性上の弱部は伴っていない。

(2)地質分布

基盤地質および未固結層の分布は、以下のとおりである。

【右岸側】(6 グリッド付近~右岸側一帯)

- 1) 基盤地質は、山裾から常時満水位 (EL. 63. 3m) 付近に分布する急崖付近までが安山岩Ⅲ (An3-v、An3-c) であり、急崖から上部が安山岩 V (An5、Ab5) である。
- 2) 地下深部には、軽石火山角礫岩 (Vb-p) 及び安山岩 II (An2-c、An2-b、An2-v) が分布するが、それぞれ地下深部で平行に堆積している。
- 3) 急崖下部の山裾部は厚さ 2~3mの崖錐堆積層(dt) に覆われている。

【河床部】(6~11 グリッド付近)

- 1) 河床部の基盤地質は、火山角礫岩 (Vb) 及び安山岩Ⅲ (An3-c、An3-v、Ab3) が主体をなし、安山岩Ⅲの浸食部 (谷地形) を火山角礫岩 (Vb) が埋積した分布となっている。
- 2) 河床部の地下深部には、軽石火山角礫岩 (Vb-p) 及び安山岩 I (An2-c、An2-b、An2-v) が分布する。特に安山岩 II については、8 グリッド付近から左岸側に向けて急斜面をなす。
- 3) 現河道の左右岸両脇には、層厚約 6m の段丘堆積層(tr2)が分布する。 また、現河道には現河床堆積層(rd)が層厚約 2.5m で分布する。

【左岸側】(11~16 グリッド付近)

- 1) 山裾〜中腹部では、安山岩IV (An4) が主体をなし、高標高部には安山岩V (An5) が薄く分布する。両者の境界部には、部分的に自破砕部 (Ab4・Ab5) が分布する。安山岩IVは 13-14 グリッド付近で約 40m の層厚となっている。
- 2) 河床レベルよりも深部には安山岩Ⅲ (An3-v、An3-c) が分布し、その下 位に安山岩Ⅱ角礫状部 (An2-b) および火山礫凝灰岩 (Ltf) が分布する。
- 3) 左岸側山腹の表層には盛土 (ba) が分布しており、11-12 グリッド間 で最大層厚は約 8m である。

【左岸鞍部】(16 グリッド付近~左岸側一帯)

- 1) 基盤地質としては、火山角礫岩 (Vb) が表層の広範囲を覆っている。 その厚さは D'グリッド沿い断面で概ね 30~40m であるが、22 グリッド~ 23 グリッド間で下位の An3-v が尾根を形成するため、その厚さが 5m 程度 と薄くなる。 Vb と An3-v との境界には、一部で An3 自破砕部 (Ab3) の分布を確認している。
- 2) 左岸側鞍部のダム軸より下流側では、盛土 (ba) や崖錐堆積層 (dt) が厚さ 3~5m 程度で分布する。また、一部ではあるが段丘堆積層 (trl) も確認される。段丘堆積層 (trl) は、河床部の段丘堆積層 (tr2) とは異なり、混入礫の風化が進んでおり、周辺を充填する基質部も粘土質である。

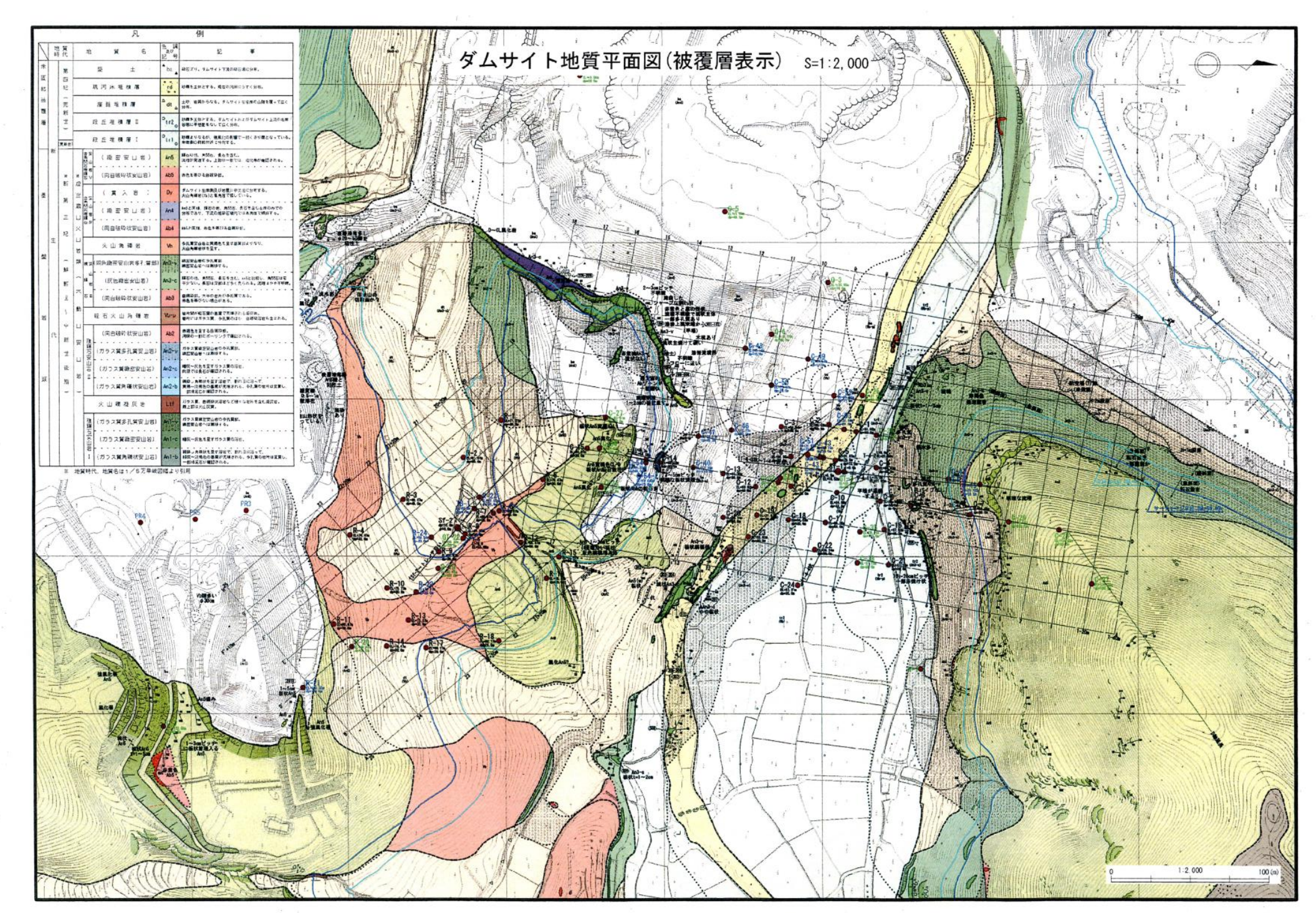


図-2.2.2① ダムサイトの地質平面図(被覆層表示)

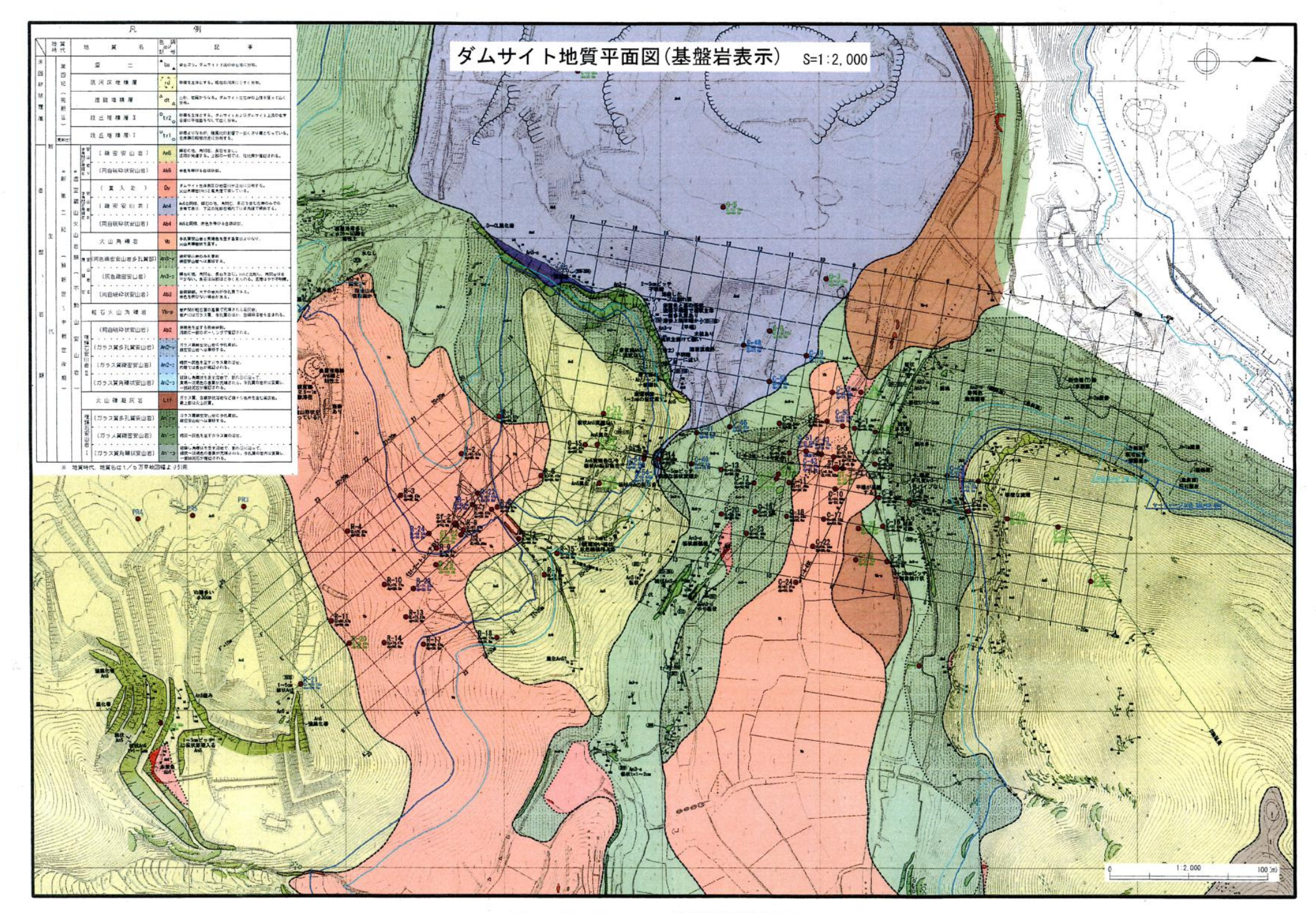
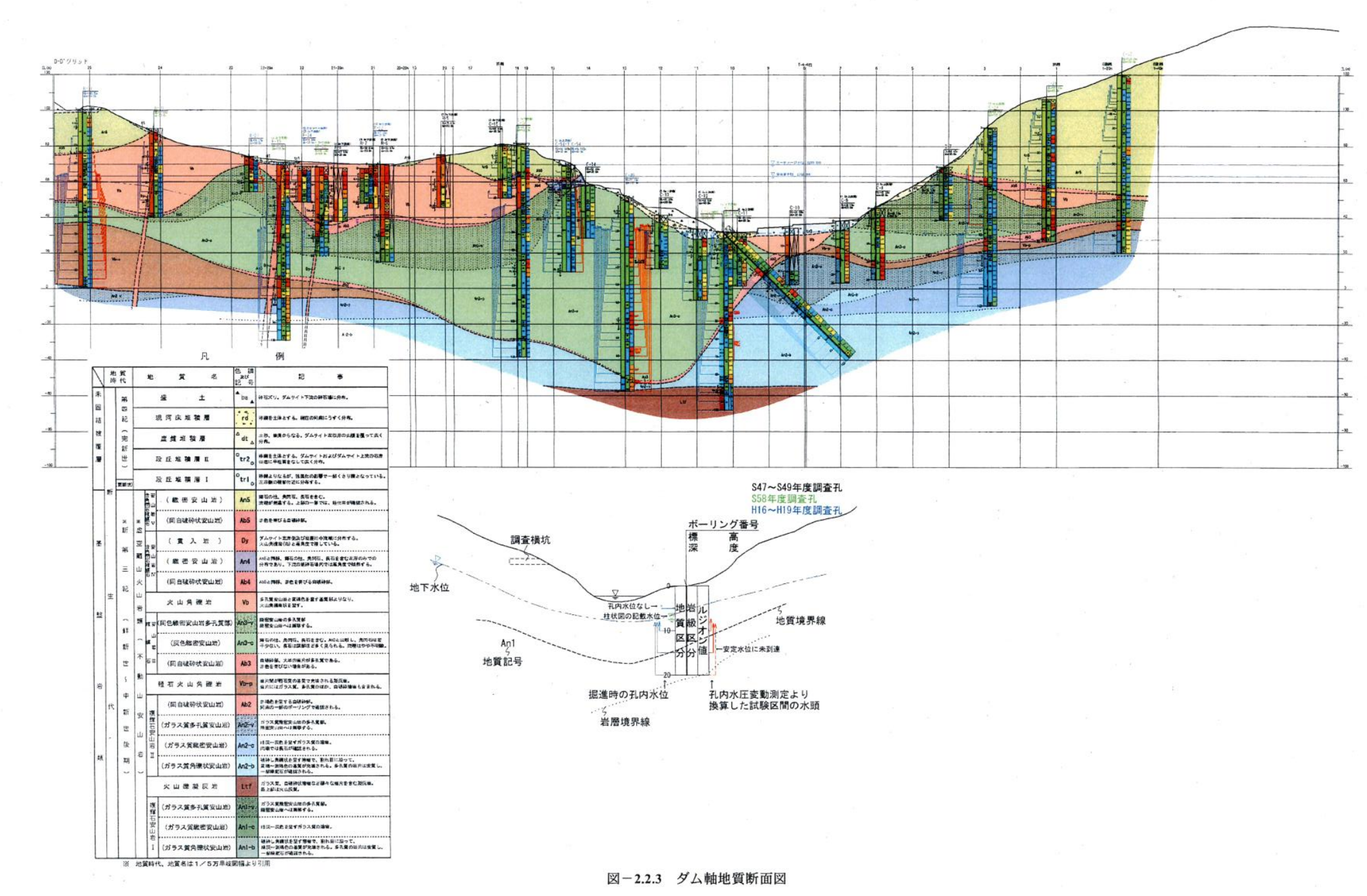


図-2.2.2② ダムサイトの地質平面図(基盤岩表示)



2-13

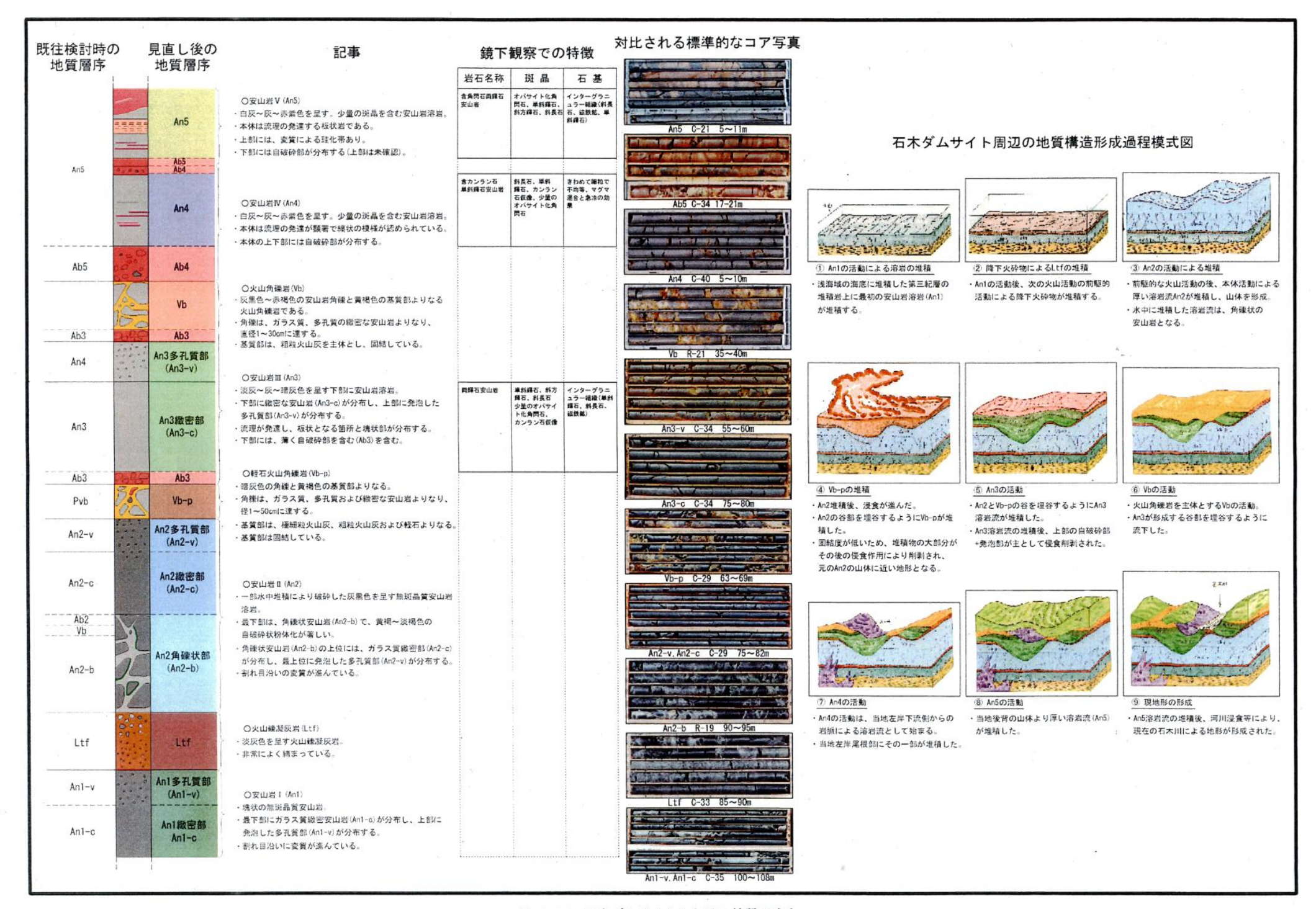


図-2.2.4 石木ダムサイトにおける地質形成史

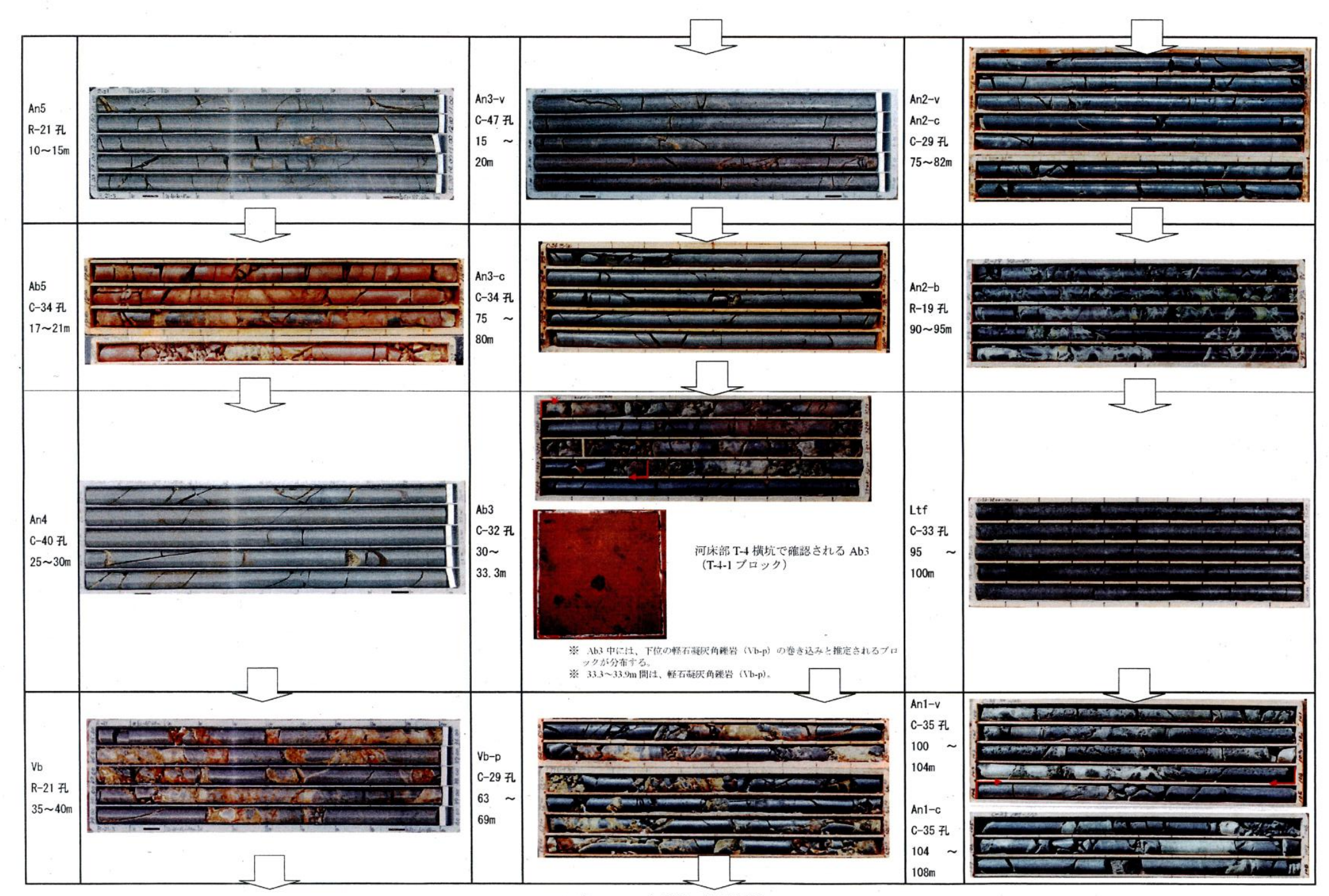


写真-2.2.1 各地質の代表的岩相

3. 調査項目と調査数量

本業務で実施した地質調査とその数量は、一覧として表-3.1に示すとおりである。

表-3.1 調查数量一覧

				掘進長		掘削区	分(m)		低圧ルジ	水圧変動	
項目	孔番	孔径(mm)	掘進方向	加進及 (m)	砂質土	礫混じり 土砂	軟岩	中硬岩	オンテス ト(回)	測定(回)	備考
ボ	C-54	66	鉛直	57.97	0	1.05	3.02	53.9	9	9	
調出	C-54-1	66	鉛直	15	0	0.75	0.75	13.5	1	0	
調 - 調 立 査 ン	TB−1	88	鉛直	4	0	4	0	0	_	_	
グ		合計		76.97	0	5.8	3.77	67.4	10	9	
ブ プロ リッ	採取地点	採取方向	試料直径 (mm)	試料採取 箇所数		備考			※ルジオン	ノテスト1回	分は補足として実施。
ンク グサ ン	PT-1∼8	鉛直	100								
ト プリ	採取地点	採取方向	試料直径 (mm)	採取延長 (m)		備考					
リプンル	TB-1-1	鉛直	88	3	直径90mmア	クリルパイ	プ使用				
グサ	PT-3	水平	88	2	直径90mmア	クリルパイ	プ使用				
ン	合計			5							
岩	試料地点	密度試験	含水比試験	一軸圧縮試 験	三軸圧縮試験 (UU)	備	考				
石室試内	PT-1∼8	8	8	24	8(24供試体)	三軸は1試料					び三軸圧縮試験24供
▮験	TB-1-1 • PT-3	0	0	0	3(9供試体)	三軸は1試料	当たり3供試体	試体は、ネ	記として写	を施。	
	合計	8	8	24	11(33供試体)						
原位験置	試験項目	数量									
琴置	付着試験	4									
試	簡易試験	8									

4. 調査方法

4.1 ボーリング調査

ボーリング調査 (C-54 孔) は、ダム軸沿い左岸側高標高部における地質分布、岩盤性状、透水性 (特に安山岩 4 (An4) 下部境界付近に推定された高透水箇所の有無確認) を把握するため、図ー4.1.1 に示す位置において実施した。ボーリング調査箇所の公共座標は表ー4.1.1 に示すとおりである。C-54-1 孔においては、横坑で確認されている An4 および Ab4 をボーリングコアで確認するために補間した。

表-4.1.1 C-54 孔調査位置の公共座標(世界測地系)

孔番	X 座標	Y 座標	地盤高(EL.m)
C-54	9389.728	36138.111	69.651
C-54-1	9389.390	36169.257	69.645

※C-54-1 孔の地盤高は、現地において C-54 孔の地盤高との差を計測して算出した。

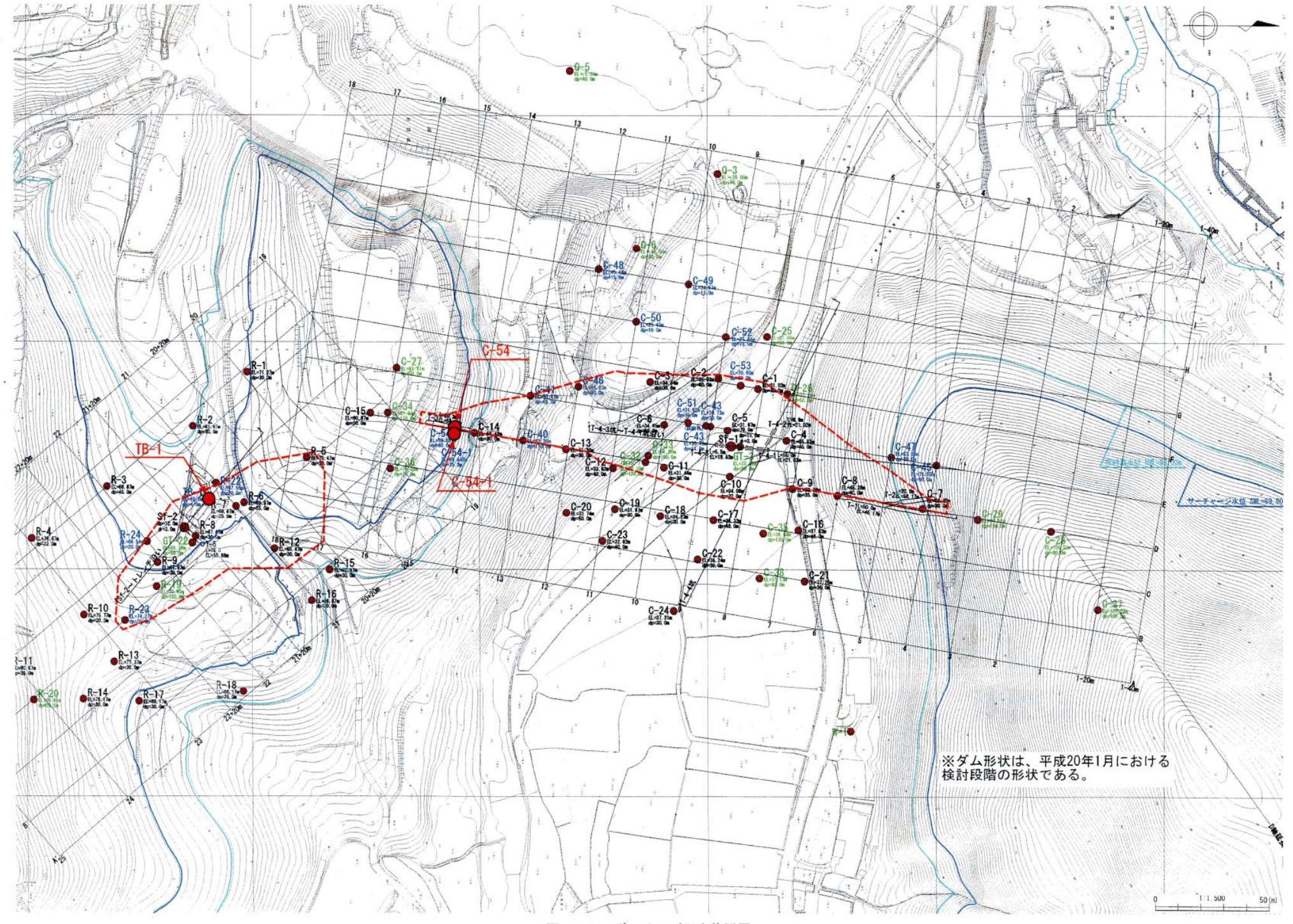


図-4.1.1 ボーリング調査位置図

ボーリング掘削にはロータリー式ボーリングマシンを用いた(図-4.1.2参照)。

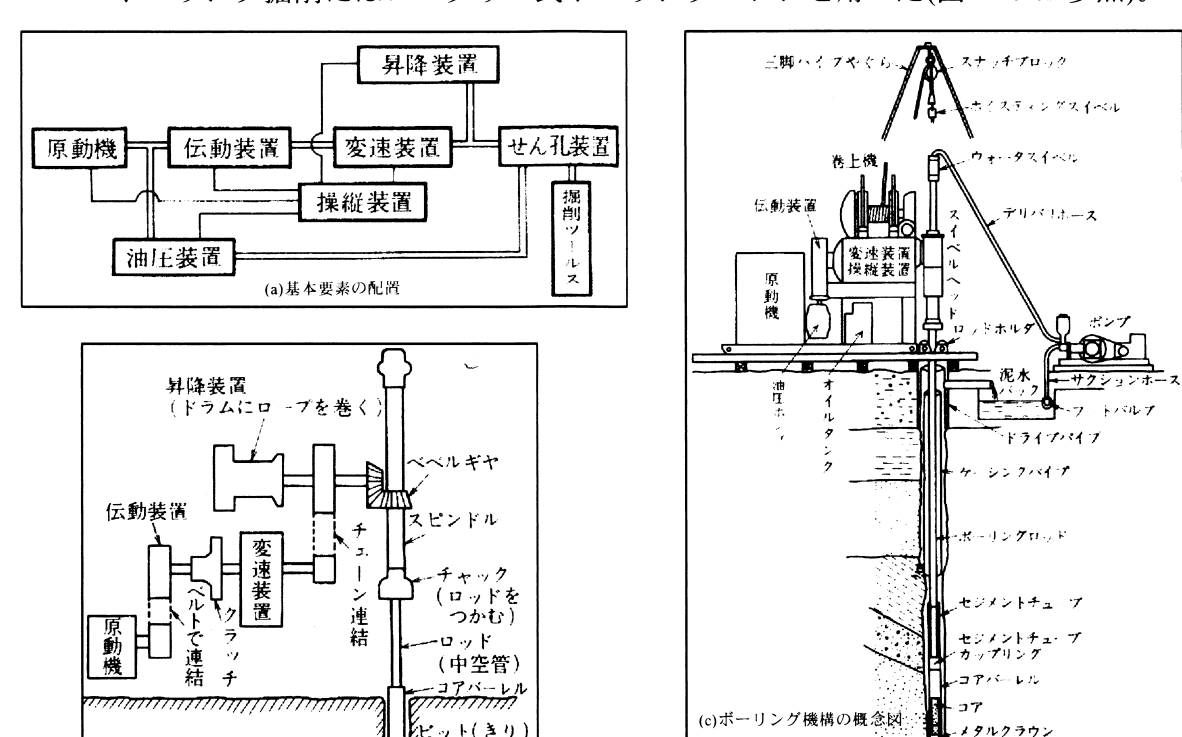


図-4.1.2 ボーリングマシンの概要

※「新版ボーリングポケットブック,第1版,第5刷,1997,2.」より引用

ボーリング掘削はいずれも孔径 66mm のオールコアボーリングとし、掘削には設計 深度を十分に達成できる機械を使用した。また、表土・盛土は無水掘り、岩盤は清水 堀りで掘削を行った。採取されたコアは、5m 収容のプラスチックコア箱に収めた。

また、ボーリング掘削終了時には、監督職員立会いのもとでボーリングロッド引き 抜き法による検尺を実施した。

(1) 孔内水位測定

(b)ボーリング装置の全体図

孔内水位は掘進中毎日測定し、次の日の作業前の孔内水位を前日終了深度の孔内水位とした。

(2) 掘進終了

掘削終了基準は予定深度に達した時点で、監督職員と協議の上決定した。また、掘削終了後は各孔とも地下水観測などの必要性がなかったため閉塞した。

(3) 現地調査及び柱状図の作成

ボーリングコア観察は、コア表面のマッドケーキを入念に洗い落とした上でコア写

真撮影を行った後に実施した。

コア観察結果は「国土建設情報総合センター:ボーリング柱状図作成要領(案),解説書,昭和61年11月.」に準拠した縮尺1:100の柱状図様式に記載した。また、地質区分や岩級評価については「18石木ダム第18号 石木ダム地質解析業務委託,平成19年3月.」で整理されている基準に準拠した(表-4.1.2参照)。

表-4.1.2 岩級区分基準(案)

細区分基準案 (ボーリングコア)

延龄区分

これに相当する。

状をなす。

主として細碟を含む砂状のもの。

粘土状のもの。スライムも含む。

部は存在するが強度劣化はない。

別れ目として認識できない角礫状、砂状、粘

付着ないしは排在する。

塊 状 岩 (安山岩溶岩)

顔する.

(結当な(.)

(該当なし)

(該当なし)

在する.

長さが30cm以上の棒状コア。

長さが30~15cmの棒状コア。

長さが15~5cmの棒状~片状コア。

アの外周の一部が認められるもの。

長さが5cm以下の棒状~片状コアで、かつこ

主として角機状のもので、一部に分離状ないしは短棒状コアも混在する。

密着、あるいは分離しているが、割れ目沿り の風化は認められない。一部に弱い変質は7

割れ目面に黄褐色の風化は認められるが、

アの縁辺部までは達していない (淡黄色の) 色部は存在する)。

割れ目に沿い一様な風化(変質)が認められる。または見かけ上間口気味であり、割れ上

割れ目として認識できない角碟状、砂状、料

に流入粘土を挟在する。

C

F

П

IV.

V

VI

W

極硬、ハンマーで容易に割れない。

硬。ハンマーの打撃で金属音を発する。並行

中硬。ハンマーの打撃で鈍い音を発し、比較 的容易に拳大の大きさに調れ、波理沿いは分 難し易い。

飲。ハンマーの軽打で分離ないしは細碟状! 砕ける。

で数emの角礫状に飛び散り、流理沿いに分

区分要素 記 号

硬軟区分

20は1日

制和目

細区分基準案 (調査横坑)

養質 岩 (角器状安山岩,自破砕状安山岩,火山角器岩,火山器器灰岩) 塊 状 岩 (安山岩溶岩) 養質 岩 (角嚢状安山岩,自破砕状安山岩,火山角嚢岩,火山嚢嚢灰岩) 区分型器 記 号 極硬。ハンマーで容易に割れない(火山角礫 岩の一部のみが相当する)。 極硬。ハンマーで容易に割れない。角部はハ ンマーの打撃で数cmのチップ状に飛散する。 (該当なし) 硬。数10cmの岩塊部は硬質岩と同程度の堅 硬。数10cmの岩塊部は硬質岩と同程度の堅さを 硬。面はハンマーの打撃で金属音を発する。 さを有し、基質部も硬質で離と分離しない。 一部数cm程度に変色し、やや強度の劣る部分を挟在することもある。 ない。 有し、ハンマーの打撃で岩塊部は砕けるが、甚 質部と岩塊部とは分離しにくい。一部数cm程度 に変色し、やや強度の劣る部分を挟在すること 角部はハンマーの強打で数cmの角機状から 岩塊状に砕ける。流理が発達した岩塊は、流 理会しはつか離する 中硬。基質部ないしは淡黄緑色に変色した協所はハンマーの打撃で角礁状に砕ける。 中硬。ハンマーの打撃で鈍い音を発し、比較 的容易に拳大の大きさに剥れ、流理や割れ目 の発達した箇所は分離し易い。 中硬。岩塊部の一部や淡黄緑色に変色した箇所 はハンマーの打撃で角機状に砕ける。基質部は ハンマーの打撃で先端部が数mの打撃痕が残 硬軟区分 軟。ハンマーの軽打で分離ないしは細嚢状に 砕ける。自破砕部で基質部が卓越する範囲ま たは一様に岩内部まで風化が進んだ軟質部は 放 ハンマーの先端打役で公務かい!!!け細廉サ 歌。ハンマーの先端打撃で分離ないしは細機状 に砕ける。自破砕部の基質には一部に軟質部を 薄く挟在することもある。一様に岩内部まで風 化が進んだ軟質部もこれに相当する。 (該当なし) 極軟。細粒部主体の自破砕風化部や火山角礫 岩の強風化部がこれに相当し、指圧で変形する。砂状ないし、粘土状部もこれに含める。 極軟。細粒部主体の自破砕風化部や火山角礁岩 E (該当なし) の強風化部がこれに相当し、指圧で変形する。 とさが30cm以上の棒状コアないし、一部孔 隙部を挟在するが30cm以上の連続コアをな 割れ目開解は概ね30cm以上で、微細な割れ目 割れ目はほとんど存在しない。ないしは30cm以 の発達はほとんど認められないかあっても不 上の間隔でまれに分布する。 長さが30~15cmの棒状コア。性状は1と同 割れ目間隔は30~15cmで、ほぼ一様に割れ目 長さが15~5cmの棒状~片状コア。角礫部な 割れ目間隔は30~15cmであるが、直線的な連続 が発達する。一部に30cm以上の間隔箇所を挟 いしは基質部の一部に起伏があるが全般に棒 在することもある。 THE PAR 長さが5cm以下の短棒状~コア形状を残す 割れ目間隔は15~5cm。30~15cm間隔の箇所 割れ目間隔は15~5cmを代表とし、15cm以上の書 (片状) コアで、かつコアの外形が認められるもの。 をも混在する。 れ目間隔箇所をも混在する。連続性はない。 割れ目間隔は5cm以下。全体に連続性に欠ける割れ目が密集する。 割れ目間隔は5cm以下で、比較的密に分布する。 主として角嚢状のもので、コア形状を復元で きないもの。 運輸性はほとんどない。 密着、表面のみ開口状を示すが、割れ目沿いの 風化・変質は認められない。変質部は存在する が強度劣化はない。 密着、あるいは表面のみ関ロ状を示すが、割 れ目沿いの風化は認められない。一部に弱い 変質は存在する。 強風化し一部粘土化したコア、または全般に 割れ目面に黄褐色の風化は認められるが、割 岩塊部は硬質岩と同。基質部はやや軟質化する 箇所もあるが、褐色風化は弱い。 れ目全面には発達していない(淡黄色の変色 密着している。あるいは分離しているが、割れ目沿いの風化・変質は認められない。変質 部は存在する)。 岩塊部は塊状岩と同。変色した孔殿質部沿いに 分離ないしは細嚢状化。または粘土を付着ない しは挟在する。 割れ目に沿い一様な風化(変質)が認められる。または見かけ上側口気味であり、割れ目に海い粘土分を挟在することもある。 の状態 岩塊部は硬質岩と同。基質部はやや軟質化す る箇所もあるが、褐色風化は弱い。 割れ目は数皿以上開口し、流入粘土を共有す (該当なし) ることもある. 塊状岩塊部は硬質岩と同。変色した孔隙質部 沿いに分離ないしは細碟状化。または粘土を

細区分組み合わせ

塊状岩 (安山岩溶岩)

碟質岩 (角碟状安山岩, 自破砕状溶岩, 火山角礫岩,火山礫凝灰岩)

硬軟	割れ		割れ目	の状態	200	硬軟	割	割れ目の状態			
区分	開目	а	b	С	d	区分	問目	a	b	с	d
	I	СН	CH	СН	-		I	СН	CH	СН	_
Α	II	CH	CH	CH	-	A	II	CH	CH	CH	-
	Ш	CH	CH	CM	-	-	Ш	CH	CH	-	-
	IV	_	CM	CM	-		IV	-		-	-
	I	CH	CH	CM			I	-	CH	CM	-
	II	-	CH	CM	СЦ	В	II	_	CH	CM	-
В	Ш	CM	CM	CM	СЦ	В В	Ш	CM	CM	CM	-
	IV	-	CM	CLH	СЦ		IV	_	CM	CLH	_
	V	-	(CM)	-	-		V	-	-	-	-
	I	-	-	-	-		I	-	CM	CM	-
	II	_	CM	CM	СЦ		II	_	CM	CM	-
C	Ш	-	CM	CLH	CLH	, C	Ш	CM	CM	CLH	_
	IV	-	CLH	CLH	СЦ		IV	-	CLH	CLH	-
	V	-	CLH	CLH	D		V	_	_	CLH	_
	I		1-1	-	-	D	I	-	CL _u HB1	-	-
	II	-	-	-	-		II	-	CL	CLL	_
	III	-	-	CLL	-		Ш	-	CLL	CLL	CL
D	IV	-	(CLL)	CLL	CLL		IV	-	-	CLL	_
	V	-	-	-	D		V	_	-	CLL	D
	VI	_	-	_	-		VI	-	-	-	D
	VII	-	-	-	-		VII	-	-	-	D
E	V~W	-	-	-	-	E	V~W	-	-	-	D

- 注1 D I h(篠雪岩)は、河床部横坑(T-4)で認められ、硬さCと硬さDの中間に位 置づけられる硬さを有する。全体に締まっており、割れ目も殆ど認められない ことから、CLH級に位置づけけている。
- ※ CLL級は、左岸鞍部の強風化ゾーンを特徴づける区分である。
- の組み合わせは、調査横坑のみで確認される。
- B·V·b(塊状岩)およびD·IV·b(塊状岩・礫質岩)は採取率の低い昭和40年 代実施のボーリングコアに認められる。

			_	硬質岩	コア	メージ 軟質岩					
	AB	CD	E	コア形状	形状	ABCD	E	コア形状			
	Δ_{Λ}				I						
硬	1137	^			п				硬		
軟区		1		MILLEN	ш				軟区		
分範	VĮ Į			DOOR VACAR	IV	777		DENDEDEN	分範		
囲		V			v	V	_	Dans Described and	囲		
				Company of the Company	VI		Ŋſ	82000			
				(VII		R.	3000	1		

(4) 透水試験

透水試験では、ルジオンテストを行った。また、ルジオンテスト対象区間が有する水頭を測定することを目的とした孔内水圧変動測定も合わせて行った。

1) ルジオンテスト

ルジオンテストは「国土技術研究センター:ルジオンテスト技術指針・同解説、 平成18年7月」に基づき実施した。また、本業務で実施したルジオンテストは層流 条件下での透水性を把握するため、低圧段階の昇圧ステップを細かく刻んだ低圧ル ジオンテストとした。なお、低圧域の各昇圧は、0~0.2MPa間は0.02MPa刻み、0.2 ~0.4MPa間は0.05MPa刻みの各10分間計測とした(図-4.1.3参照)。

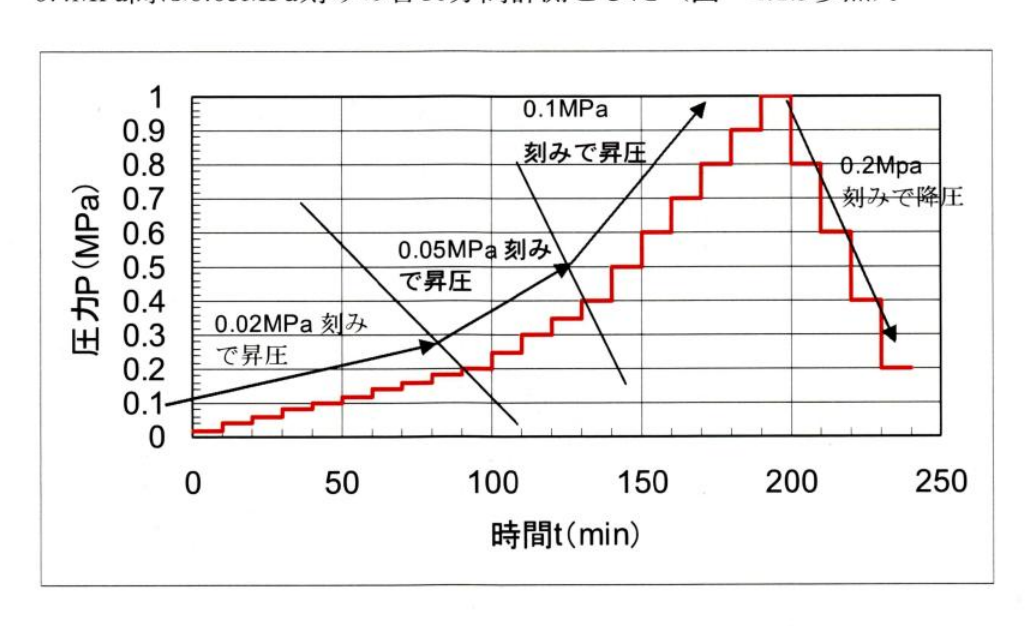


図-4.1.3 低圧ルジオンテストの昇圧パターン (1kgf/cm²=0.1MPaで換算)

2)孔内水圧変動測定

孔内水圧変動測定は、掘進 5m 間隔で実施することを原則とした。孔内水圧変動測定は、ルジオンテスト開始前の2時間を原則としたが、水圧値が不安定な場合は安定するまで続行した(図-4.1.4 参照)。記録間隔は以下に示す間隔とした。

- ・ 初期圧力 (パッカー装着前後) の水圧値
- ・ 1 分目までは 10 秒間隔の水圧値
- ・ 10 分目までは 1 分間隔の水圧値
- ・ 10 分目以降は 10 分間隔の水圧値

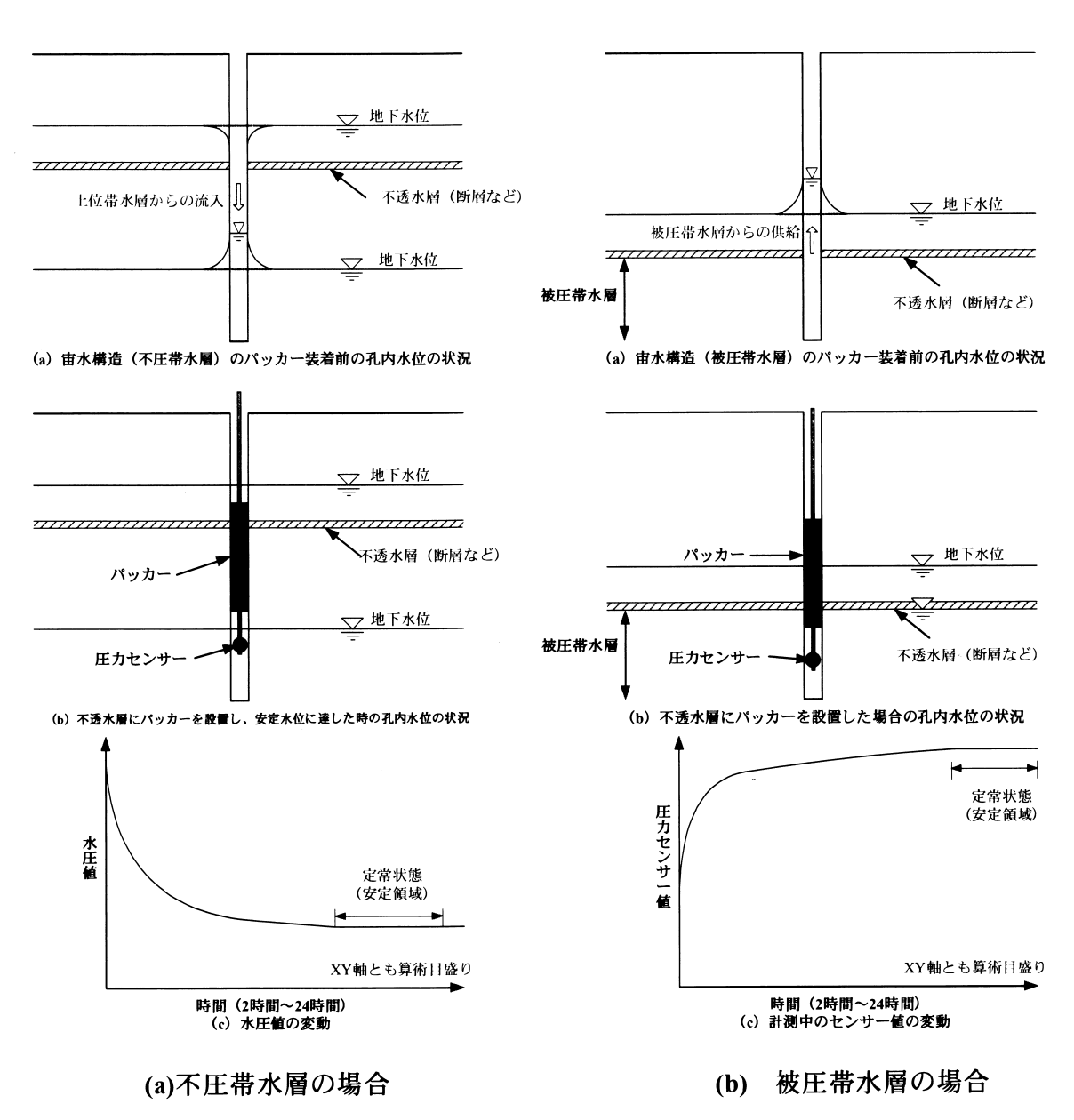


図-4.1.4 孔内水圧変動測定の概要

4.2 竪坑内調査

河床部の竪坑 (SF-1) は、計画ダム軸の下流約 10m に地点において掘削されており、竪坑内から横坑調査 (T-4-1 坑・T-4-2 坑・T-4-3 坑) が行われている (図-4.2.1 および図-4.2.2 参照)。

本業務では、横坑内の地質分布と岩級の再確認を行った他、横坑内で実施されているブロックせん断試験箇所についても地質および岩級の再確認を行った。また、地質分布や岩級区分の再確認結果は、スケッチとして取りまとめた。

なお、SF-1 坑のポンプアップならびに仮設階段設置は、別途業務で行っている。

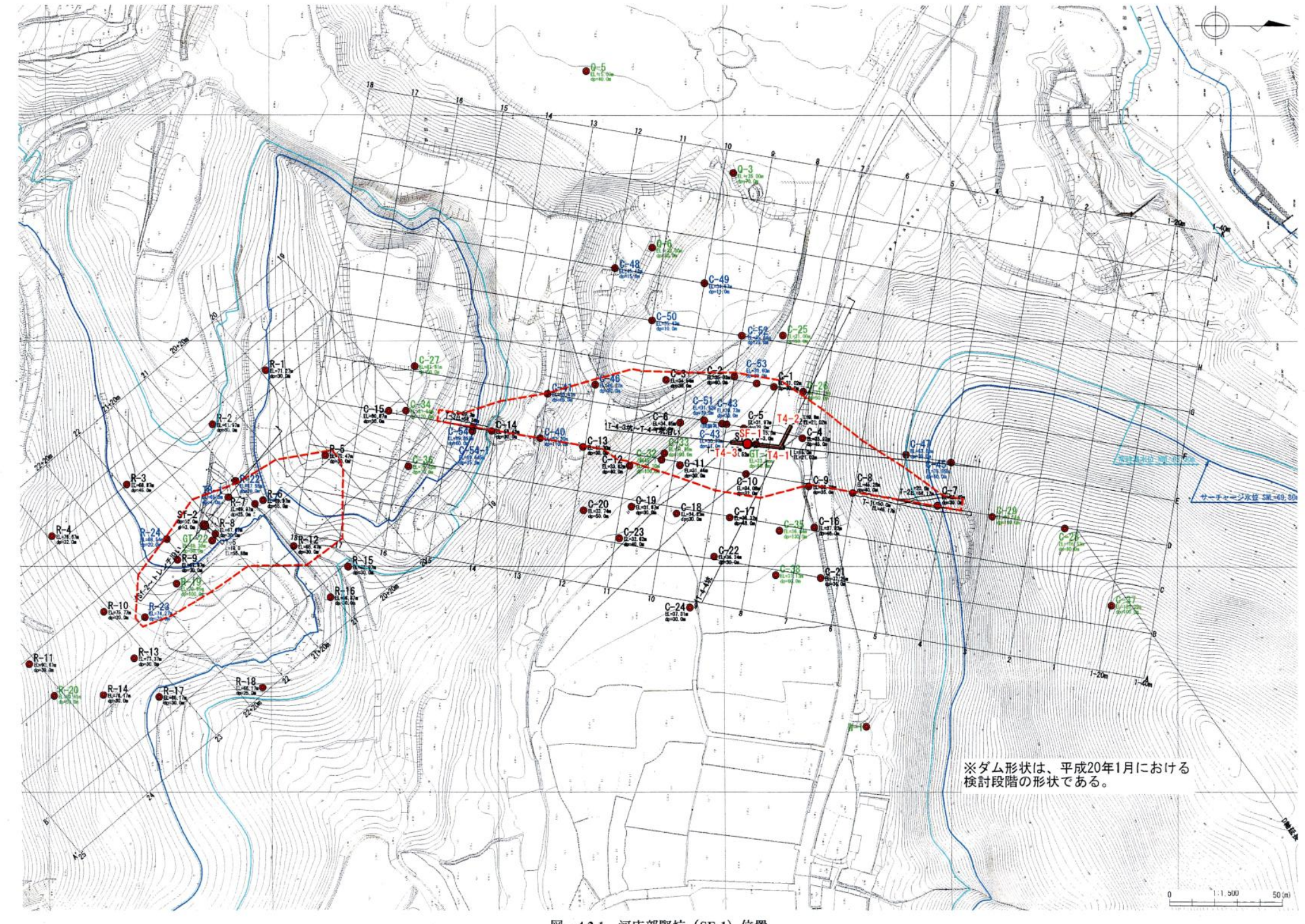
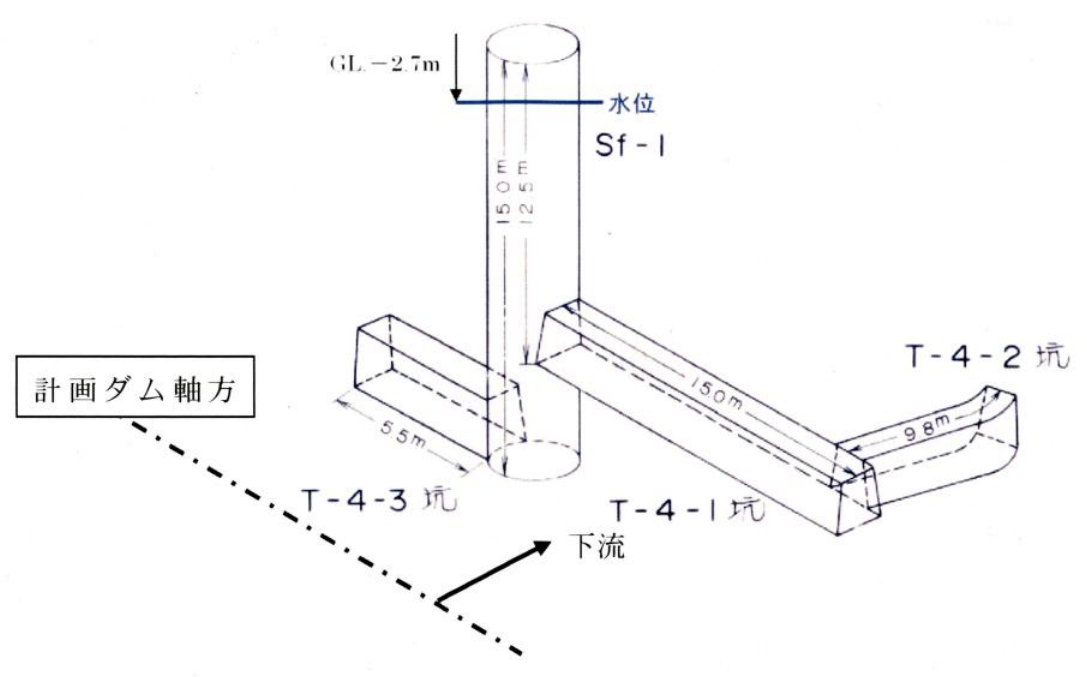


図-4.2.1 河床部竪坑 (SF-1) 位置



【Sf-1 概念図】 ※上流側からの断面

触針式水位計による計測により、水位は GL. -2.70m にあり、河床とほぼ同レベルの水位であることが判明した。また、孔底は GL. -15.20m であり、堆積物の沈殿も数 cm 程度と考えられる。

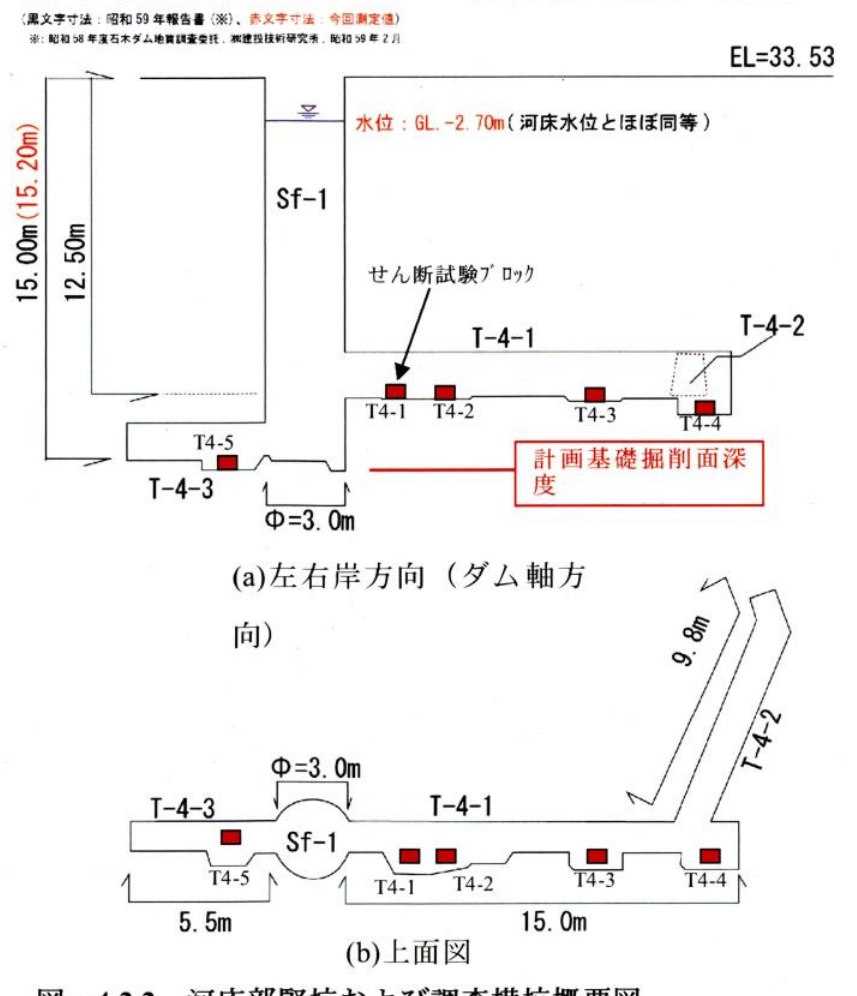


図-4.2.2 河床部竪坑および調査横坑概要図

4.3 左岸鞍部トレンチ調査

4.3.1 トレンチスケッチ

CLL 級岩盤の確認ならびにコンクリート付着試験の実施を目的としたトレンチ掘削は図-4.3.1 に示す計画ダム軸下流側において、別途業務で実施されている。

本業務では、トレンチ箇所の測量を実施し、縮尺 1:100 のスケッチを行うことで地質分布および岩級区分の詳細を明らかにした。

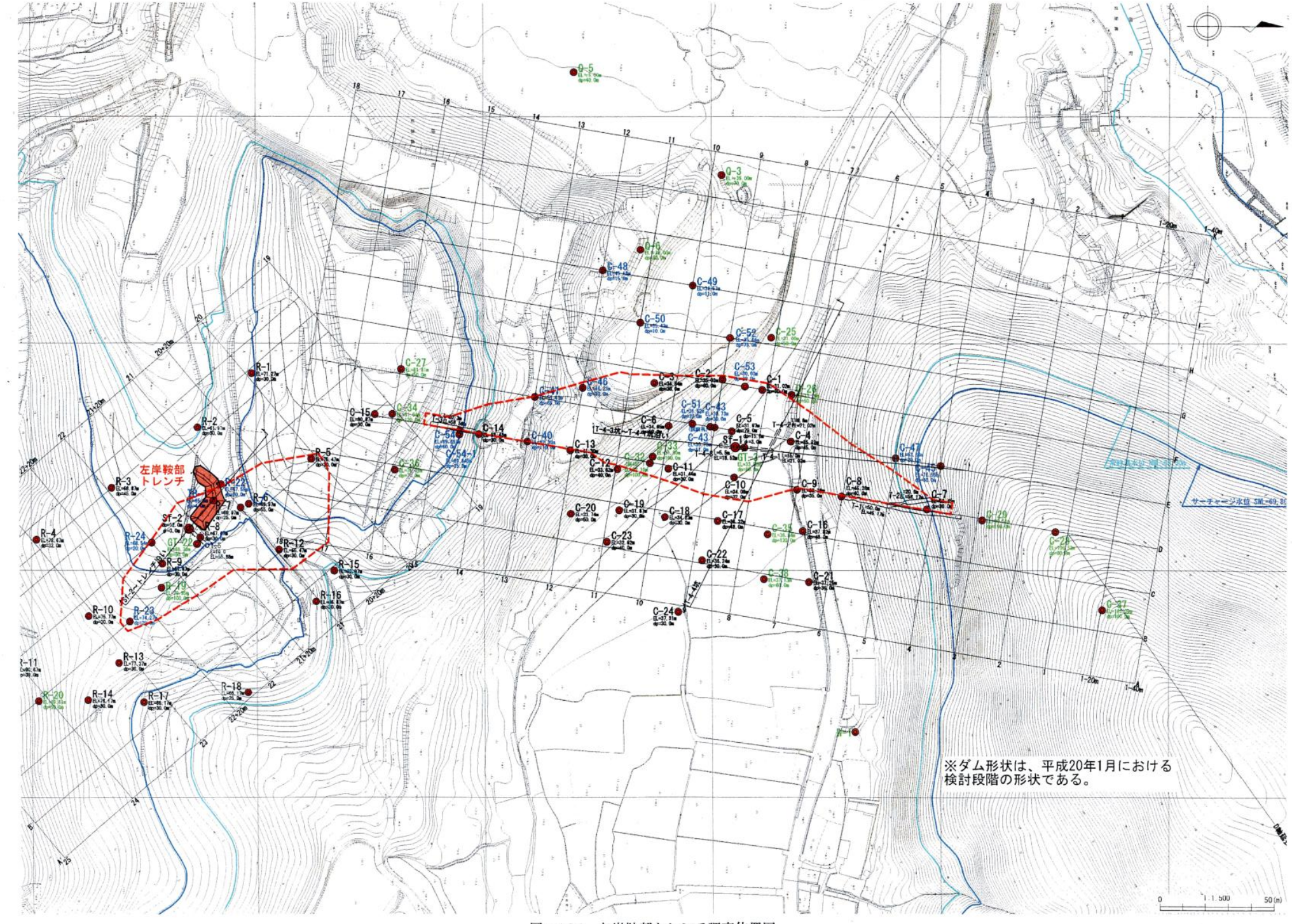
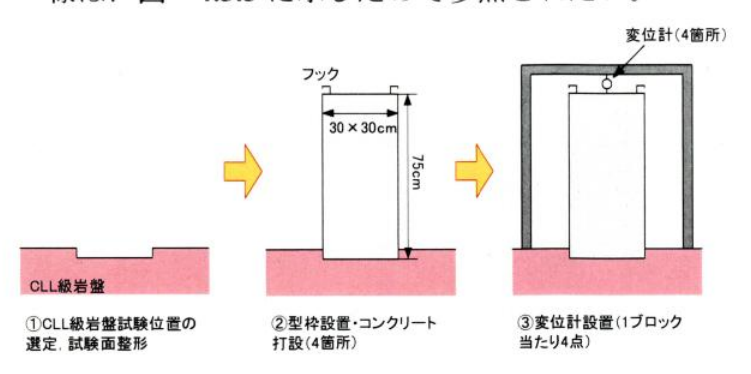


図-4.3.1 左岸鞍部トレンチ調査位置図

4.3.2 コンクリート付着試験

コンクリート付着試験は、トレンチ踏前(底盤)を対象に打設した長さ 30cm×幅 30cm×高さ 75cm の直方体コンクリートをチェーンブロックによる段階的な荷重で引き上げることにより、打設面の岩盤付着状況を確認した。

試験位置の選定から試験実施までの作業手順は、図-4.3.2 および図-4.3.3 に示すとおりであり、試験は図-4.3.4 に示す 6 カ所で実施した。なお、コンクリート供試体の仕様は、図-4.3.5 に示したので参照されたい。



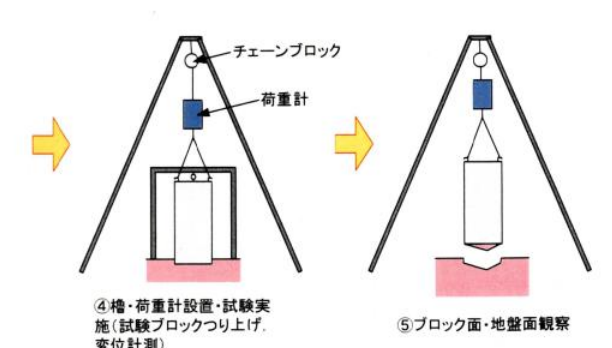


図-4.3.2 コンクリート付着試験の概要

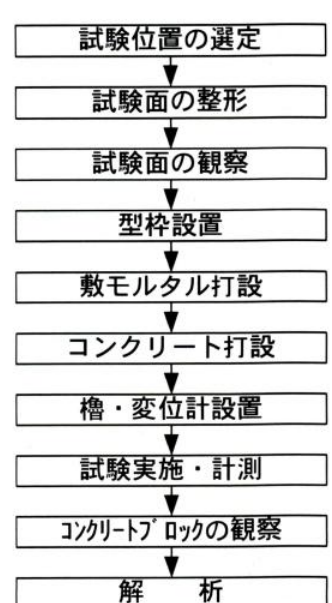


図-4.3.3 コンクリート付着試験の手順

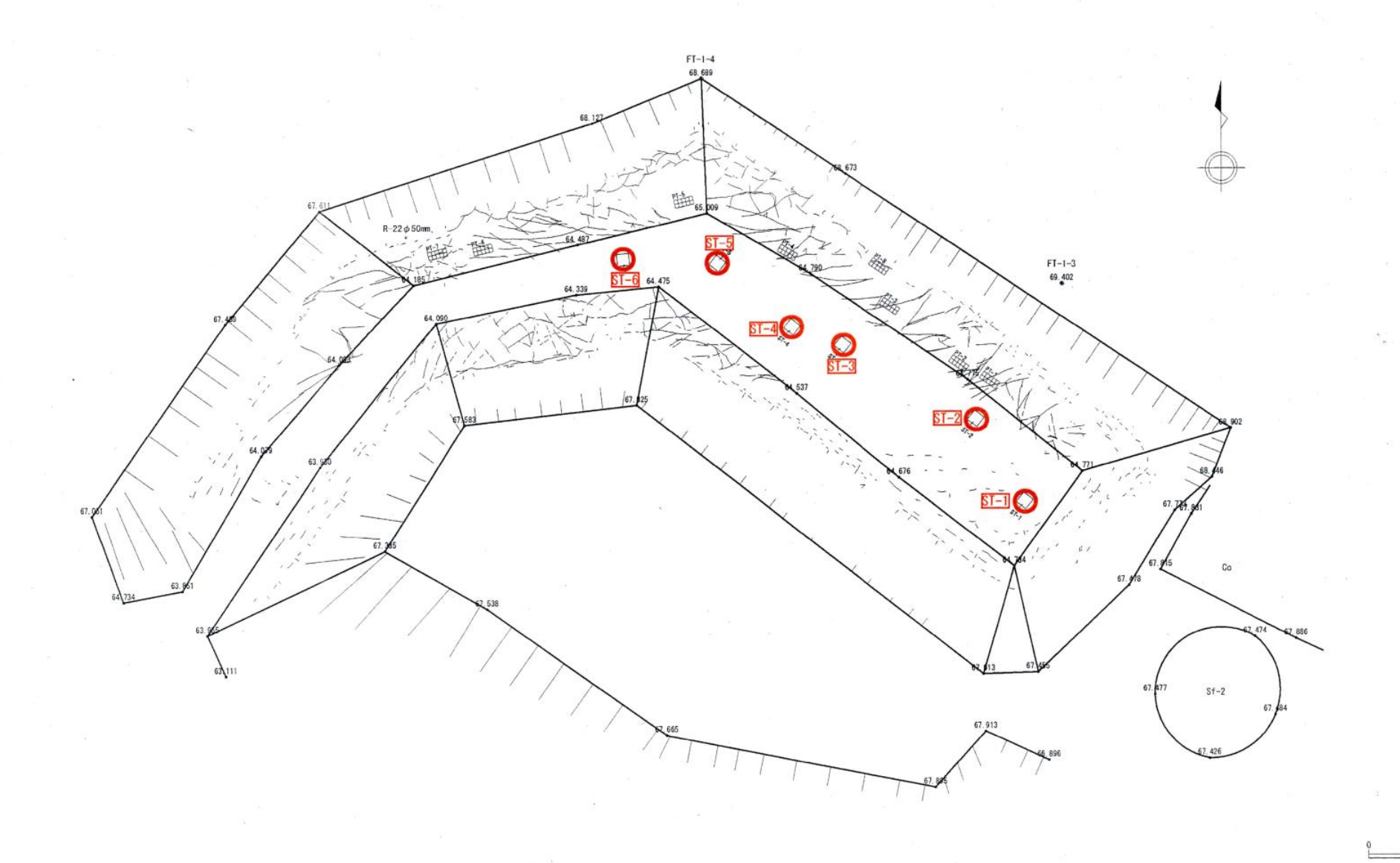


図-4.3.4 コンクリート付着試験実施位置

付着強度試験 試験体形状図 S=1/10

試験体形状図 試験体配筋図 300 180 ⑤1) D13 吊りフック位置 8 3 (\$1) DI3 §1) D13 (§1) D 3 - 呂リフック 8 <u>試験面</u> (数モルタル t-3cn)

鉄筋	数	물	表
----	---	---	---

32 N/1 3	X = 1	×				
種別	径	長さ	本数	単位質量	1本あたり 質量	質量
		(mm)		(kg/m)	(kg/本)	(kg)
S1	D13	987	4	0. 995	0.98	3.9
			合	計		4

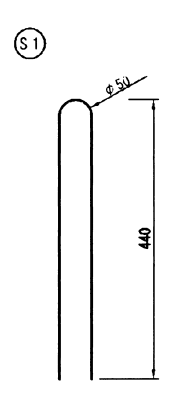
試験体数量(1体あたり)

コンクリート: V=0.300×0.300×0.750=0.0675m ³

鉄 筋: W=0.004 t (上表参照) 型 枠: A=0.300×0.750×4=0.9m²

敷モルタル : V=0.300×0.300×0.030=0.0027m²

図-4.3.5 コンクリート供試体の仕様



試験の実施はコンクリート打設の 10 日後とし、図-4.3.6 に示す荷重パターンを目安とした引き上げを行った。

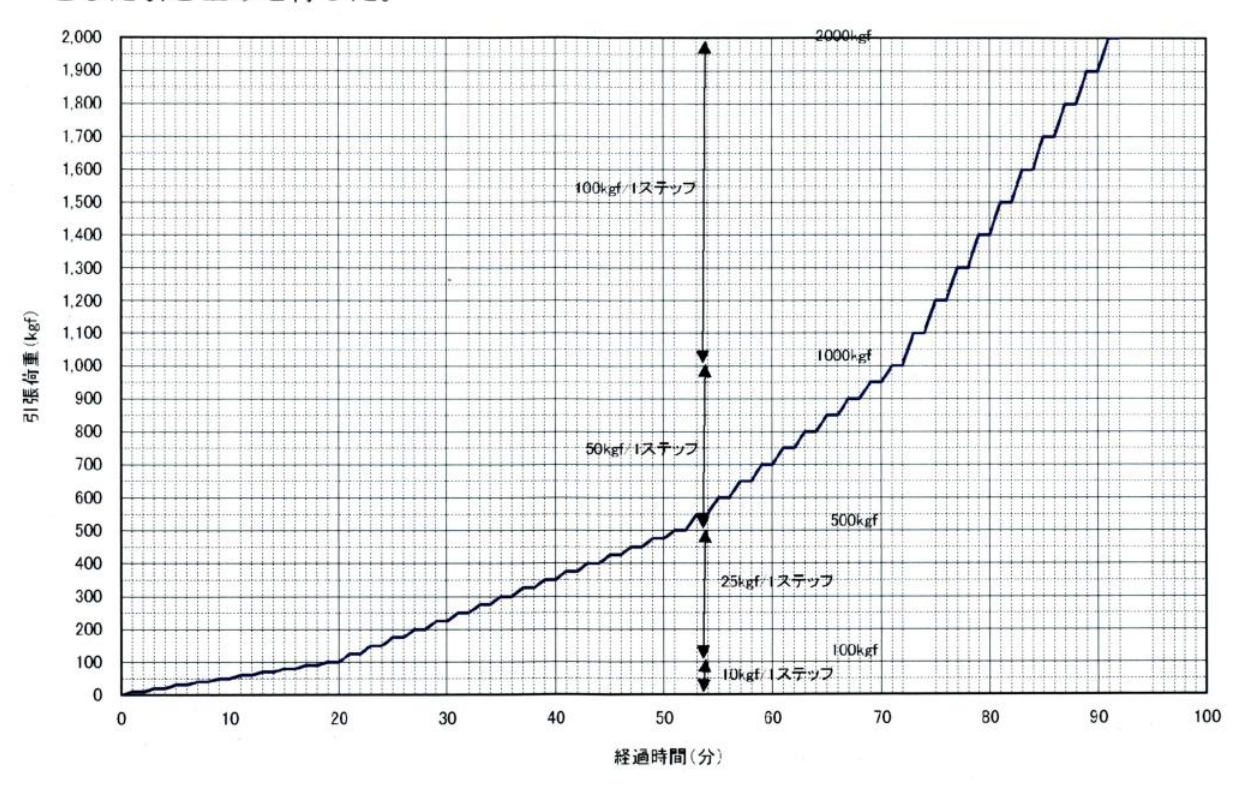


図-4.3.6 コンクリート付着試験の荷重パターン

引き上げ荷重の計測や、供試体頭部の 4 隅に設置した変位計測には、自記録装置を用いた。

コンクリート打設箇所は 6 カ所であり、このうち 5 カ所の打設面 (ST-2 \sim ST-6) が CLL 級に評価され、1 カ所の打設面 (ST-1) が D 級に評価される。

コンクリート付着試験の状況は、写真-4.3.1 に示したので参照されたい。



4.3.3 原位置簡易試験

原位置簡易試験は、トレンチ側面の D 級岩盤と CLL 級岩盤の 8 カ所を対象に針貫入試験およびピック貫入試験を行った(写真-4.3.2 および図-4.3.7 参照)。



(a) 針貫入試験器



(b) ピック貫入試験器

写真-4.3.2 針及びピック貫入試験器

針及びピック貫入試験は、高さ 20cm×幅 50cm の試験対象面を平滑に整形し、2.5cm ×2.5cm の領域内で両試験を各 1 回実施した。また、試験値は、各貫入荷重(N)を貫入量(mm)で除した貫入勾配(N/mm)として評価した(針貫入勾配は NP(N/mm), ピック貫入勾配は PP(N/mm))。

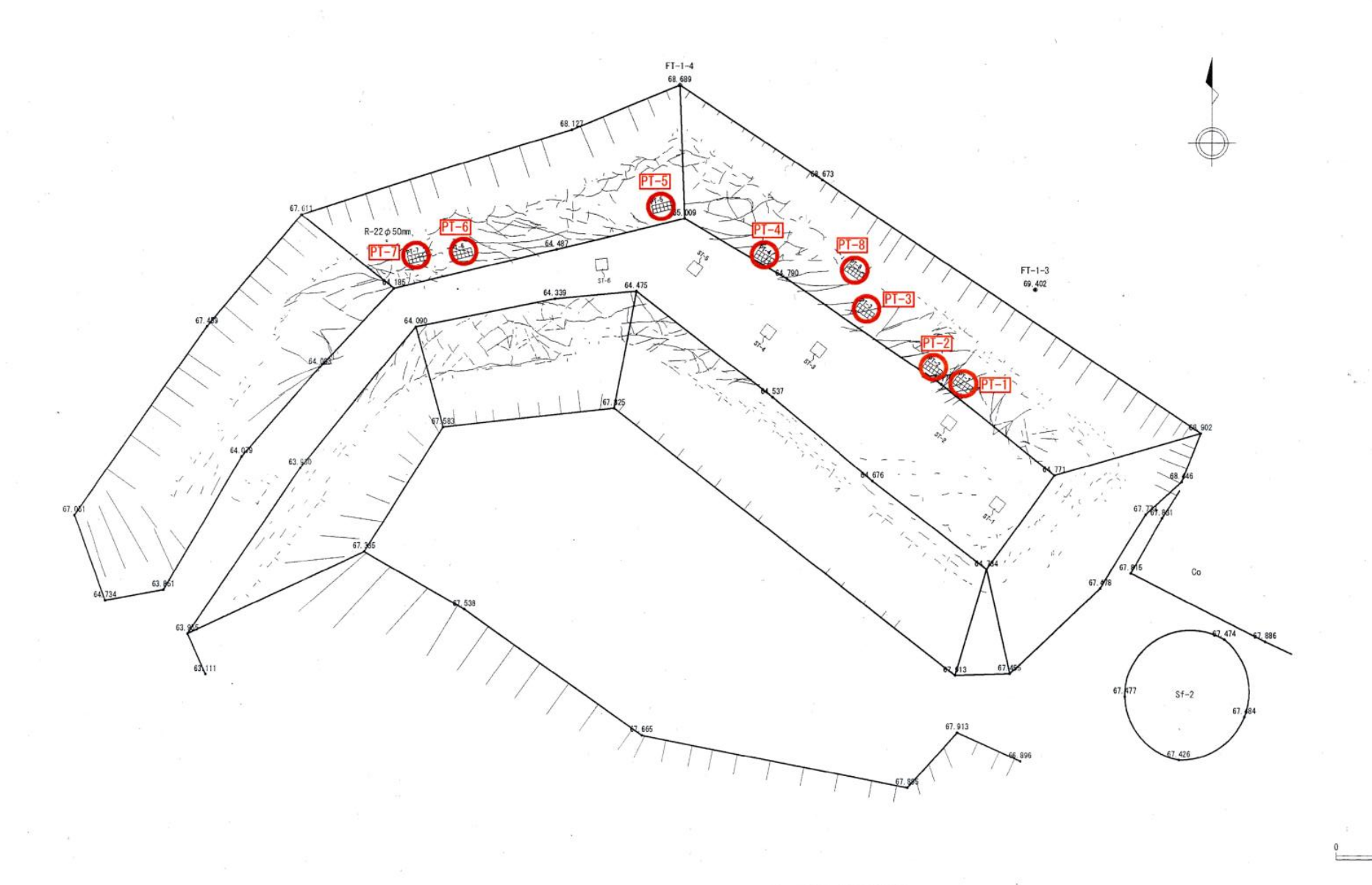


図-4.3.7 原位置簡易試験実施位置

4.3.4 大孔径ボーリング

大孔径ボーリング(TB-1 孔)は、左岸鞍部トレンチ底盤より下部に分布する CLL 級岩盤をより地山状況に近い状態で確認し、後述するトリプルサンプラーによる乱さない試料の採取位置を検討するために行った。

調査位置は図-4.3.8 に示すとおりであり、採取コアの直径は 86mm、掘進長は 4m である。

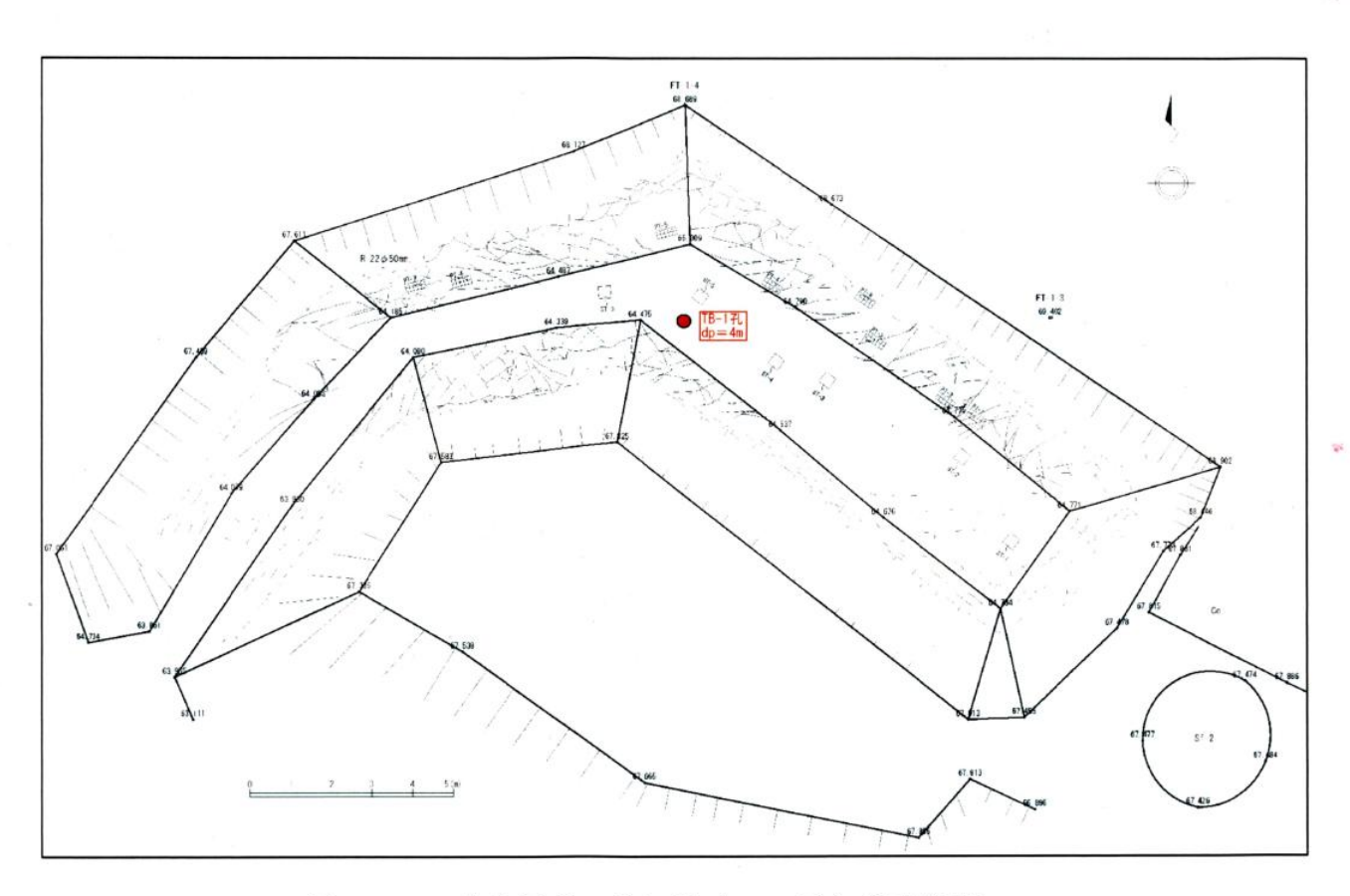


図-4.3.8 大孔径ボーリング (TB-1 孔) 調査位置

4.3.5 室内岩石試験

室内岩石試験は、左岸鞍部トレンチ内の D 級岩盤と CLL 級岩盤を対象に実施した ブロックサンプリングおよびトルプルサンプラーによる乱さない試料を用い、物理性 状や一軸圧縮強さを把握することを目的とした室内岩石試験(密度試験、含水比試験、 一軸圧縮試験および三軸圧縮試験(UU))を行った。

乱さない試料の採取は、針及びピック貫入試験を実施した箇所を拡幅し、ブロックサンプリングにより採取した。また、追加岩石試験として、トレンチ底盤から深度 3.5mまでの範囲と針・ピック貫入試験箇所の PT-3 地点を対象にトリプルコアサンプラーによる試料採取を行った。

ブロックサンプリングとトリプルサンプラーの概要は図-4.3.9 および図-4.3.10 に示すとおりであり、室内岩石試験については、表-4.3.1 に示す基準に準拠した。

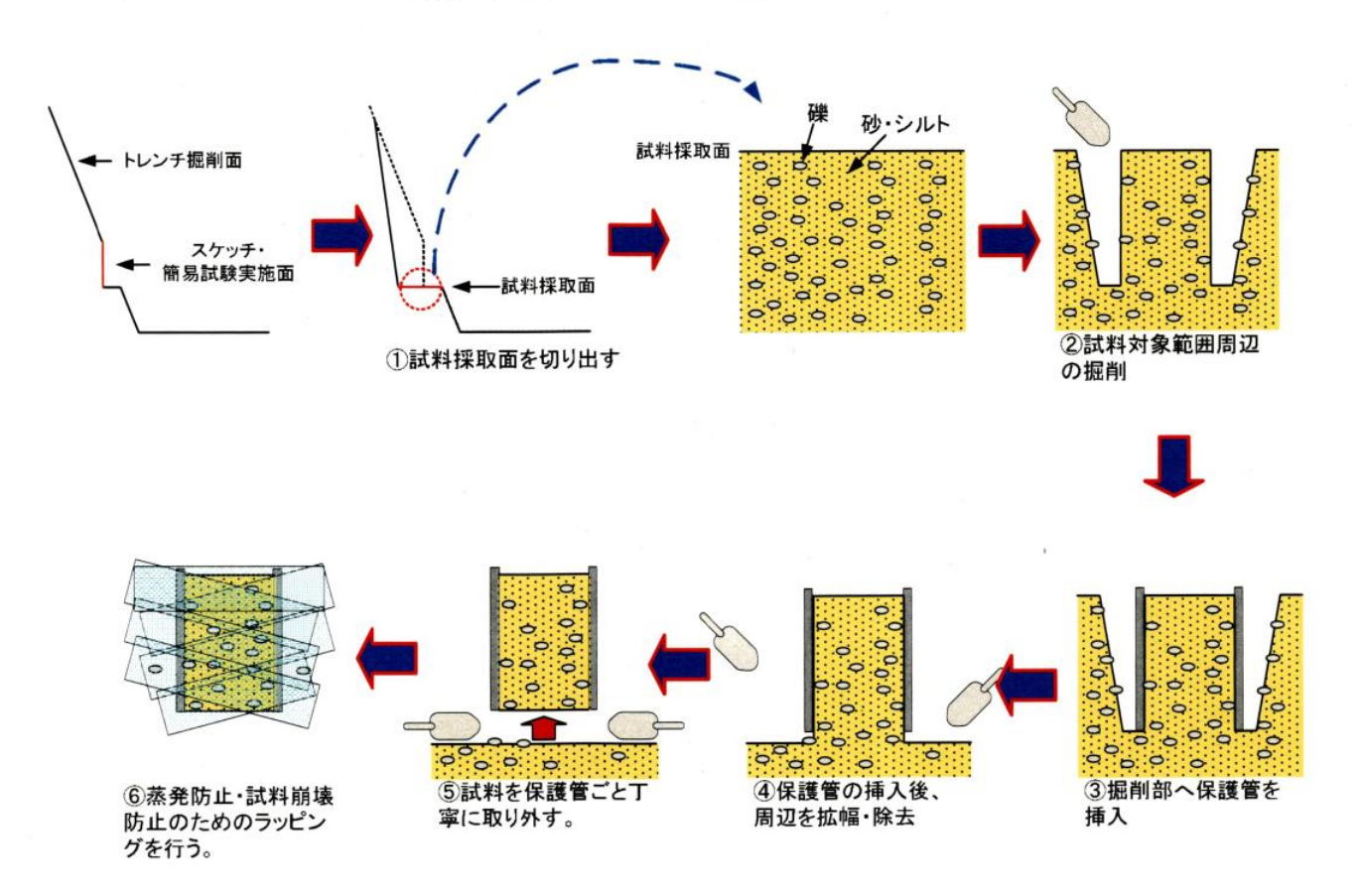


図-4.3.9 ブロックサンプリングの手順

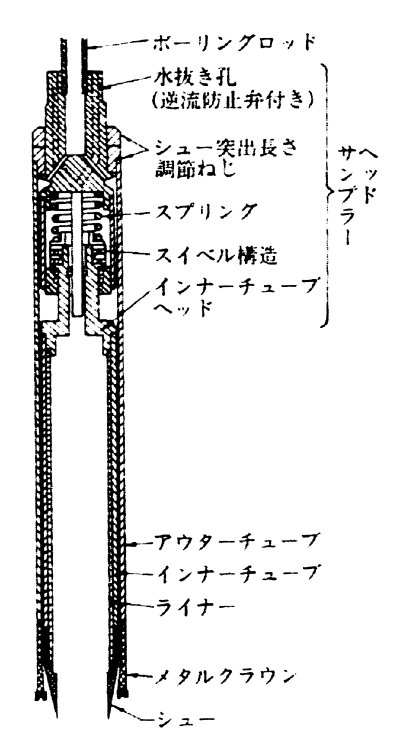


図-4.3.10 トリプルサンプラーの概要

表-4.3.1 室内岩石試験準拠基準

÷4 ₩ Δ ₩ □	準拠基準	準拠基準			
試験の項目	基準名	基準番号			
密度試験	ノギス法 パラフィン法	JIS A-1225:2000			
含水比試験	恒温乾燥炉(110±5°C)による方法	JIS A-1203:1999			
一軸圧縮試験	一軸圧縮試験	JIS A-1216:1998			
三軸圧縮試験 (UU)	非圧密-非排水(UU)	JGS 0521			

5. 調査結果

5.1 ボーリング調査

ダムサイト左岸側で実施した C-54 および C-54-1 は、左岸アバット部に推定された An4 の分布ならびに An4 下面付近に推定された高透水部の有無を確認する目的で実施した。ボーリング調査結果に基づく地質分布、岩盤状況および透水性は以下のとおりである。なお、ボーリングコア写真および柱状図は巻末資料として添付したので参照されたい。

【地質分布】

- (1) An4 は、T-3 横坑で確認されており、C-54 孔では深度 40~45m 付近まで分布することを推定していた。しかし、C-54 孔では深度 13.3m 付近に An4 下面境界と推定される自破砕部が確認され、これより深部では安山岩 3 緻密部 (An3-c) が分布する。
- (2) An3-c では、左岸側方向に高角度で傾斜する流理が認められる(図-5.1.1 参照)。
- (3) 既往検討で An4 下面と推定していた C-40 孔の深度 34.1m の白色部は、ボアホールテレビ観察の結果、左岸側に 60°~65°で傾斜する節理(二次的に生成された白色鉱物が充填)であることが判明した(写真-5.1.1 参照)。
- (4) 以上より、計画ダム軸 (D-D') においては、An4 は左岸アバット高標高部の狭い 範囲での分布と推定される。

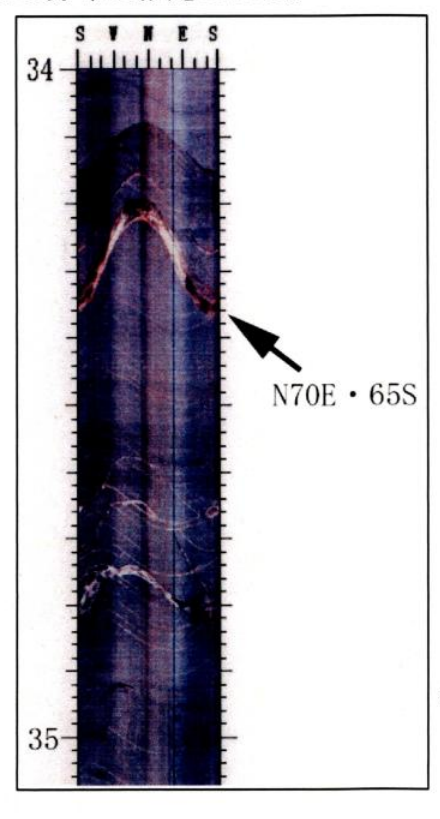


写真-5.1.1 C-40 孔に推定した An4 下部境 界ボアホールテレビ展開画像

【岩盤状況】

(1) 岩盤状況は、当初推定どおり、浅部から CM 級以上の岩盤が分布する (図-5.1.2 参照)。

【透水性】

- (1) C-54 孔では浅部から連続して 2Lu 未満が確認され、左岸側アバット部は浅部から 5Lu 未満ゾーンであることが推定される(図-5.1.3 参照)。
- (2) 但し、深度 40~45m 区間は 5.5 ルジオンが得られており、この区間には水平節理が 1 カ所に分布する (写真-5.1.2 参照)。
- (3) 当初、C-40 孔において An4 下面付近における高透水部と推定した箇所(深度 30 ~35m) は、An3-c 中にスポット的に分布すると推定される高角度節理に起因すると高ルジオン区間と推定される。

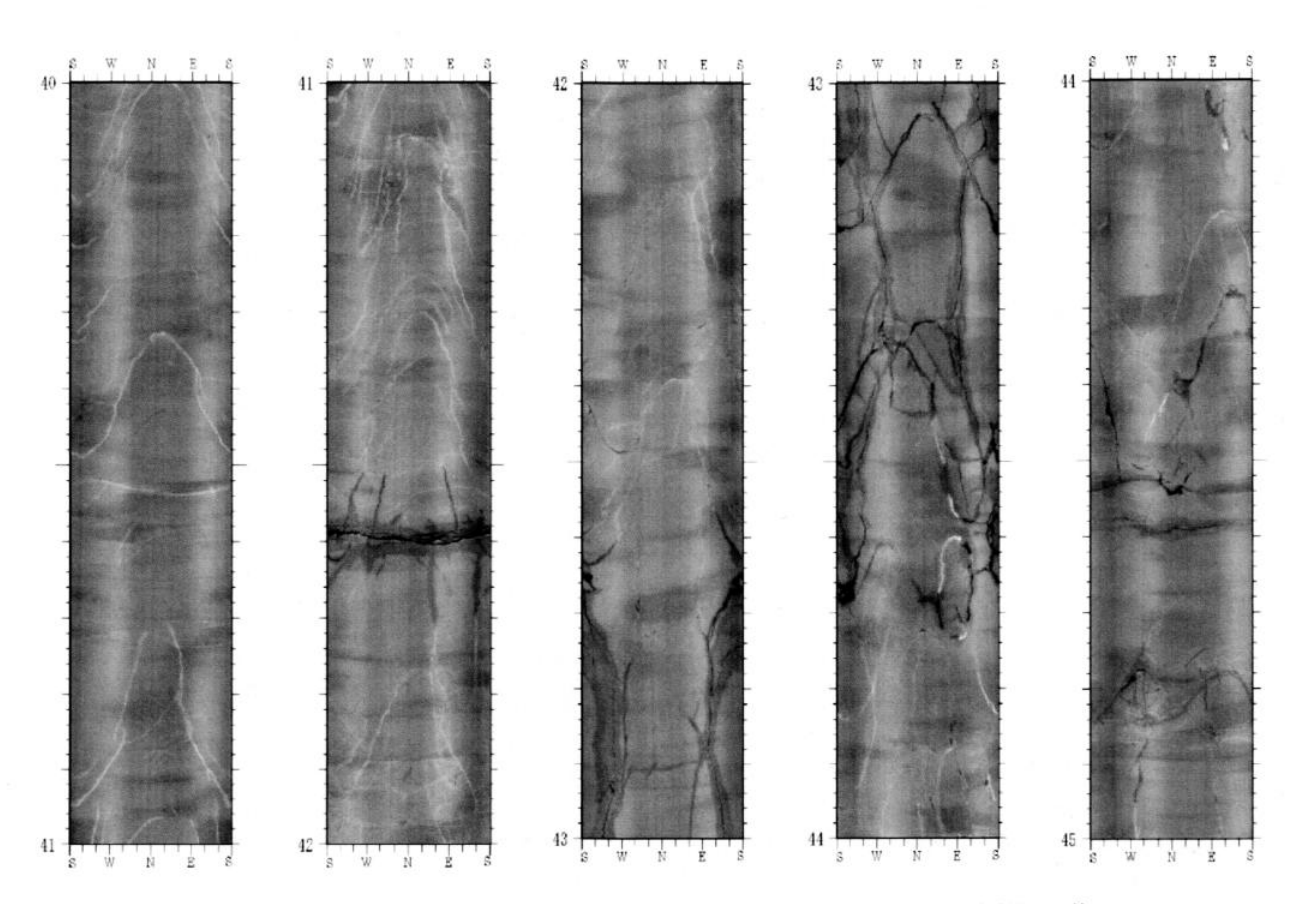


写真-5.1.2 C-54 孔の深度 40~45m 間のボアホールテレビ展開画像

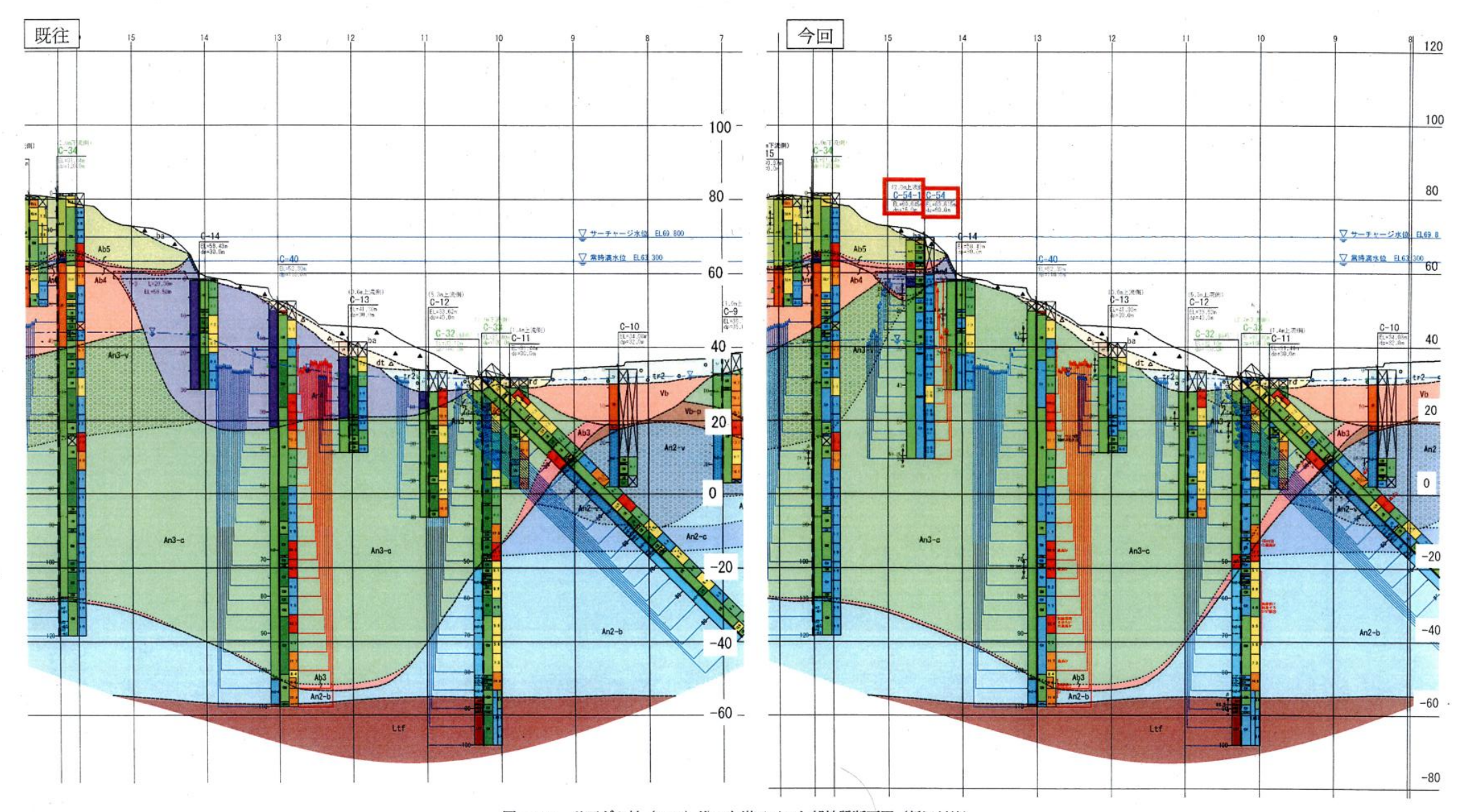


図-5.1.1 計画ダム軸 (D-D') 沿い左岸アバット部地質断面図 (新旧対比)

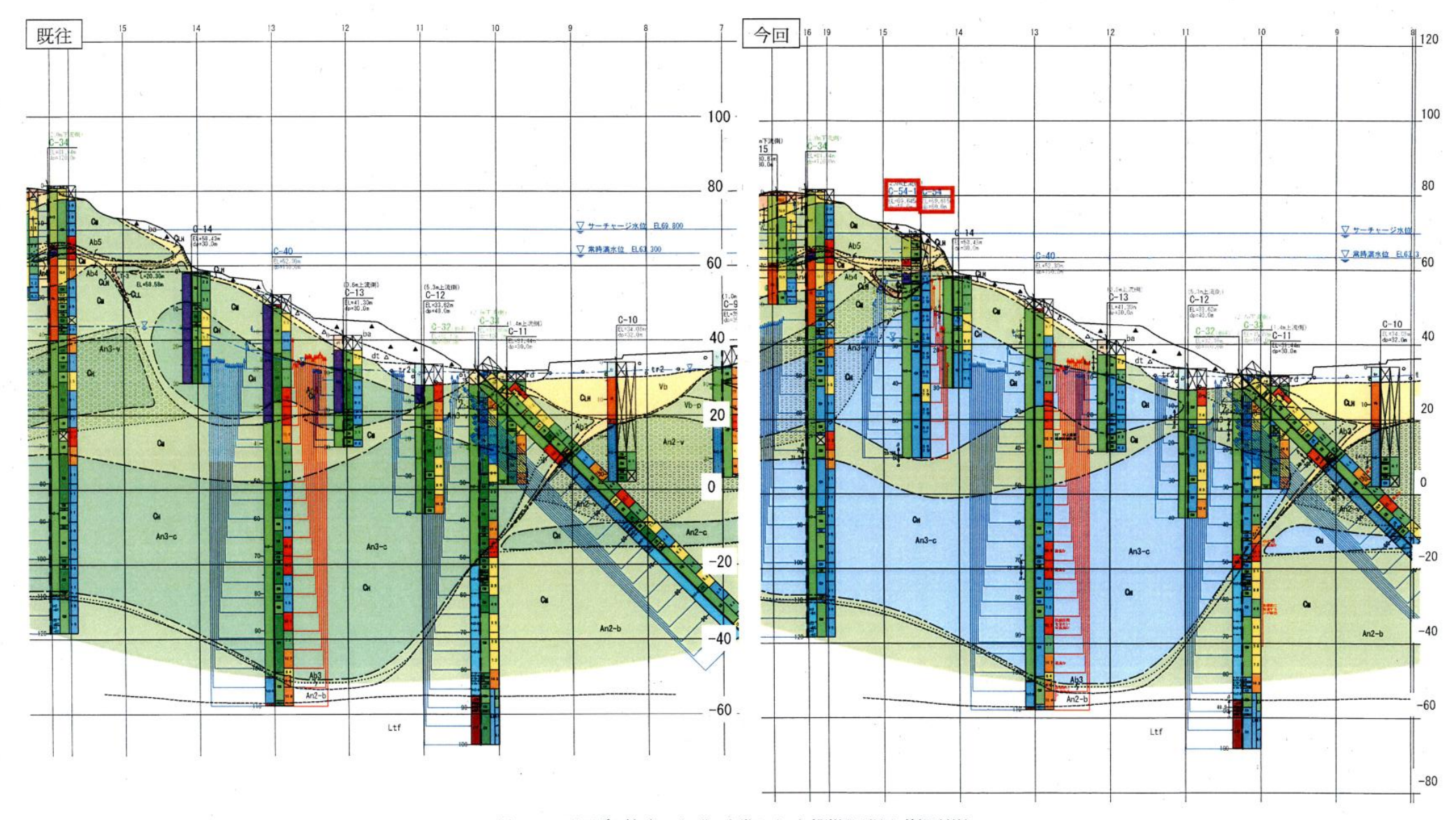


図-5.1.2 計画ダム軸 (D-D') 沿い左岸アバット部岩級区分図 (新旧対比)

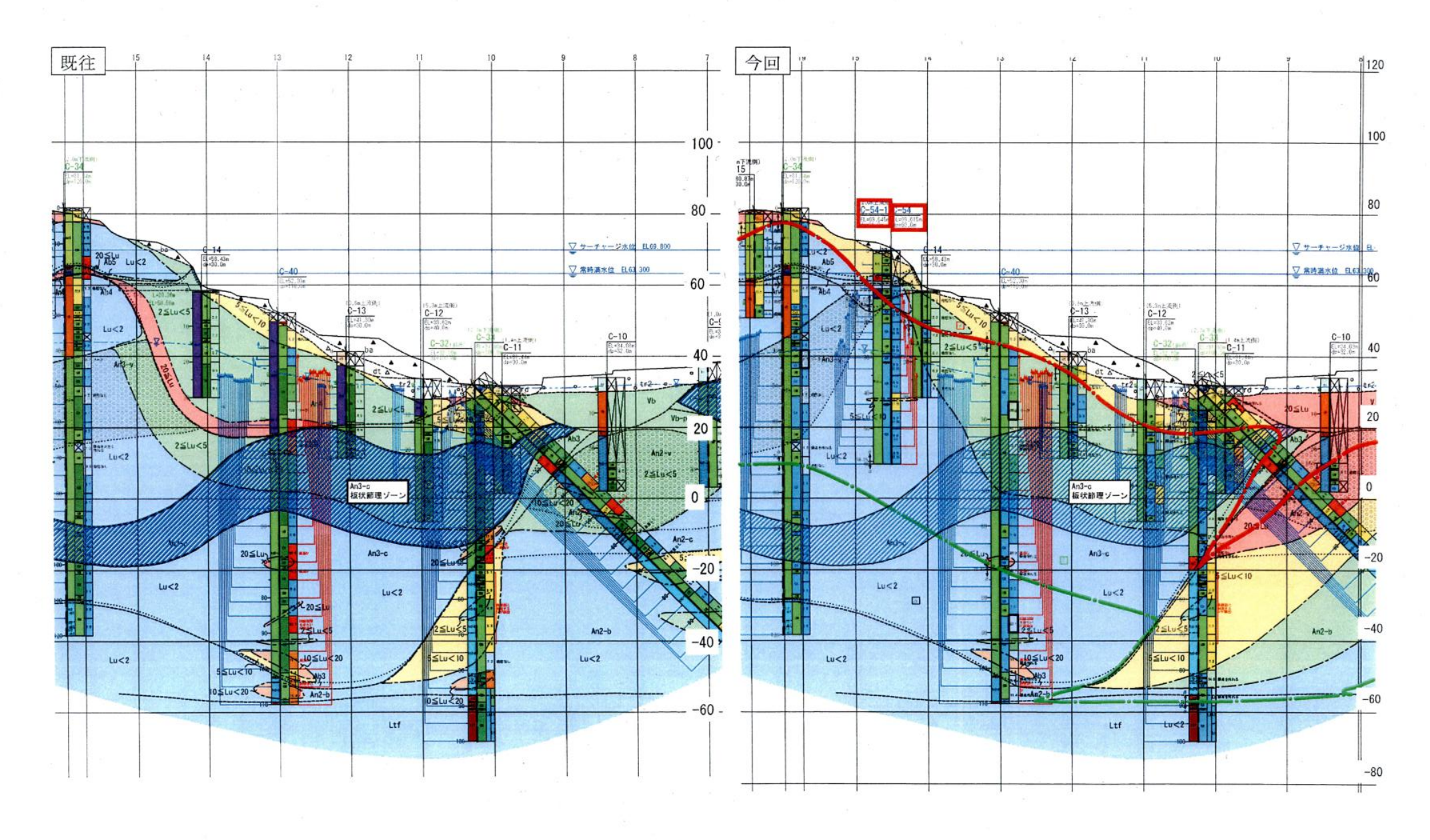


図-5.1.3 計画ダム軸 (D-D') 沿い左岸アバット部ルジオンマップ (新旧対比)

5.2 竪坑内調査

竪坑内調査の結果は以下のとおりである(図-5.2.1、図-5.2.2 および写真-5.2.1 参照)。

- (1) 調査横坑 T-4-1 坑および T-4-2 坑では、安山岩 3 緻密部 (An3-c)、安山岩 3 自破砕部 (Ab3)、軽石火山角礫岩 (Vb-p) の分布が確認された。
- (2) T-4-1 坑切羽付近から下流方向に延びる T-4-2 坑では、安山岩 3 緻密部 (An3-c) 中 に低角度の板状節理が発達するゾーンが認められる。
- (3) T-4-3 坑では、安山岩 3 自破砕部 (Ab3)、軽石火山角礫岩 (Vb-p)、安山岩 2 角礫 状部 (An2-b) の分布が確認された。
- (4) T-4-3 では、安山岩 3 自破砕部(Ab3)と軽石火山角礫岩(Vb-p)が左岸側方向に 高角度で傾斜している。
- (5) 安山岩 3 自破砕部(Ab3)は、CLH 級岩盤を主体とし、一部に軟質な CLL 級岩盤 を伴う。
- (6) 軽石火山角礫岩(Vb-p)は、全体に良く締まった性状を有しており、CM 級岩盤を主体とし、一部に CLH 級岩盤を伴う。
- (7) 安山岩 3 緻密部 (An3-c) および安山岩 2 角礫状部 (An2-b) は CM 級岩盤である。

ブロックせん断試験箇所の見直し結果は、表-5.2.1 に一覧として示したとおりであり、 見直し前後の岩級は以下のように対応する。

T-4-1:(見直し前) CL~CM級 → (見直し後) CLH級

T-4-2:(見直し前) CL~CM級 → (見直し後) CLH級

T-4-3:(見直し前) CM 級 → (見直し後) CM 級 (67%) · CLH 級 (33%)

T-4-4: (見直し前) CM~CL級 → (見直し後) CM級

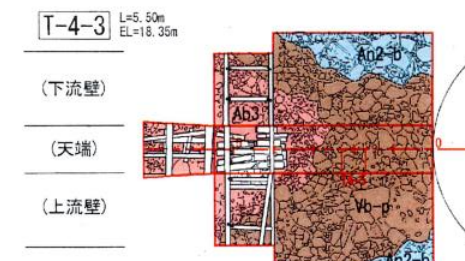
T-4-5: (見直し前) D級* → (見直し後) CH級 (58%)・CM級 (42%)

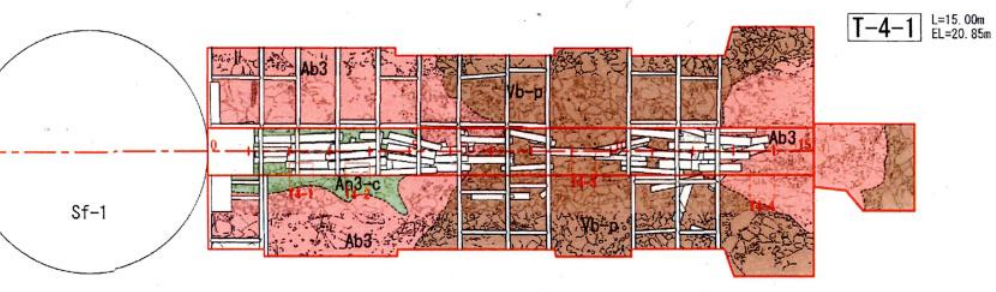
※T-4-5 ブロックの当初評価は、試験ブロックが弛んでいたことを踏まえて D 級と評価している。本業務では、試験後の試験面のみの評価であるため、弛みは考慮せず岩級評価を行っている。但し、せん断強度評価では最終的に試験ブロックが弛んでいたと評価し、棄却対象としている。

地質区分	Ab3 Vb-p
岩級区分	CLH
硬軟区分	D C
割れ目間隔	I
割れ目の状態	b b

Ab3			Vb-p	Ab3	地質区分
CLH CLL CM	CLH		CM	CLH	岩級区分
D DB	D		С		硬軟区分
I II	I		1		割れ目間隔
b b	b	1	b	Б	割れ目の状態

地質区分 Vb-p	Ab3 An3-c
岩級区分	CLH
硬軟区分	D B
割れ目間隔	I
割れ目の状態	b b



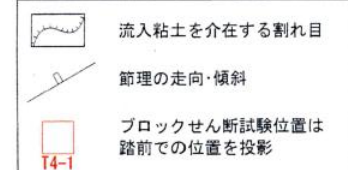


T-4-2	9. 80m =20. 85m						
(下流壁)						Ab3	TO
(天端)		-	7-25	45/	n3-c	N.	1

. 地質区分 A	b3 Vb-p
岩級区分	CLH
硬軟区分	D
割れ目間隔	I
割れ目の状態	b

An3-c Ab3	Vb-p	Ab3 地質区分
CLH CLH CLH	CM	CLH 岩級区分
C D D	C	D 硬軟区分
П 1	I	割れ目間隔
c b / b/	b .	b 割れ目の状態

地質区分	Ab3	An3-c
岩級区分	CLH	CM
硬軟区分	D	В
割れ目間隔		IV
割れ目の状態	b	. b



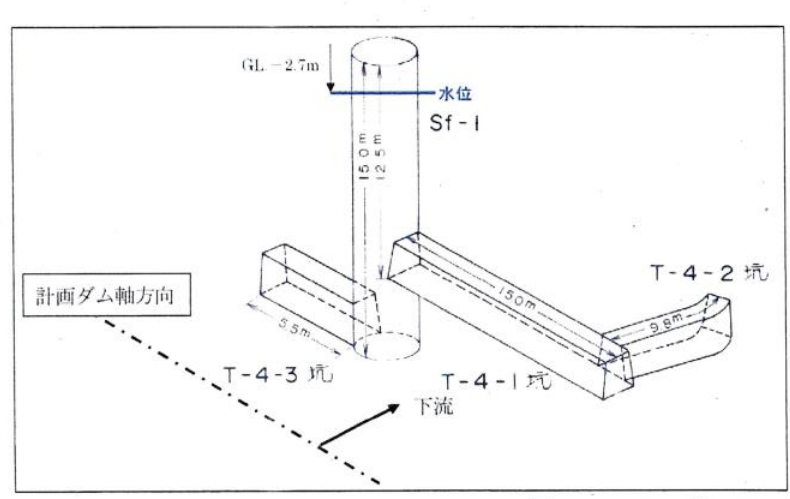
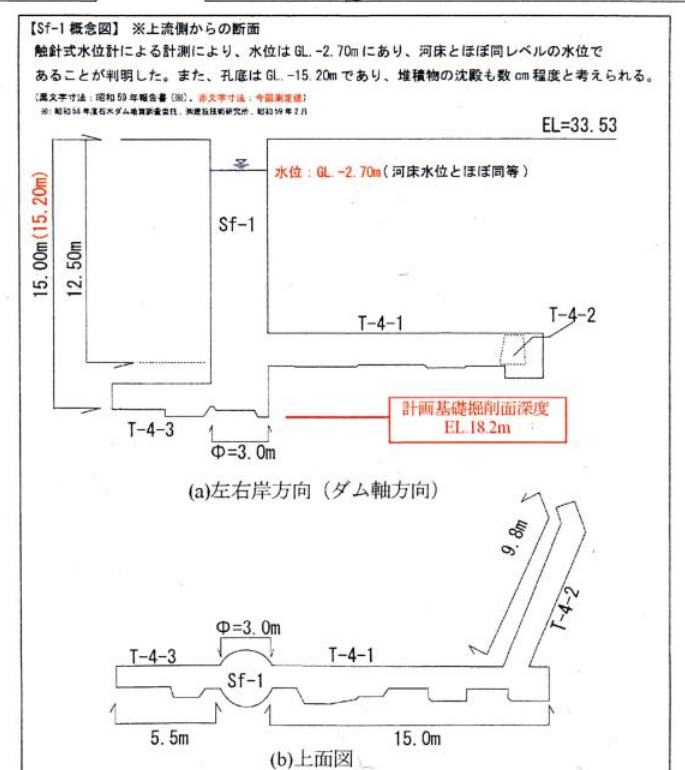


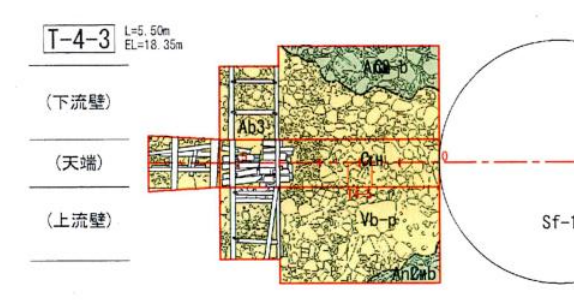
図-5.2.1 T-4-1 坑~T-4-3 坑横坑スケッチ(地質表示)





	Ab3		_	Vb-p	Ab3	地質区分
CLH	CLLCM	CLH		CM	CLH	岩級区分
D	DB	D	/	С	D	硬軟区分
1	I	I		I	T	割れ目間隔
b	bb	ь	/	b	<u> </u>	割れ目の状態

地質区分 Vb-	An3-c
岩級区分	CLH
硬軟区分	D B
割れ目間隔	I
別れ目の状態 b	b



		T-4-1 L=15. 00m EL=20. 85m
	Ch Ch Ch Ch	
	Ab3 ₁₅	CLH
-1	10 April 10	Cw
	Aba	

T-4-2	=9.80m =20.85m
(下流壁)	Out Ab3
(天端)	On 15 An3-c
(上流壁)	000 863

地質区分 Ab.	Vb-p An2-
岩級区分	CLH
硬軟区分	D
割れ目間隔	I
割れ目の状態	b .

An3-c Ab3	Vb-p	Ab3 地質区分
CLH CLL CLH	CM	CLH 岩級区分
C D D	C	D 硬軟区分
П / I/	I	割れ目間隔
c b / b/	b	b 割れ目の状態

地質区分	Ab3	An3-c
岩級区分	CLH	CM
硬軟区分	D	В
割れ目間隔		IV
割れ目の状態	b	b



流入粘土を介在する割れ目

節理の走向・傾斜

ブロックせん断試験位置は 踏前での位置を投影

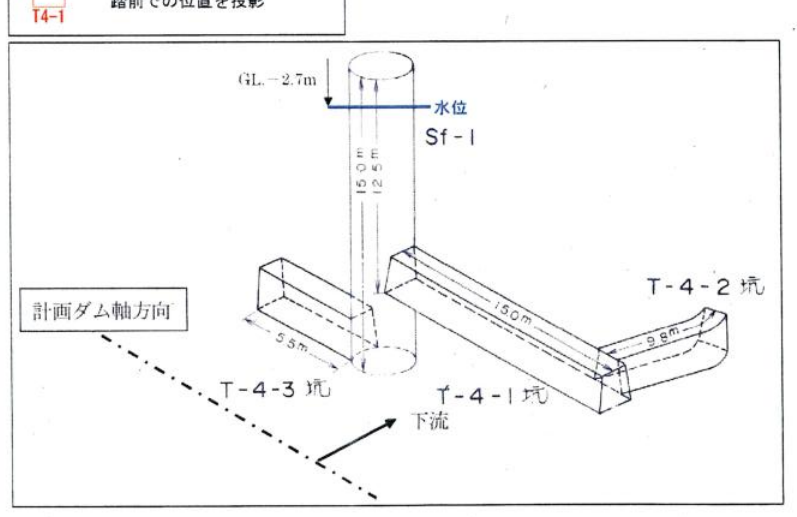
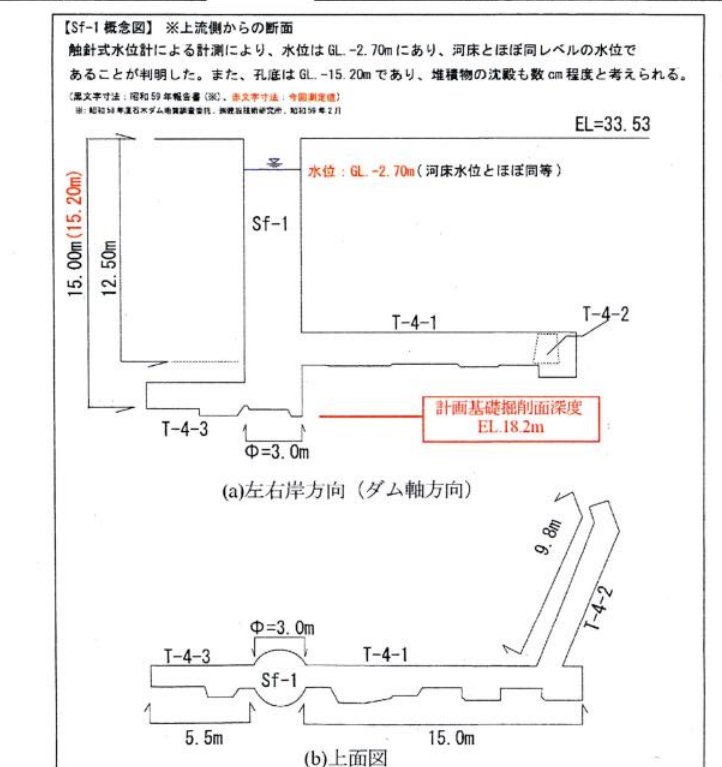
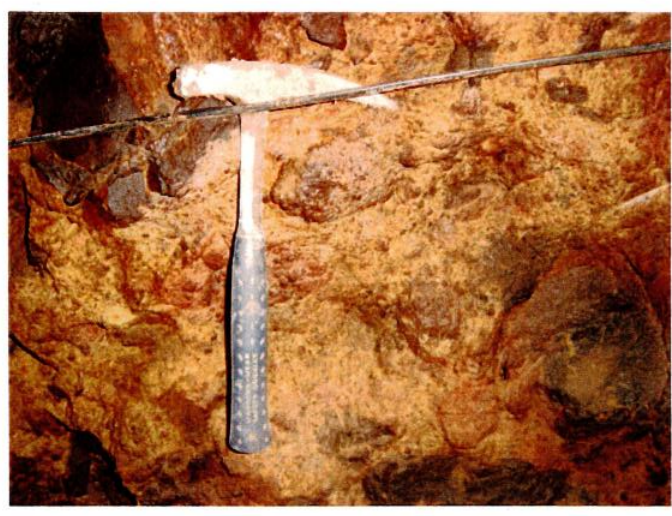


図-5.2.2 T-4-1 坑~T-4-3 坑横坑スケッチ(岩級表示)





安山岩 3 自破砕部 (Ab3) ※写真は細粒部が卓越する箇所



軽石火山角礫岩(Vb-p)



軽石火山角礫岩 (Vb-p)



安山岩 3 緻密部 (An3-c) 板状節理部



安山岩 2 角礫状部(An2-b)



安山岩 3 緻密部 (An3-c) (上) と自破砕部 (下)

写真-5.2.1 T-4-1 坑~T-4-3 坑で確認される地質の代表的岩相

表-5.2.1 T-4-1 ブロック~T-4-5 ブロックの観察結果

	せん断試験後の岩盤面(写真)	の岩盤面(写真) せん断試験後の岩盤面(スケッチと岩級区分)	地質	区分		細区分		岩級	FF 44 AR 4.5 -65 TID	岩盤状況からみた	
ブロック名	(試験実施時の写真)	(試験実施時のスケッチを利用)	塊状岩	礫質岩	硬軟 区分	割れ目 間隔	割れ目 状況	区分	既往試験結果 (試験値)	試験結果の評価(今回)	
T4-5		— (B1b)		An2-b	В	I	b	CH 58%	τ ₀ (kN/m ²)	試験面の約 60%が CH 級で、約 40%が CM 級である。CH 級は An2-b に該当し、CM 級は Vb-p に該当する。	
	2.7	(C1b)		· Vb-p	С	I	b	CM #2%	φ (°)	試験時の評価は、Vb-p 中の軽石部が弛んでおり、ブロック下部からの湧水が認められたため、棄却対象としている。	
T4-4		- (C 1b)	2 v	Vb-p	В	I	c	CM	τ ₀ (kN/m²) 1421.0	全体が CM 級で細区分 BIc が主体をなすが、基質が優勢な範囲では硬さが C となる。	
			⊗ 14		С	I	ь		φ (°) 50.3	試験結果は CM 級 (礫質岩) を代表すと考えられる。	
T4-3		□ (D 1b)	_	Vb-p	С	I.	b	CM	τ ₀ (kN/m ²) 1421.0 φ (°)	試験面の約 70%が CM 級 (CIb) で約 30%が CLH級 (DIb) である。但し、CLH級評価範囲の硬さ Dは、硬さ Cに近い性状を有する。 ↓ CLH級評価範囲は、CM級に極めて近い	
		(C1b)	6		D (C)	I	b	CLH 33%	50.3	性状を有するため、試験結果は、CLH 級の影響は少ないと考えられる。	
T4-2		□ (DID)	_	Ab3	D	I	b	CLH	τ ₀ (kN/m²) 627.2 φ (°) 46.9	全体が CLH 級で細区分は D I b である。 試験面の上位 1/4 の範囲 (写真上部) は 細粒部のみからなっており、せん断はこ の細粒部で発生し、ブロックがやや回転 している。	
T4-1		(D 1b)	_	Ab3	D	I	b	CLH	τ ₀ (kN/m ²) 921.2 φ (°) 45	全体が CLH 級で細区分は DIb である。 一部に硬質な礫部が認められる。 ↓ 、 、 、 、 、 、 、 、 、 、 、 、 、 、 、 、 、 、	

5.3 左岸鞍部トレンチ調査

5.3.1 トレンチスケッチ

(1) 地質分布

左岸鞍部におけるトレンチ内には、基盤地質として火山角礫岩 (Vb) が分布し、その上位には未固結被覆層として表土 (dt)、盛土 (ba1, ba2) が分布する (表 -5.3.1 および図 -5.3.1 参照)。

表-5.3.1 左岸鞍部トレンチにおける地質層序

	地	質時	代	地質名称		地 質記号	岩相・層相	状 況					
		.		盛土2		B2	礫混じり粘性土	今回の掘削により生じた土砂の盛り立てである。					
未固結被覆層				四	四	9 新	盛土1		B1	既往調査の立坑掘削およびグラウチ 時に生じた土砂の盛り立てで、モル クリート片を混入する。			
層	新生			表土		dt	礫混じり粘性土	旧表土である。上位のB1やB2の盛り立て時に乱 されている。					
基盤地質	代	新第三紀	中新世後期	虚空蔵山 火山岩類	不動山安山岩	Vb	火山角礫岩	粘性土状に風化した強風化部(D岩級)と岩組織を残した中風化部(QLL岩級)および風化残留礫部(CLH岩級)よりなる。					

基盤地質の火山角礫岩 (Vb) に混入する礫は、直径数 cm~数 m 大まで認められるが、直径数 10cm 大~数 m 大の礫が集積しており、基質部に占める割合は少ない(写真-5.3.1 および写真-5.3.2 参照)。



写真-5.3.1 トレンチ内全景



礫の含有率が高く、基質の占める割合が少ない。

写真-5.3.2 火山角礫岩の状況

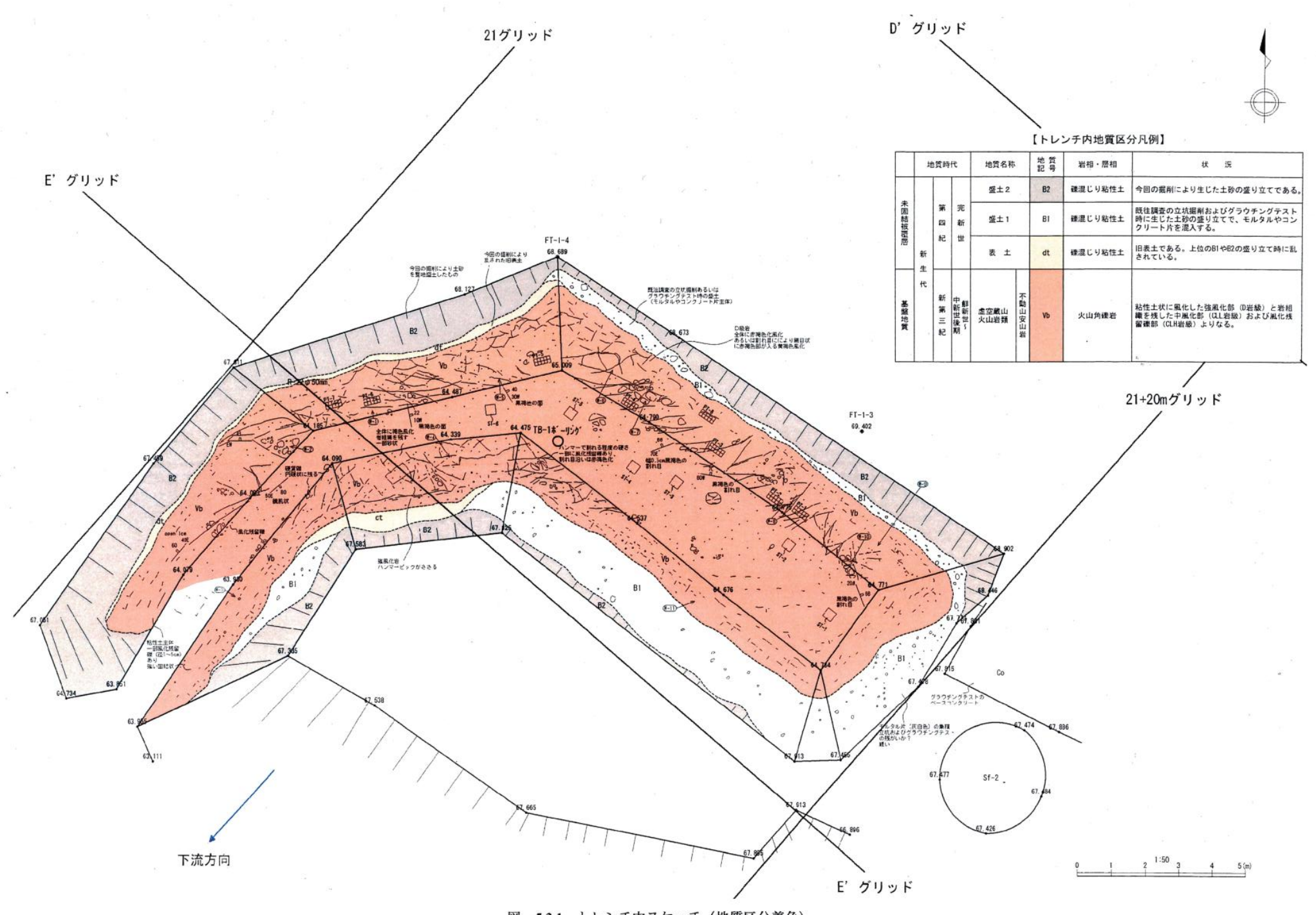


図-5.3.1 トレンチ内スケッチ (地質区分着色)

(2) 岩盤性状

トレンチ内の岩盤状況(岩級区分)は図-5.3.2 に示すとおりであり、トレンチ側面の大半には赤褐色粘性土よりなる D 級岩盤が分布する。また、トレンチ側面の下部ならびに踏前(底盤)には黄褐色(一部赤褐色)の CLL 級岩盤の上部が露出している(写真-5.3.3 および写真-5.3.4 参照)。

CLL 級岩盤のうち、規模の大きい含有礫の内部には、風化の影響が小さい岩塊部が残留しており、局所的には CLH 級相当に評価される。



D級:軟質な粘性土でハンマーが突き刺さる。



CLL 級:強風化岩塊と基質部が視認でき、D 級岩盤より明らかに硬い。

写真-5.3.3 トレンチ内の岩盤状況

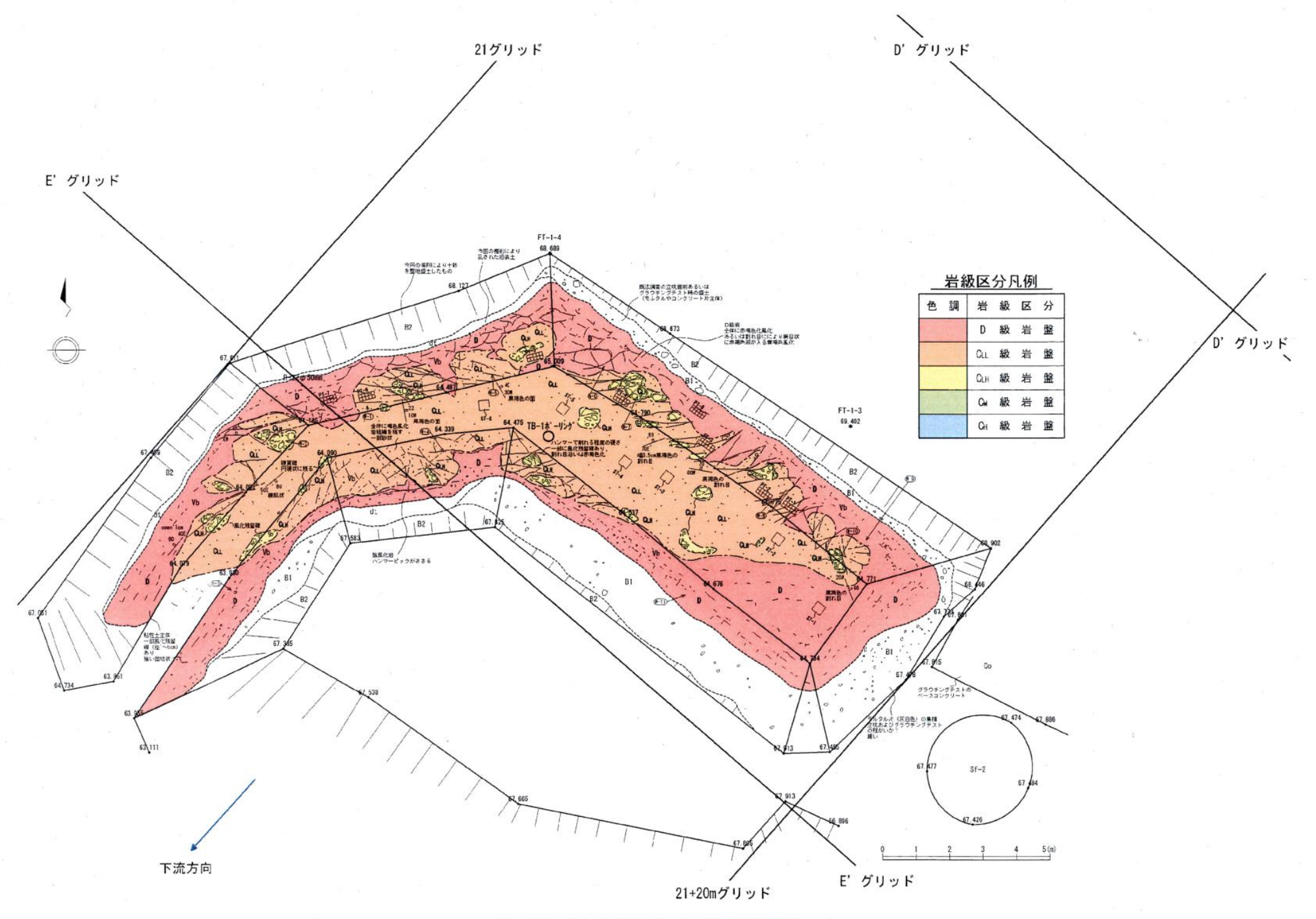
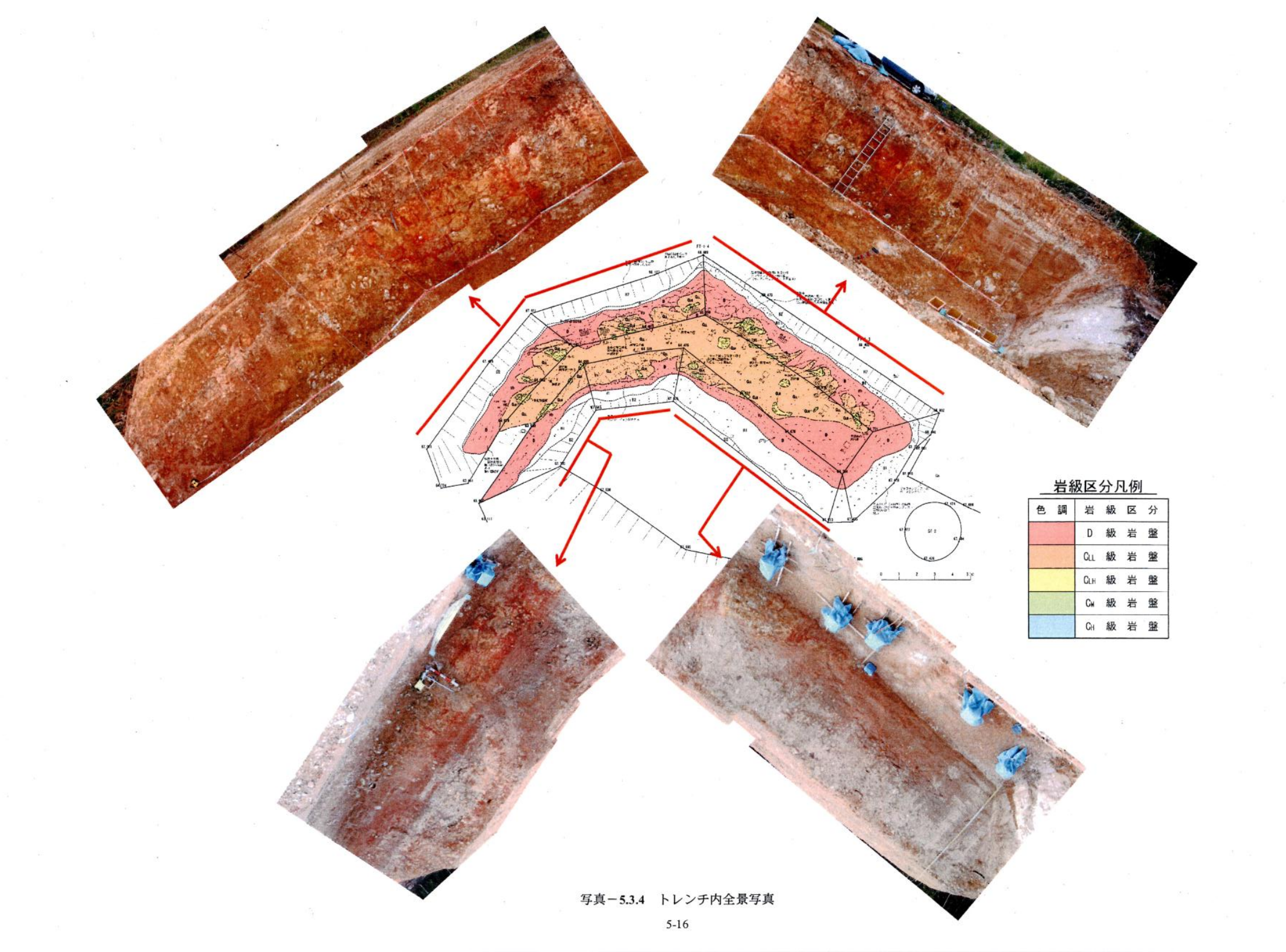


図-5.3.2 トレンチ内スケッチ (岩級区分着色)



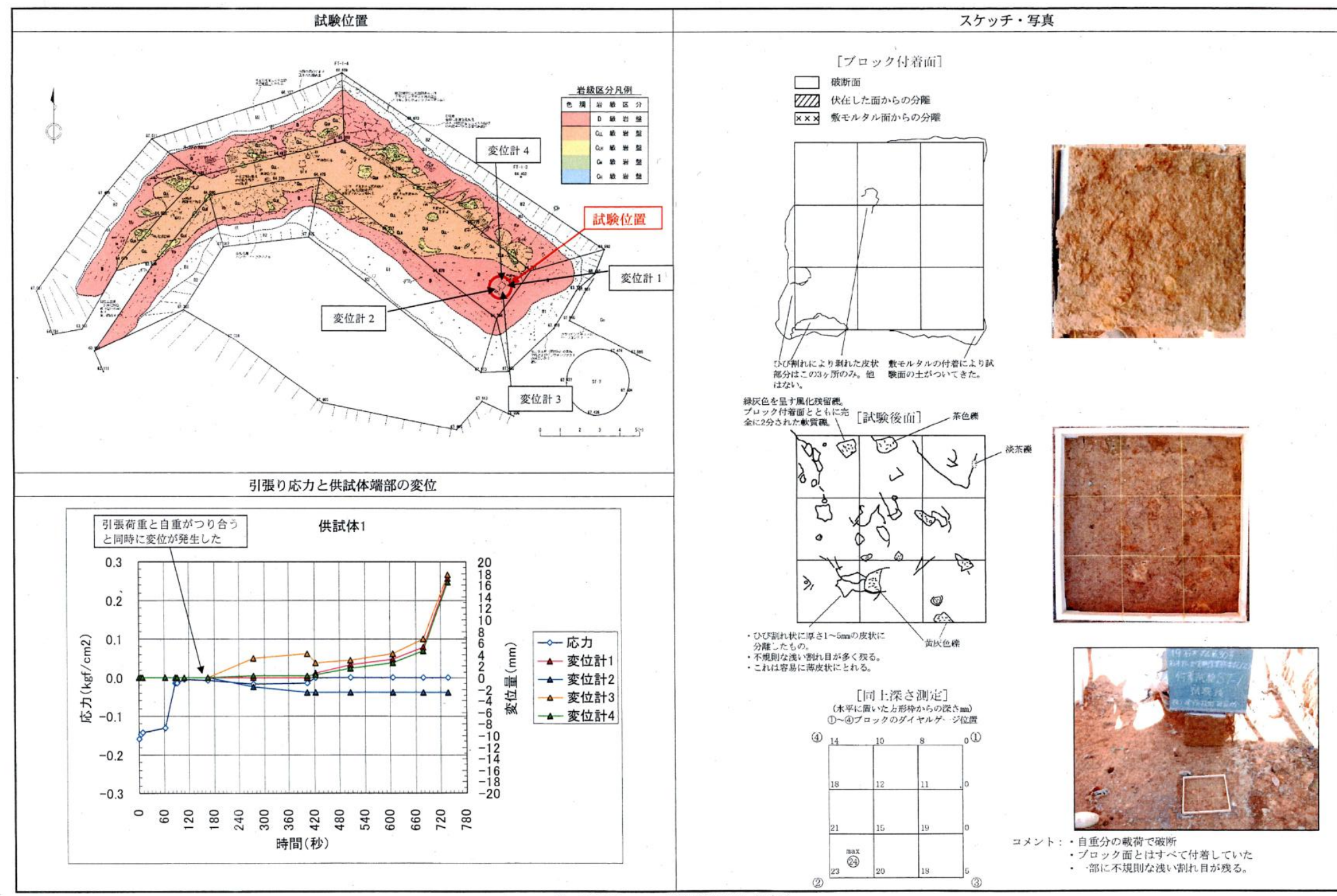
5.3.2 コンクリート付着試験

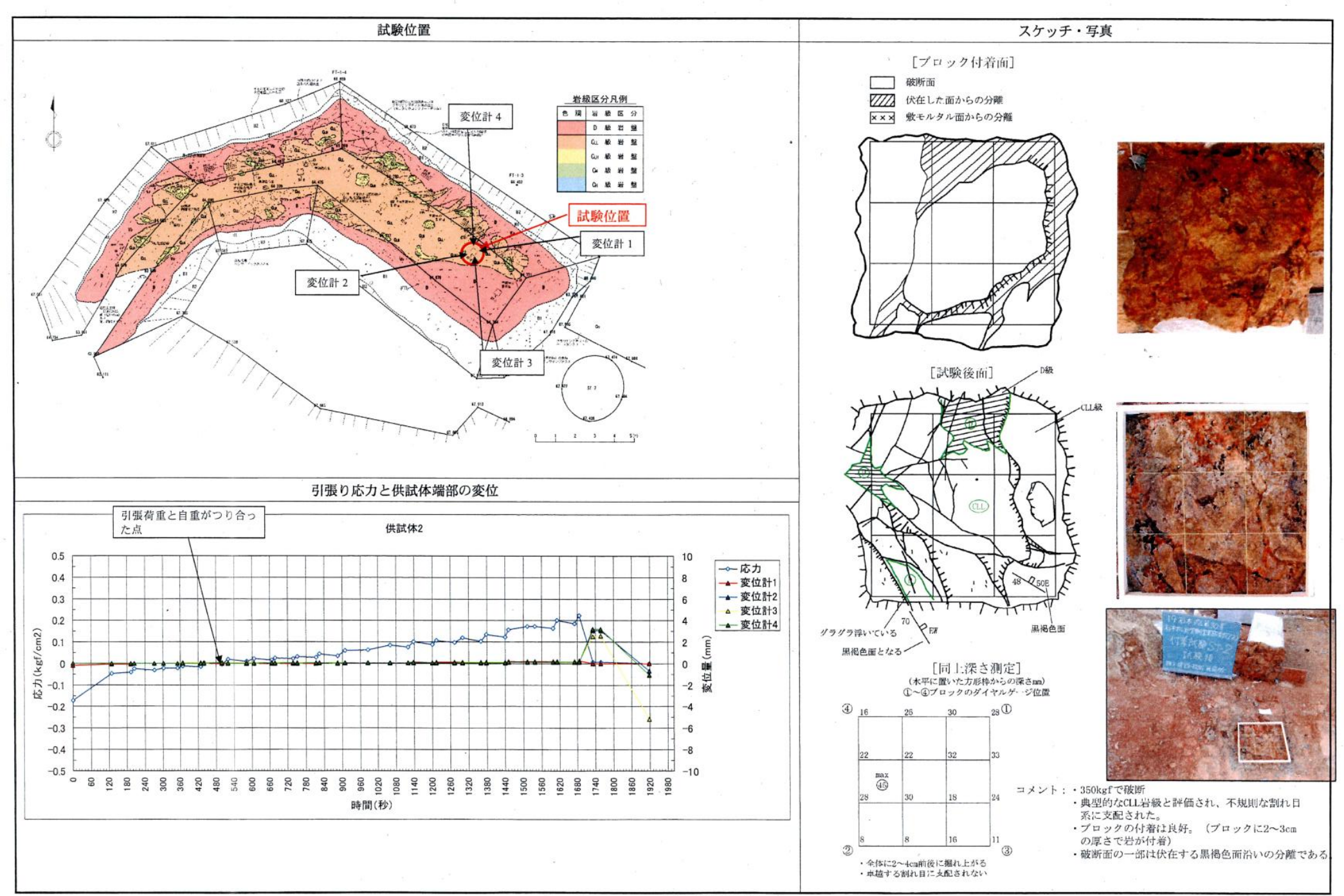
コンクリート打設箇所は6カ所であり、このうち5カ所の打設面(ST-2 \sim ST-6)が CLL 級に評価され、1カ所の打設面(ST-1)が D 級に評価される。

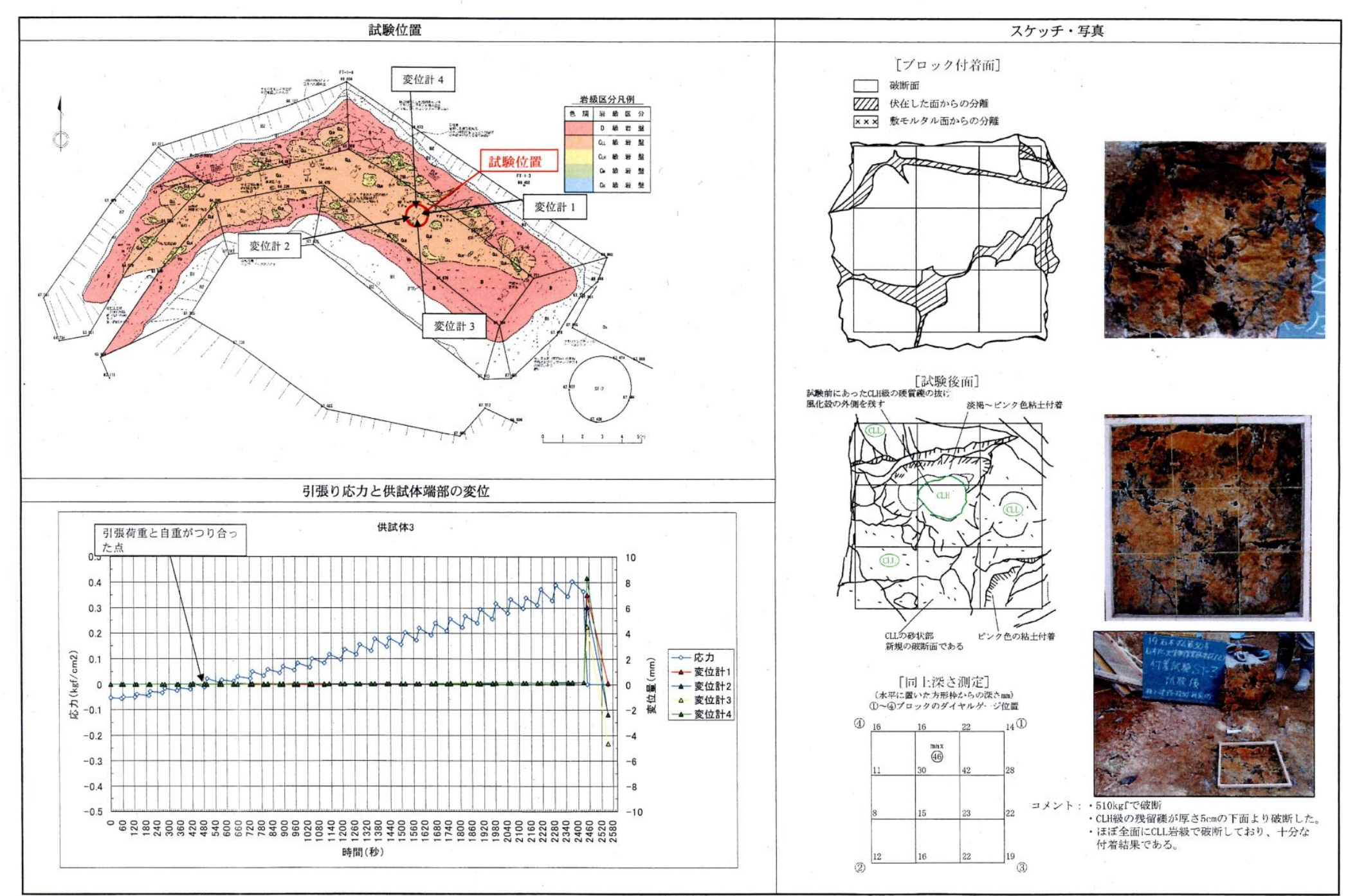
試験結果は、図-5.3.3(1)~図-5.3.3(6)に示すとおりであり、CLL 級岩盤に評価される ST-2~ST-6 の 5 ブロックでは自重分以上の荷重において地盤内で破断が発生し、コンクリート面には岩盤の付着が認められた。一方、D 級岩盤に評価される ST-1 ブロックでは、コンクリートブロック自重分以上の荷重を与えることはできず、D 級岩盤の付着は殆ど認められなかった(写真-5.3.5参照)。

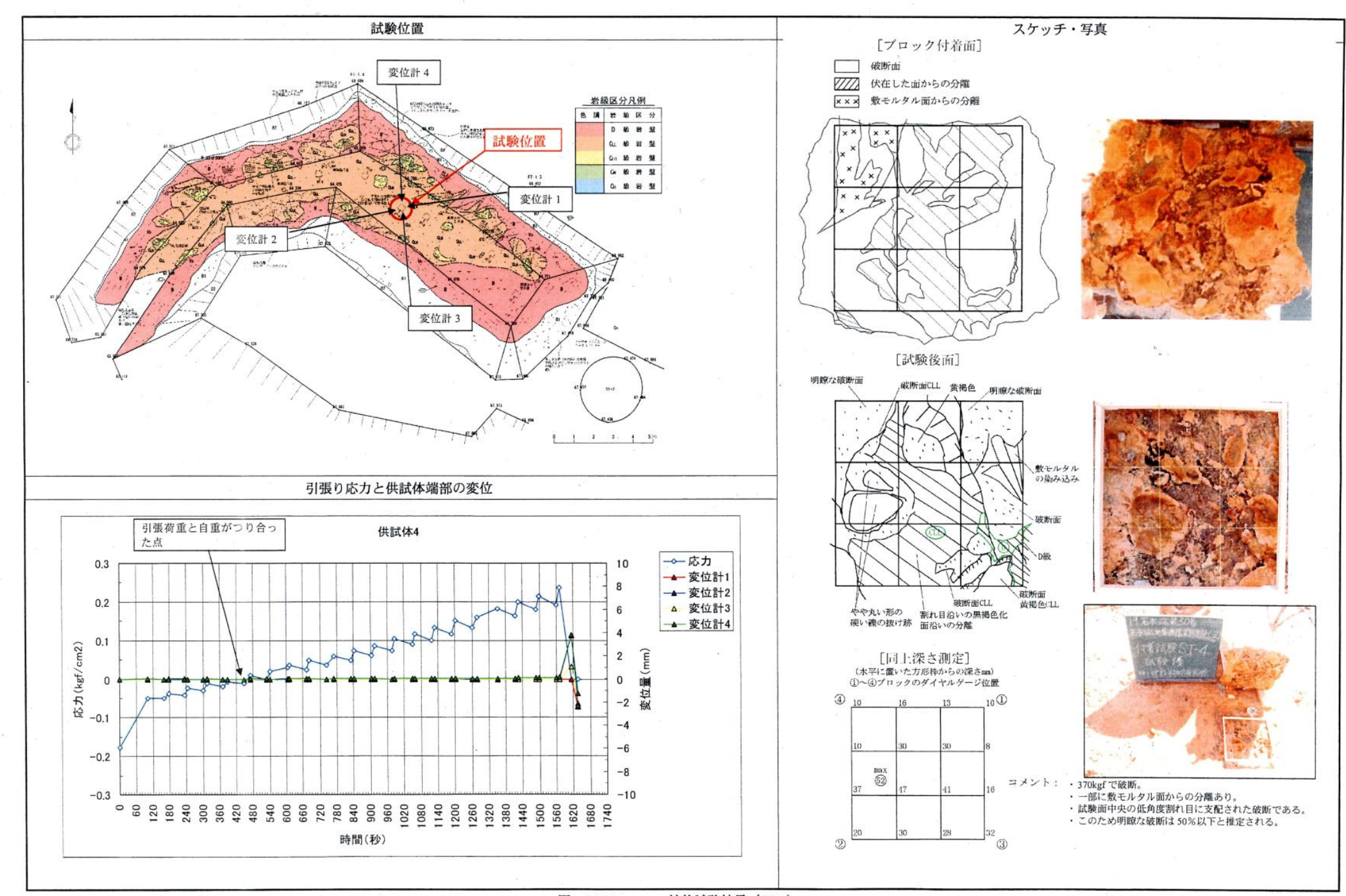


写真-5.3.5 コンクリートブロックの地盤の付着状況









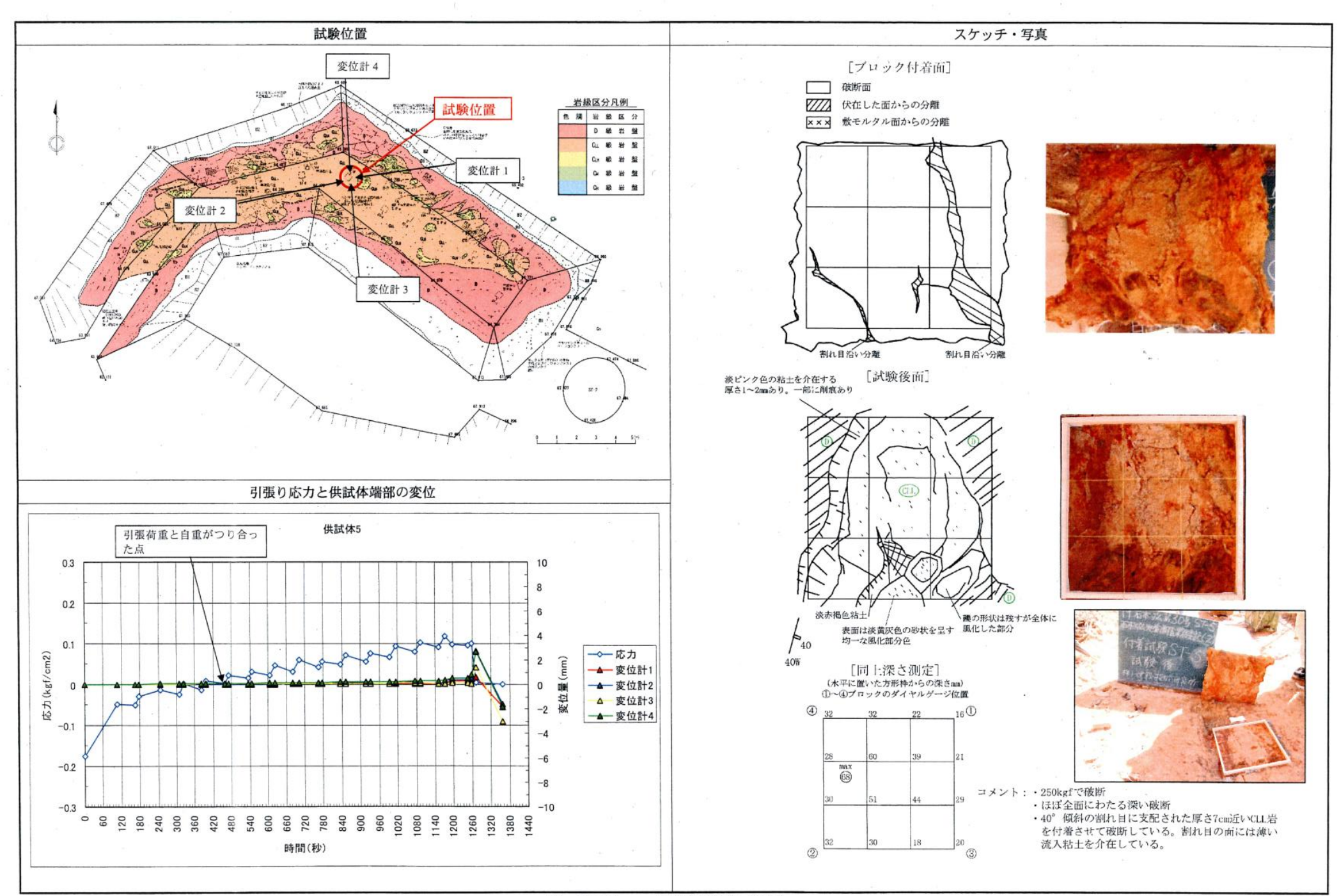


図-5.3.3(5) 付着試験結果 (ST-5)

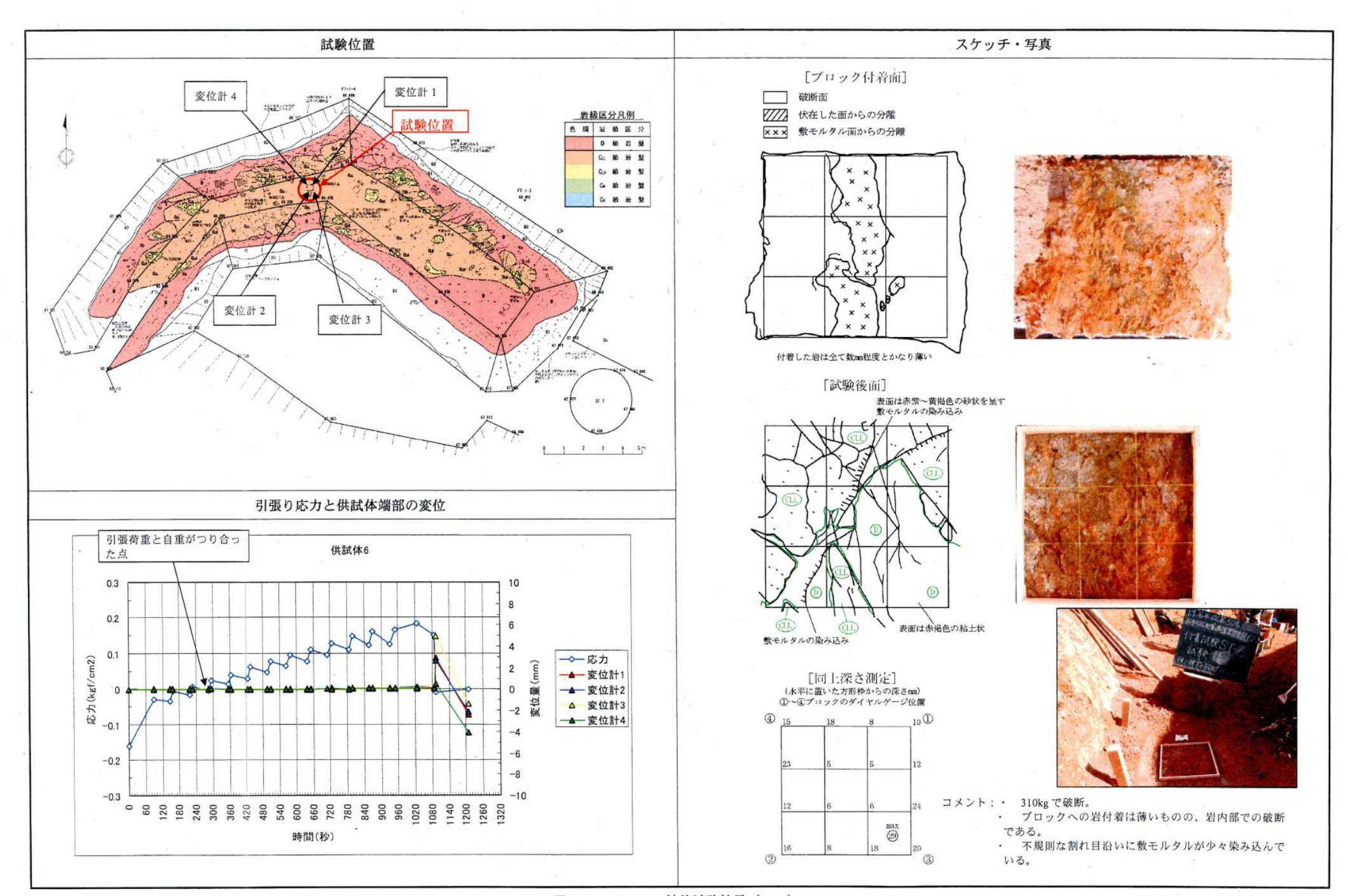


図-5.3.3(6) 付着試験結果 (ST-6)

5.3.3 原位置簡易試験

針及びピック貫入試験の結果は図-5.3.4(1)~図-5.3.4(8)および表-5.3.2 に示すとおりであり、赤褐色ないしは暗灰色の粘性土部では低強度を示し、風化残留礫部では比較的高強度を示す傾向が認められる。

なお、表-5.3.2 に示した試験面 PT-1 と試験面 PT-3 は、D級岩盤ゾーン直近での CLL 級岩盤であり、試験面範囲内では D級相当の赤褐色粘土の分布が主体をなしているため、試験結果は D級評価としている。

	トレンチス		釒	计貫入勾配N	Р	ピック貫入勾配NP						
試験箇所	ケッチによ る岩級区	試験面の 岩級評価	最低値	最高値	平均値	最低值	最高値	平均值				
	分ゾーン		(N/mm)	(N/mm)	(N/mm)	(N/mm)	(N/mm)	(N/mm)				
PT-1	CLL	D	0.0	3.0	0.94	1.0	4.5	1.96				
PT-2	CLL	CLL	0.0	5.5	1.53	0.5	7.0	2.98				
PT-3	CLL	D	0.0	4.0	0.84	1.0	4.5	1.88				
PT-4	CLL	CLL	0.5	5.0	1.29	1.0	8.5	2.93				
PT-5	CLL	CLL	0.5	5.0	1.18	1.0	7.5	2.88				
PT-6	CLL	CLL	0.5	2.5	1.07	1.5	5.0	3.10				
PT-7	D	D	0.0	1.5	0.50	0.5	3.5	1.45				
PT-8	D	D	0.0	1.0	0.15	0.5	2.5	1.10				

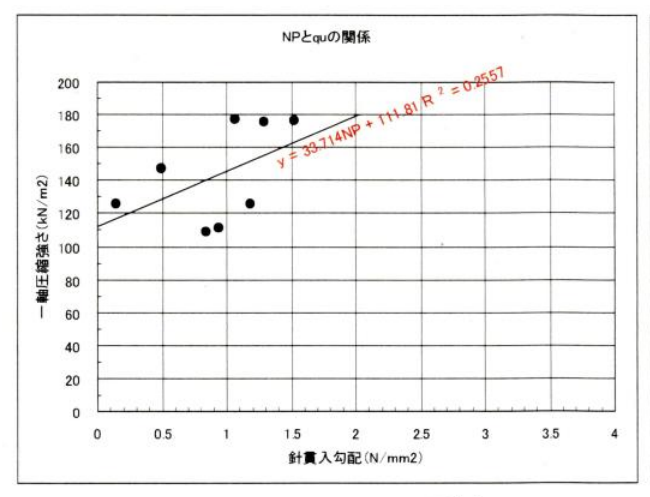
表-5.3.2 各試験面の針およびピック貫入勾配

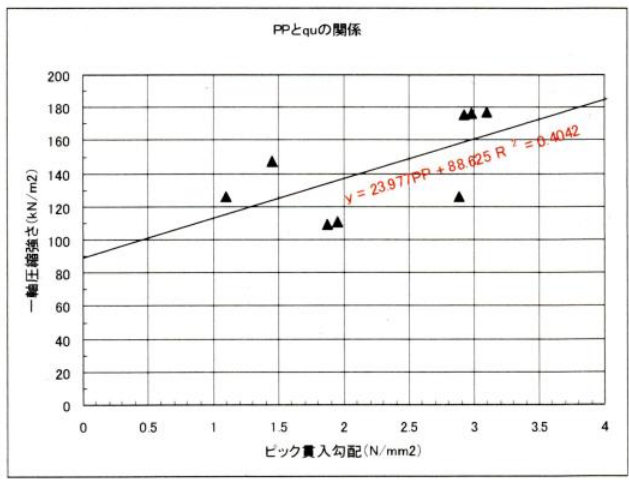
針およびピック貫入試験実施箇所では、ブロックサンプリングを行い、一軸圧縮強さを把握する目的の三軸圧縮試験(UU)を行っている(岩石試験結果の詳細は後述する)。

針およびピック貫入試験箇所 (PT-1~PT-8) の NP ならびに PP 平均値と一軸圧縮強さ 平均値との関係は、図-5.3.5 のように示され、以下のような相関式が得られる。但し、 NP および PP ともに一軸圧縮強さと相関においてばらつきが大きい結果となっている。

$$qu=33.714NP+111.81 (R^2=0.2557)$$

 $qu = 23.977PP + 88.625 (R^2 = 0.4042)$





(a) NP-qu 関係

(b) PP-qu 関係

図-5.3.5 針貫入勾配 NP およびピック貫入勾配 PP と一軸圧縮強さ qu の関係

針貫入勾配 NP は、「土木学会岩盤力学委員会編集:軟岩の調査・試験の指針(案)-1991 年版-,第1版・第4刷,1992.12」で解説されており、鍋立山トンネル(新潟県)の泥質岩に対する多数の試験結果に基づく一軸圧縮強さとの対応を以下のように示している。

 $\log(qu) = 1.602 * \log(NP) + 2.017 \ (\gamma = 0.91)$

上記換算式で今回の試験面の換算一軸圧縮強さを求めると、表-5.3.3 に示す結果が得られる。

表-5.3.3 針貫入試験結果に基づく換算一軸圧縮強さ

		最低値(試験面全体)				最高値	(試験面全	体)	平均値(試験面全体)		
試験箇所	トレンチス ケッチによ る岩級区 分ゾーン	試験面の 岩級評価	針貫入勾配 NP (N/mm)	換算一軸日		針貫入勾配 NP (N/mm)	換算一軸压	E縮強さqu [※]	針貫入勾配 NP (N/mm)	換算一軸日	E縮強さqu [※]
	117-2		NP=A/10	(kN/m ²)	平均	NP=A/10	(kN/m^2)	平均	NP=A/10	(kN/m ²)	平均
PT-1	CLL	D	0	=	D級平均	3	1,511.3	D級平均	0.94	234.7	D級平均
PT-2	CLL	CLL	0	-		5.5	3,990.8	1,166.3	1.53	512.9	132.5
PT-3	CLL		0	_	=	4	2,396.1		0.84	198.1	
PT-4	CLL	CLL	0.5	85.7		5	3,425.7		1.29	389.8	
PT-5	CLL	CLL	0.5	85.7	CLL級平均	5	3,425.7	CLL級平均	1.18	339.5	CLL級平均
PT-6	CLL	CLL	0.5	85.7		2.5	1,128.5		1.07	287.9	
PT-7	D		0	-	85.7	1.5	497.8	2,992.7	0.50	84.8	382.5
PT-8	D		0	-		1	260.0		0.15	12.4	

^{※ 「}土木学会岩盤力学委員会編集: 軟岩の調査・試験の指針(案)-1991年版-, 第1版・第4刷, 1992.12』による鍋立山トンネルの泥質岩における針貫入勾配-一軸圧縮強さ関係に基づくlog(qu)=1.602×log(NP)+2.017より算出。

針貫入勾配 NP とピック貫入勾配との関係には D 級岩盤と CLL 級岩盤で以下のような関係が認められる(図-5.3.6 参照)。

D級岩盤

 $PP = 0.973NP + 0.9616 (R^2 = 0.8977)$

CLL 級岩盤 :

:

 $PP = 1.3331NP + 1.0969 (R^2 = 0.439)$

また、針貫入勾配 NP とピック貫入勾配 PP は実測値の幅が広いものの、平均値では D 級岩盤と CLL 級岩盤で比較的明瞭な強度差が認められ、NP では概ね 0.7N/mm 以上が CLL 級岩盤で、PP では概ね 1.7N/mm 以上が CLL 級岩盤となる傾向を示す。

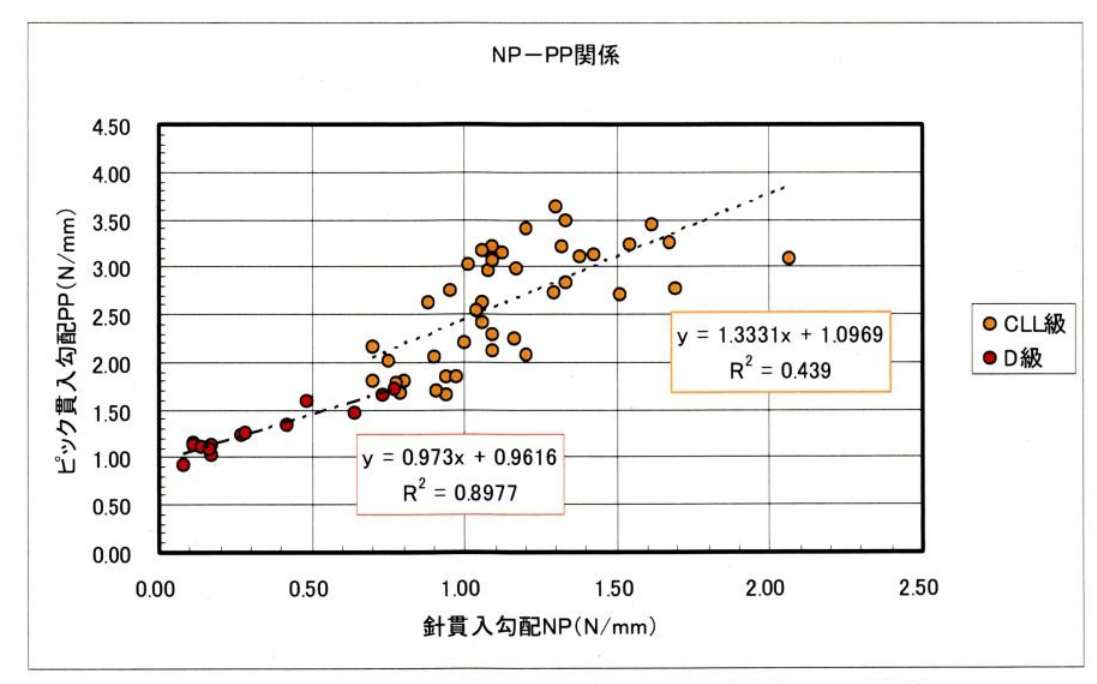
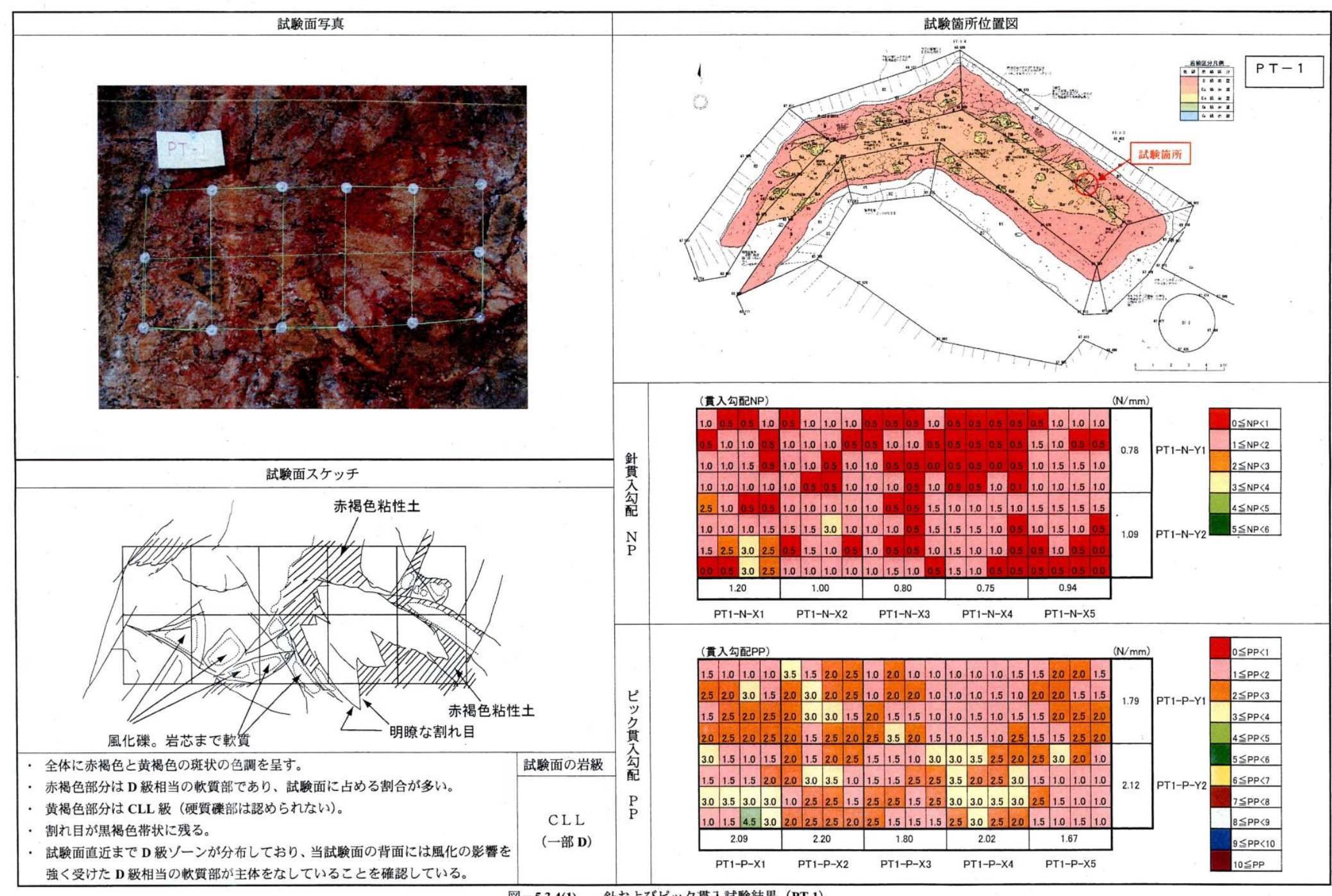


図-5.3.6 針貫入勾配 NP とピック貫入勾配 PP の関係

※ NP と PP の対応は、各試験面における幅 10cm の領域の平均値としている(各試験面で 7 個のデータが分布)



針およびピック貫入試験結果 (PT-1) 図-5.3.4(1)

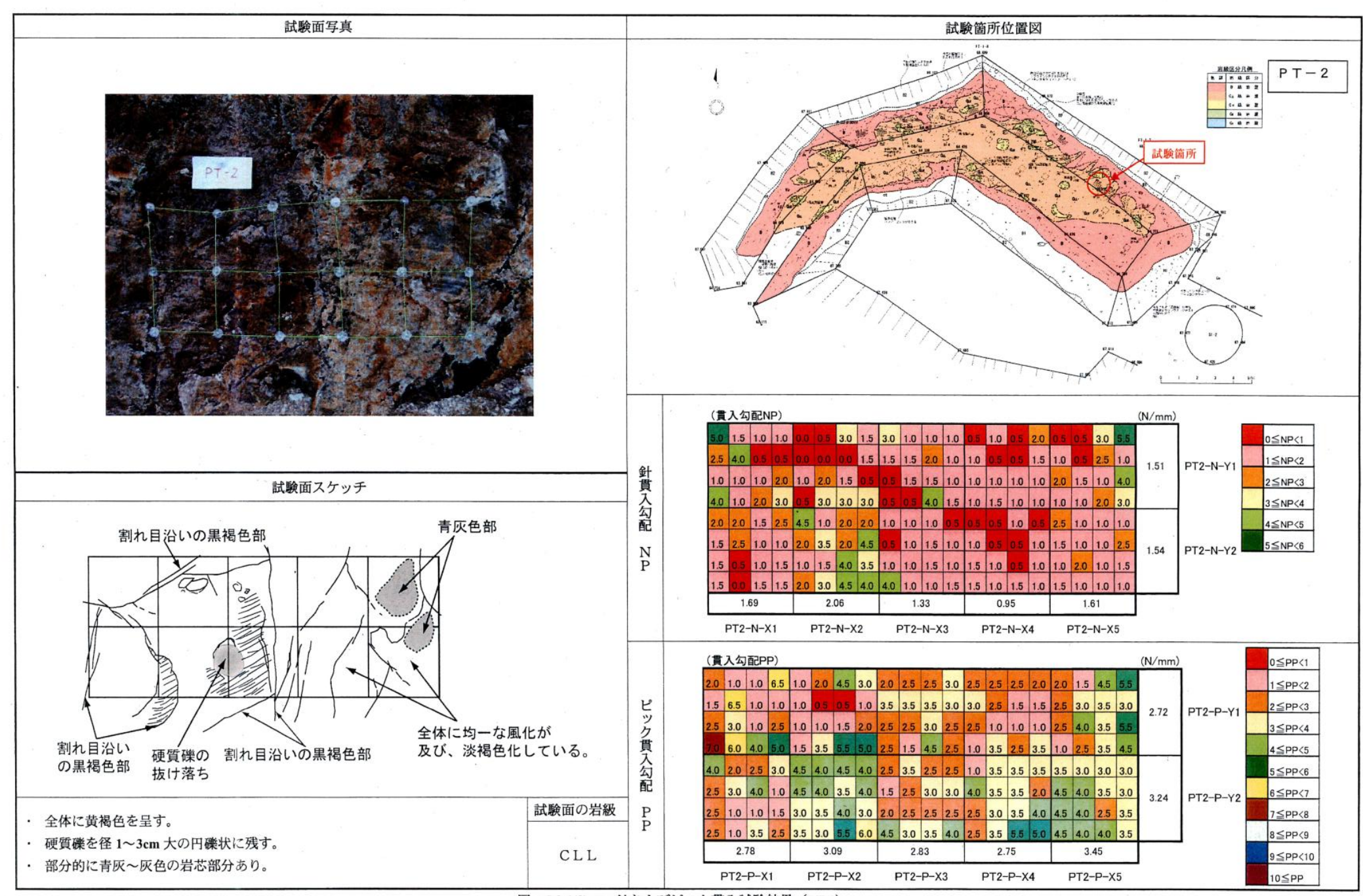


図-5.3.4(2) 針およびピック貫入試験結果 (PT-2)

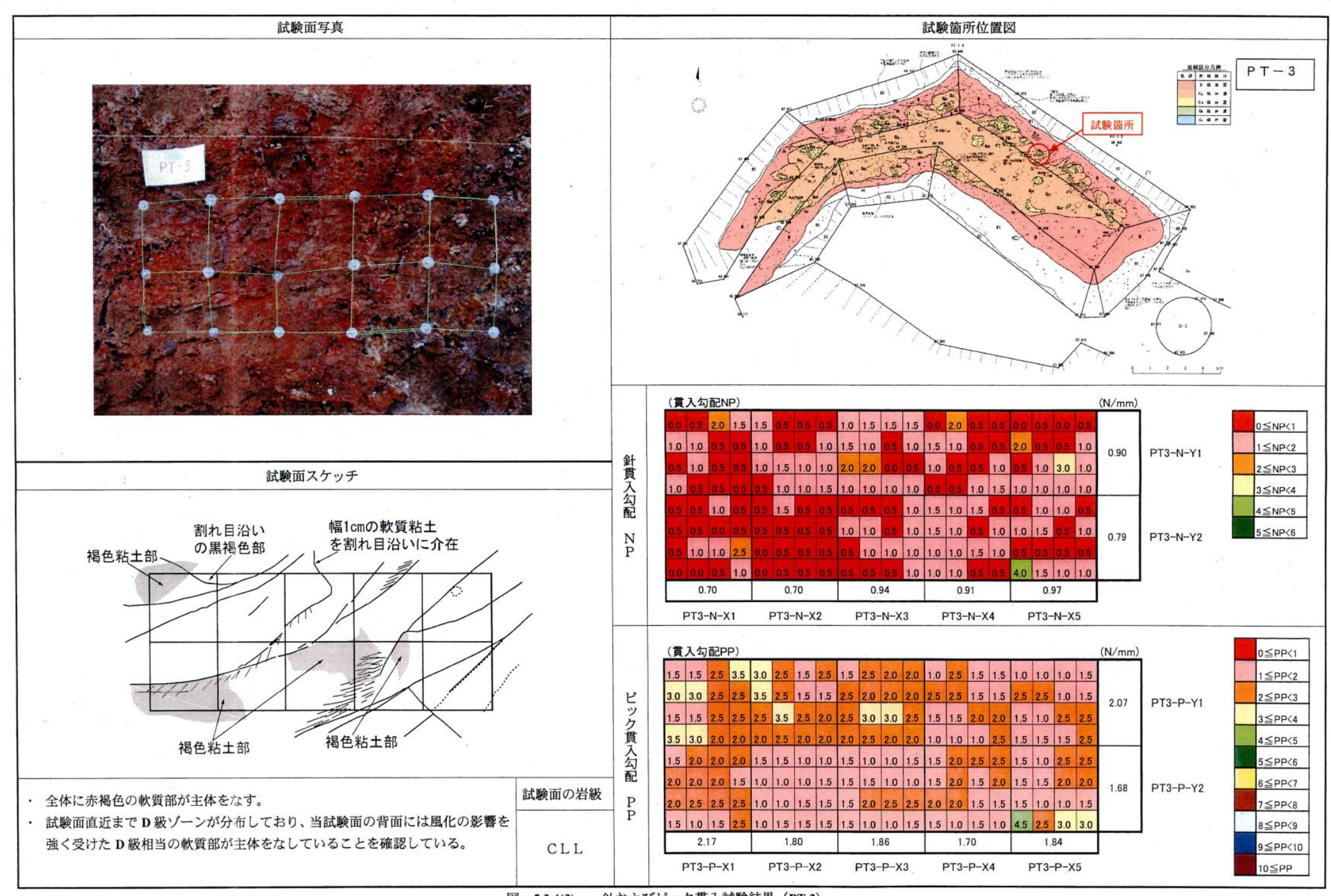


図-5.3.4(3) 針およびピック貫入試験結果 (PT-3)

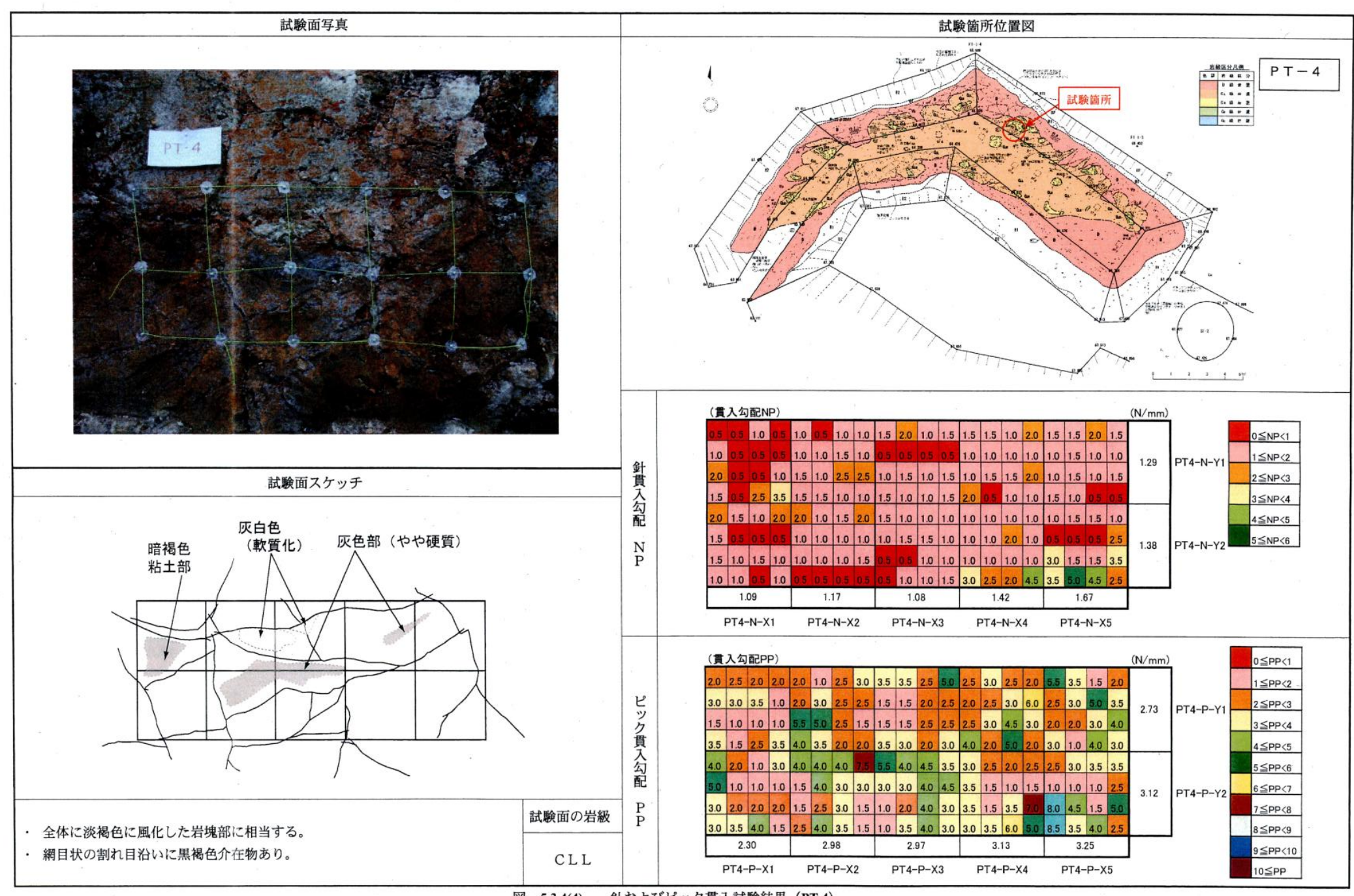


図-5.3.4(4) 針およびピック貫入試験結果 (PT-4)

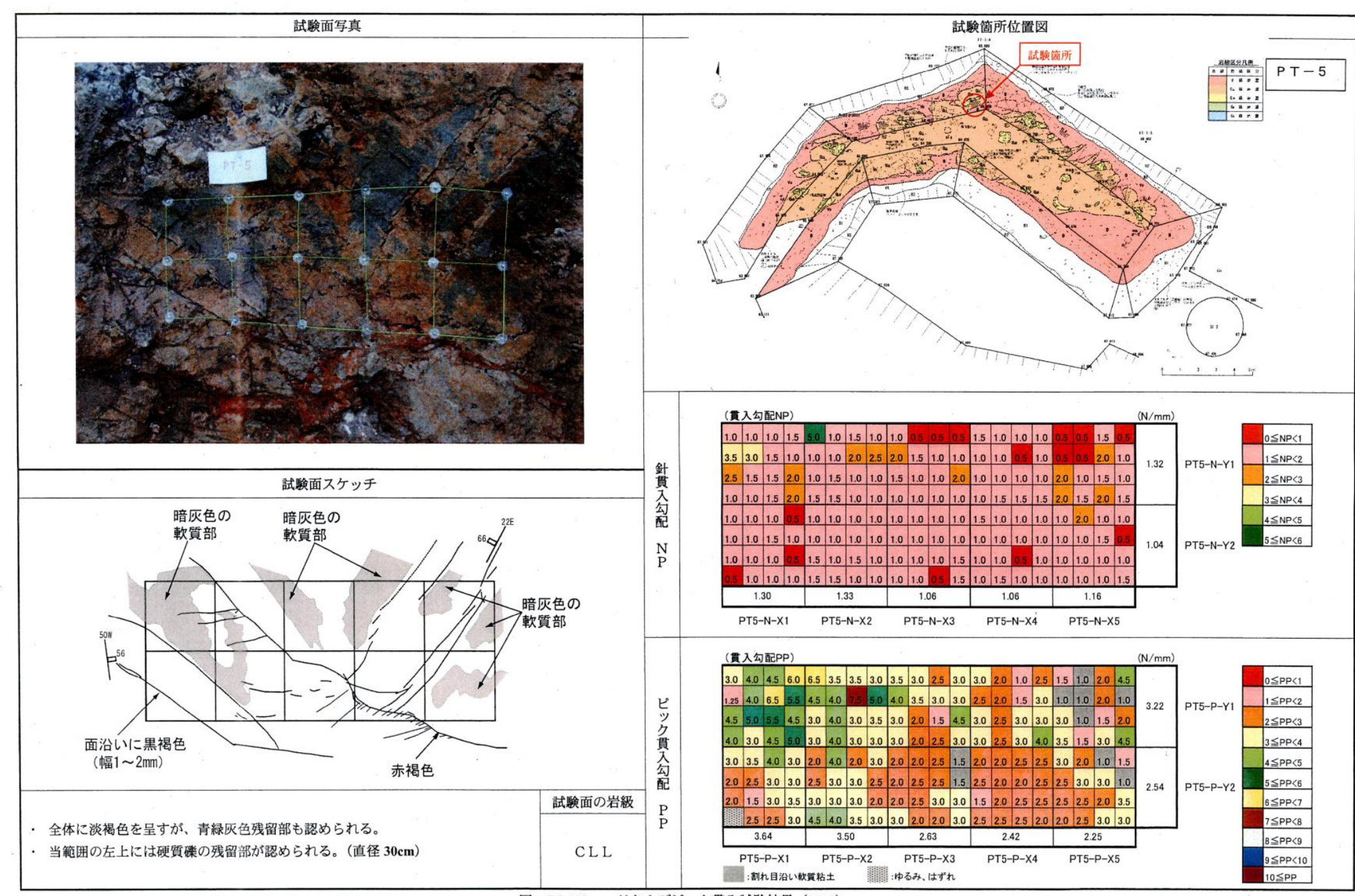


図-5.3.4(5) 針およびピック貫入試験結果 (PT-5)

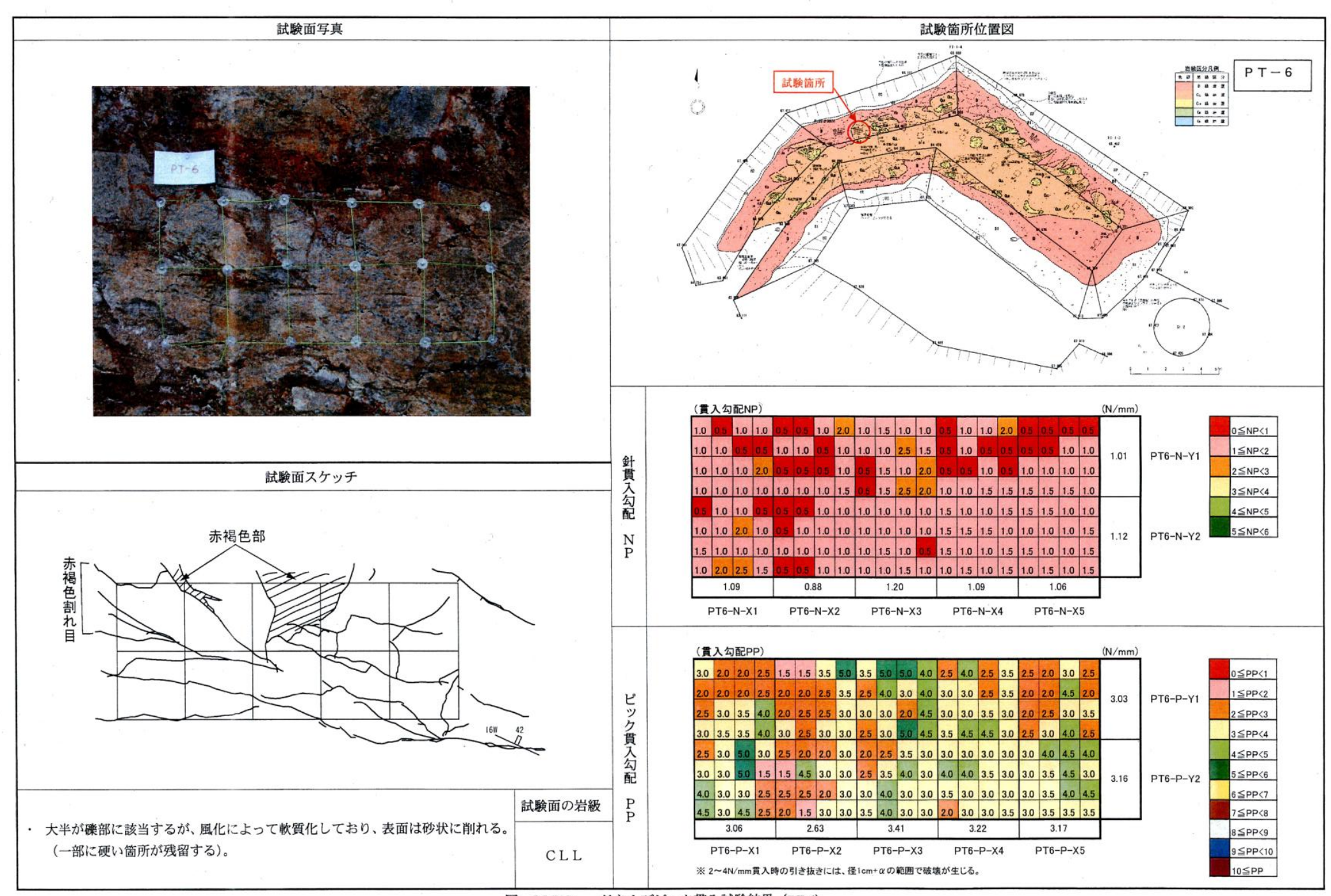


図-5.3.4(6) 針およびピック貫入試験結果 (PT-6)

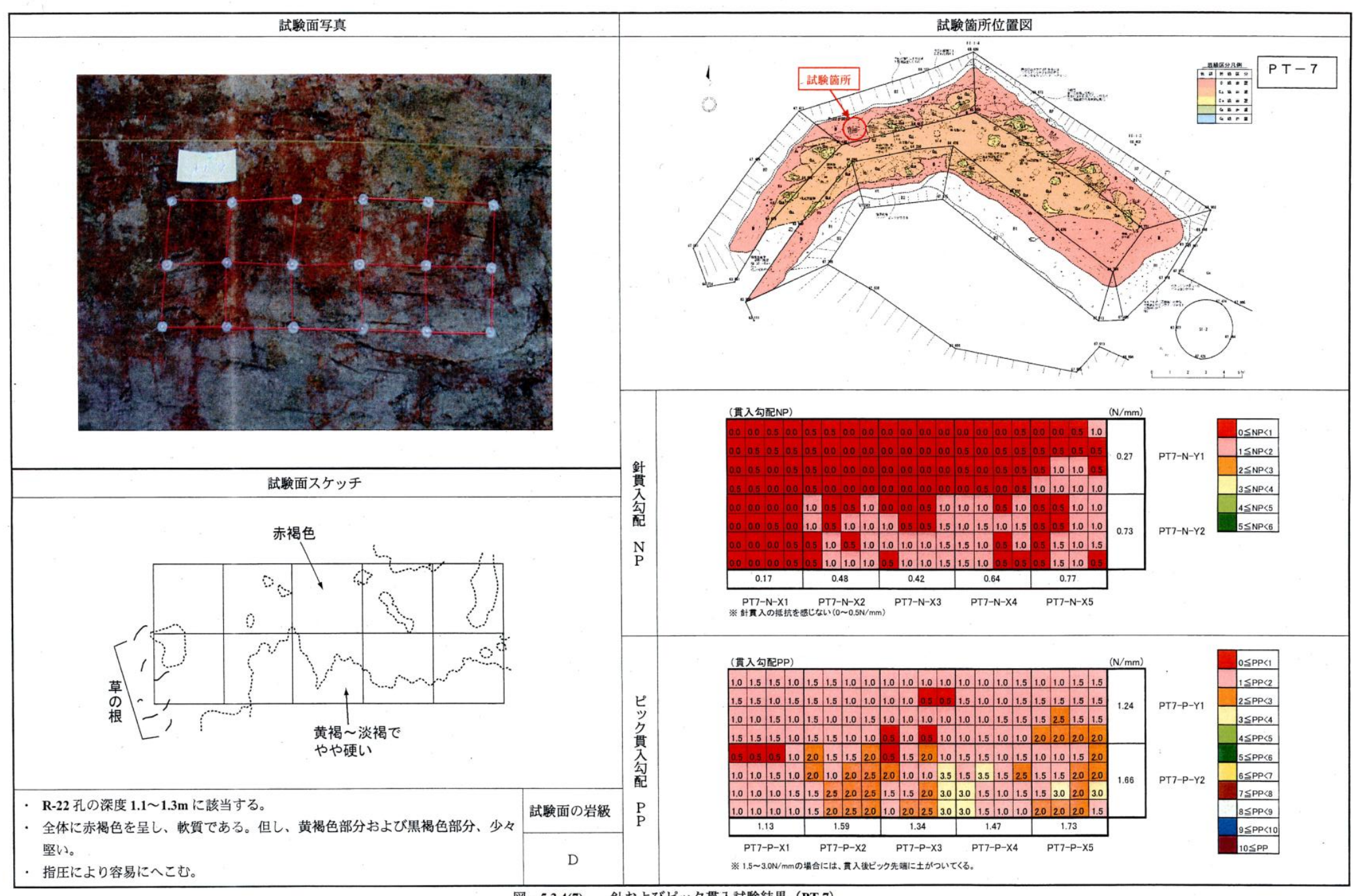


図-5.3.4(7) 針およびピック貫入試験結果 (PT-7)

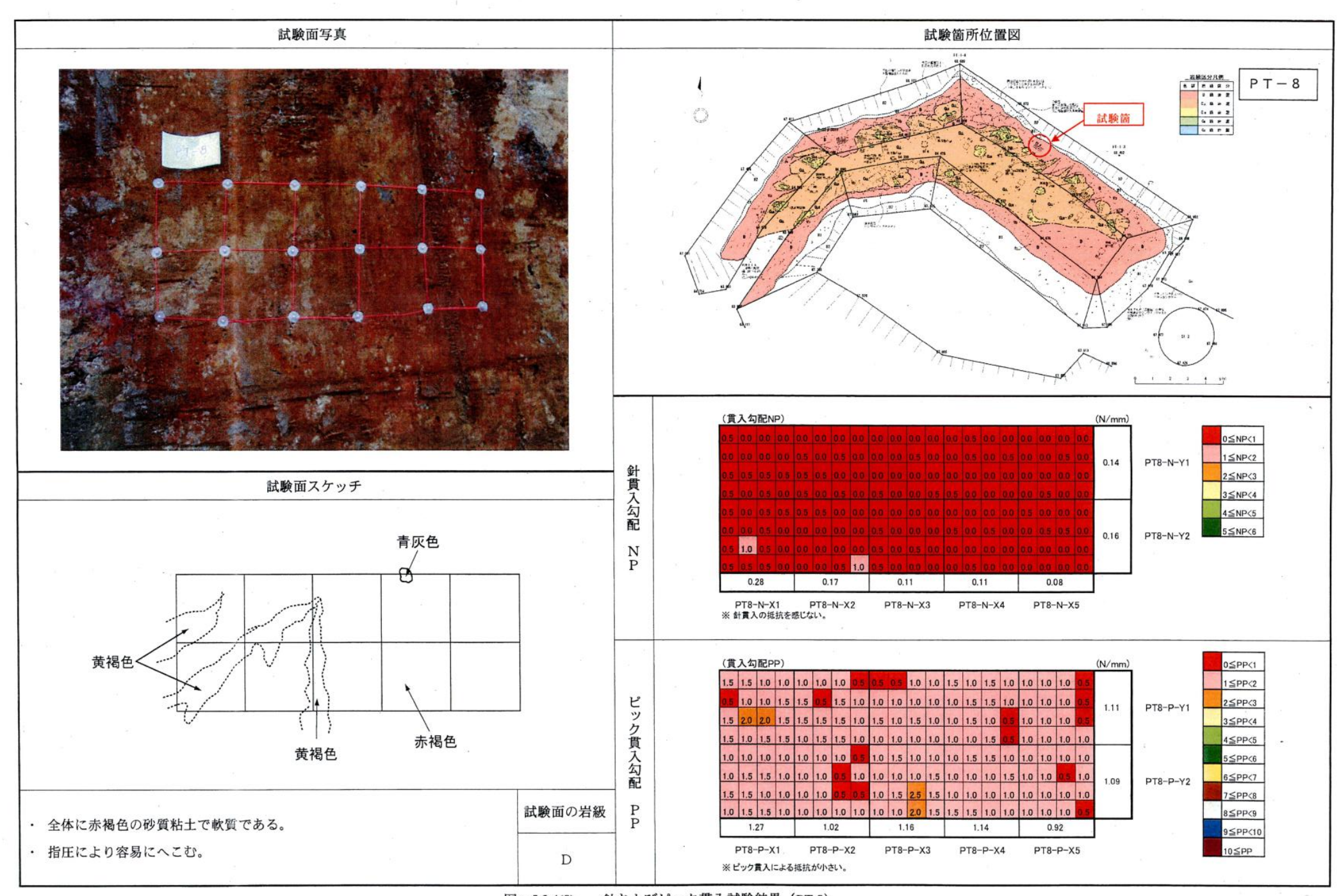


図-5.3.4(8) 針およびピック貫入試験結果 (PT-8)

5.3.4 大孔径ボーリング

左岸鞍部トレンチ内から実施した大孔径ボーリング TB-1 孔では、トレンチ底盤から深度 2.8m まで CLL 級岩盤が分布し、深度 2.8m 以深で CLH 級岩盤が分布することが把握された(写真-5.3.6 参照)。

TB-1 孔の調査結果に基づくトレンチ付近の岩級区分図は図-5.3.7 に示すとおりである。

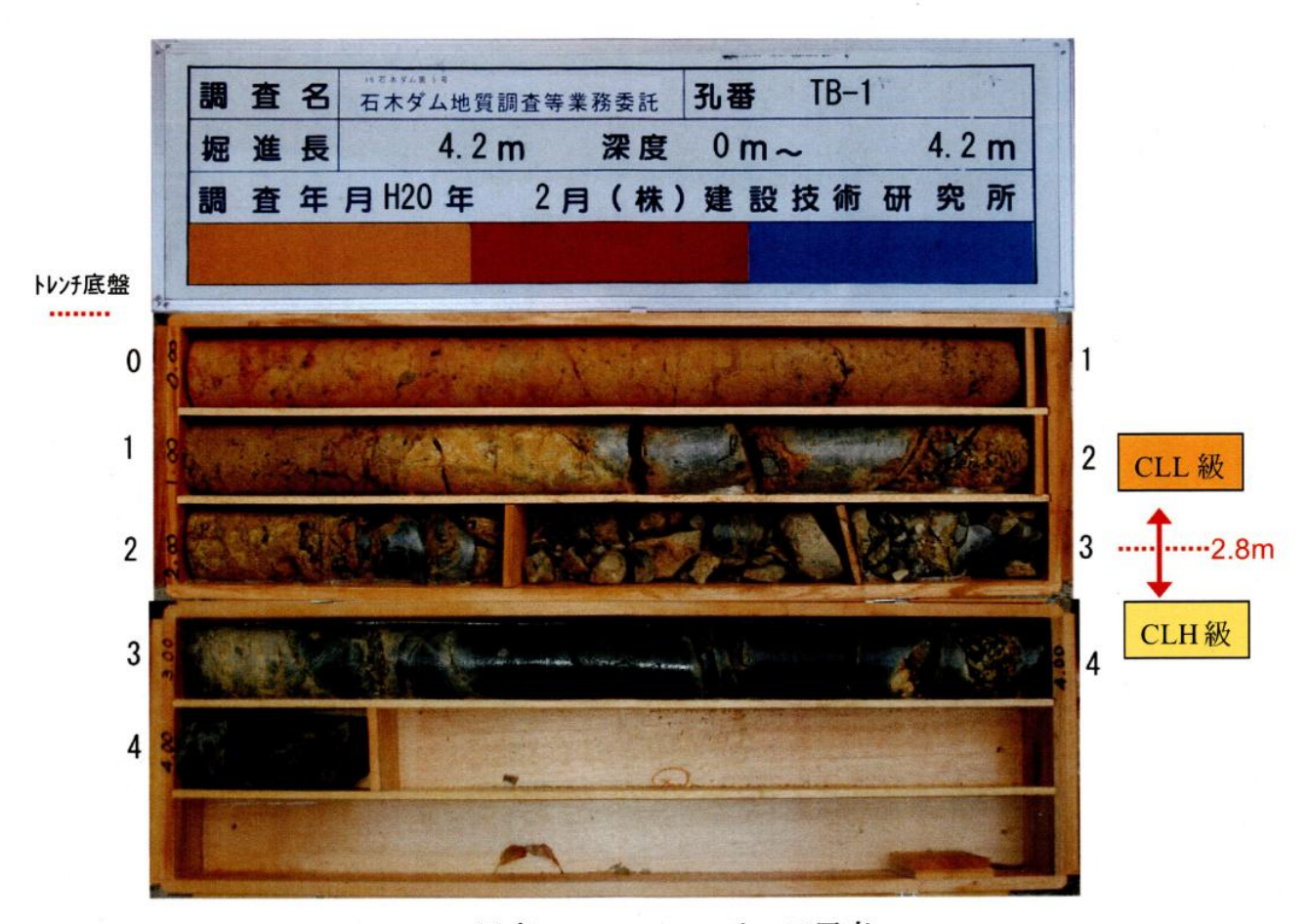
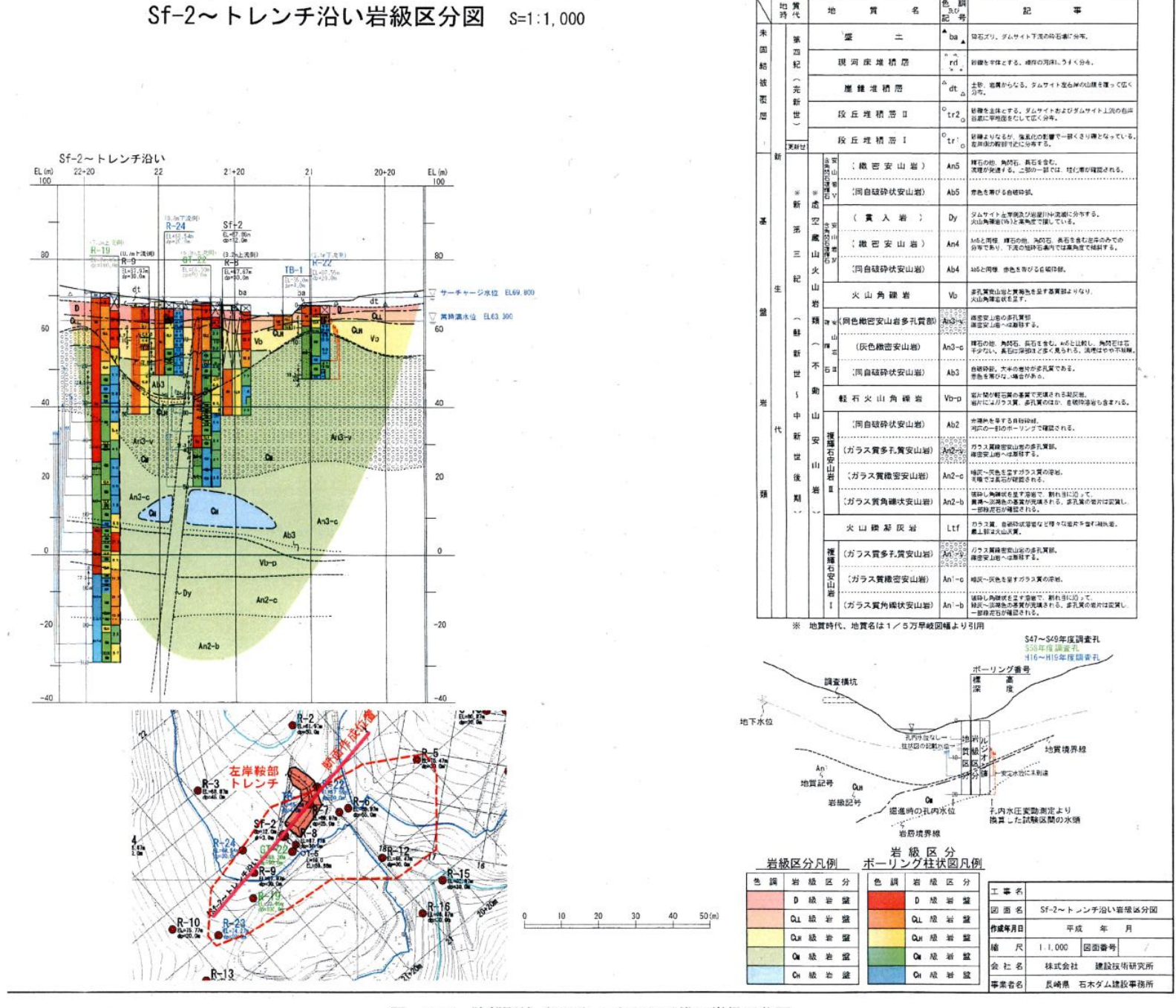


写真-5.3.6 TB-1 孔コア写真



凡

質

図-5.3.7 鞍部竪坑 (SF-2) ~トレンチ沿い岩級区分図

5.3.5 室内岩石試験

室内岩石試験用の乱さない試料の採取箇所は、図-5.3.8に示すとおりである。

試験結果は表-5.3.4 に一覧として示すとおりであり、湿潤密度-含水比関係、湿潤密度-吸水率関係、湿潤密度-一軸圧縮強さ関係を図-5.3.9 に示した。また、図-5.3.9 の湿潤密度-一軸圧縮強さ関係においては、供試体整形段階において供試体の一部が欠落したものや変形したもののデータは棄却している(写真-5.3.7~写真-5.3.9 参照、湿潤密度-一軸圧縮強さ関係グラフにおける供試体番号は図-5.3.10 参照)。

岩石試験結果からは以下の傾向が把握できる。

- (1) 湿潤密度 含水比の関係では、密度が大きくなるほど含水比が小さくなる傾向が明瞭に認められる。
- (2) このうち、D級岩盤は湿潤密度 1.3~1.7g/cm³、含水比 50~80%付近の狭い範囲 に集中的に分布する傾向が強い。また、CLL 級岩盤は D級岩盤の分布域と重複し ながら高密度・低含水比の領域にまで分布域を広げる。
- (3) 湿潤密度-吸水率関係では、上述した湿潤密度-含水比関係と同様な傾向を示すが、試験値がより直線的にプロットされる。
- (4) 湿潤密度 一軸圧縮強さ関係では、D 級岩盤と CLL 級岩盤のデータ分布域に明瞭な違いが認められ、同じ湿潤密度においても CLL 級岩盤の強度が D 級岩盤よりも大きい傾向が認められる。
- (5) 一軸圧縮試験結果による湿潤密度 一軸圧縮強さ関係では、湿潤密度 ρ ti が概ね 1.4g/cm³以下の領域において D 級岩盤と CLL 級岩盤の一軸圧縮強さ qu が重複する。しかし、 ρ ti=1.4g/cm³付近から高密度になるほど D 級岩盤と CLL 級岩盤の qu の開きが大きくなる傾向を示す。
- (6) 供試体周辺を拘束して圧縮した三軸 UU 試験では、上記一軸圧縮試験で認められたような低強度データは認められず、概ね 100kN/m³以上の領域において D 級岩盤と CLL 級岩盤に明瞭な違いが認められる。
- (7) 三軸 UU 試験では、D 級岩盤が ρ ti の値に関わらず qu が $100\sim130$ kN/m³ を示すのに対して、CLL 級岩盤では密度が大きくなるほど一軸圧縮強さも大きくなる傾向が顕著である。なお、トレンチ底盤から深度 $2.7\sim3.5$ m で採取した CLL 級岩盤試料 (TB1-7) のみ、489.6kN/m² と突出した強度を示す。

以上述べたように、今回実施した岩石試験では、試験値のばらつきが比較的小さい上に、D級岩盤と CLL 級岩盤の試験値にも比較的明瞭な違いが認められた。しかし、一軸圧縮強さについては、前述した針貫入試験結果による換算一軸圧縮強さで D級平均値= $132.5 kN/m^3$ 、CLL 級平均値= $382.5 kN/m^3$ が得られており、CLL 級岩盤については三軸 UU 試験による qu 平均値= $144.9 kN/m^2$ (TB1-7 を除く)に比べて約 2.6 倍の違いがあることが課題として残る。

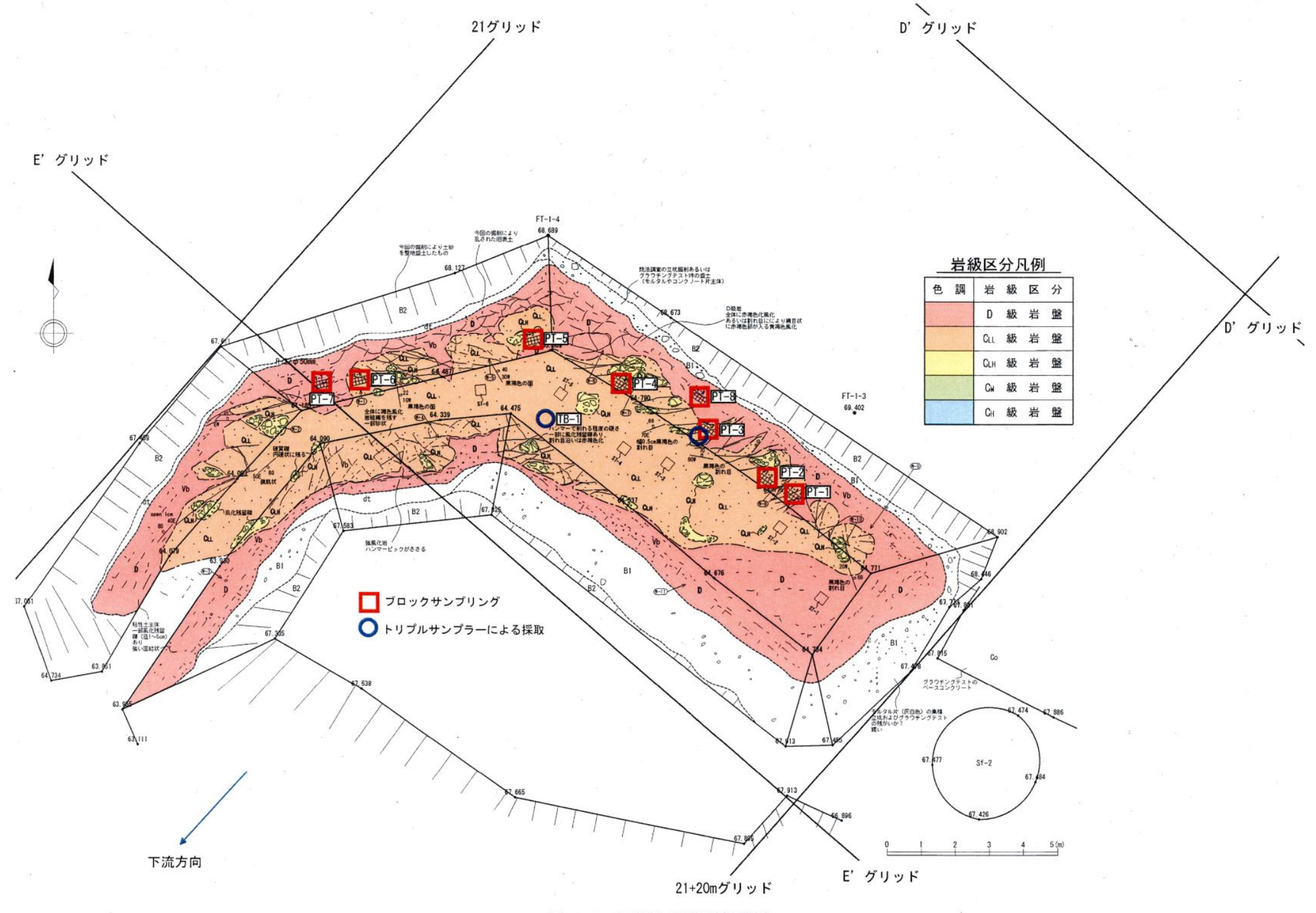
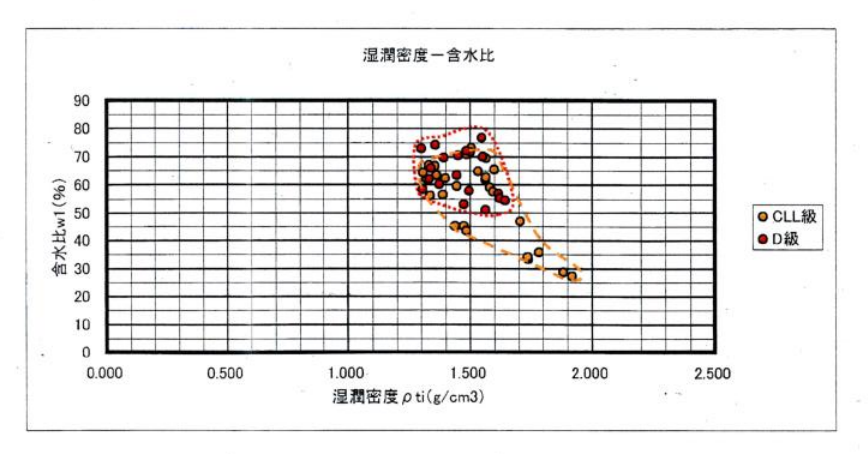


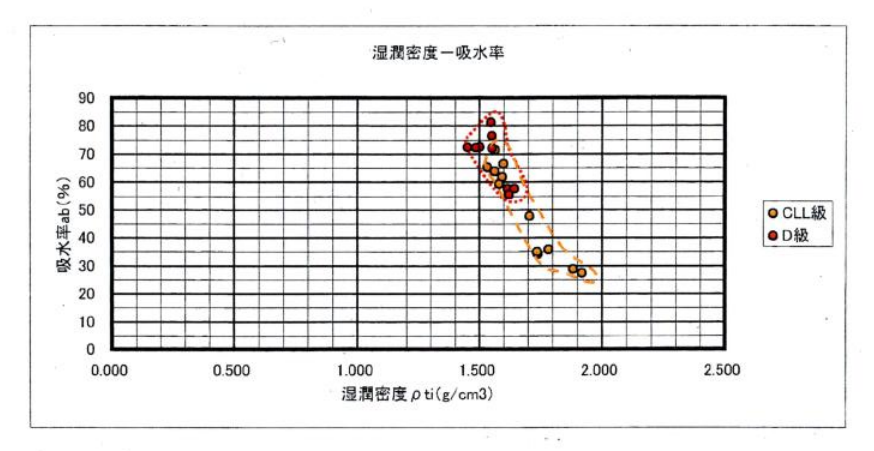
図-5.3.8 乱さない試料の採取箇所

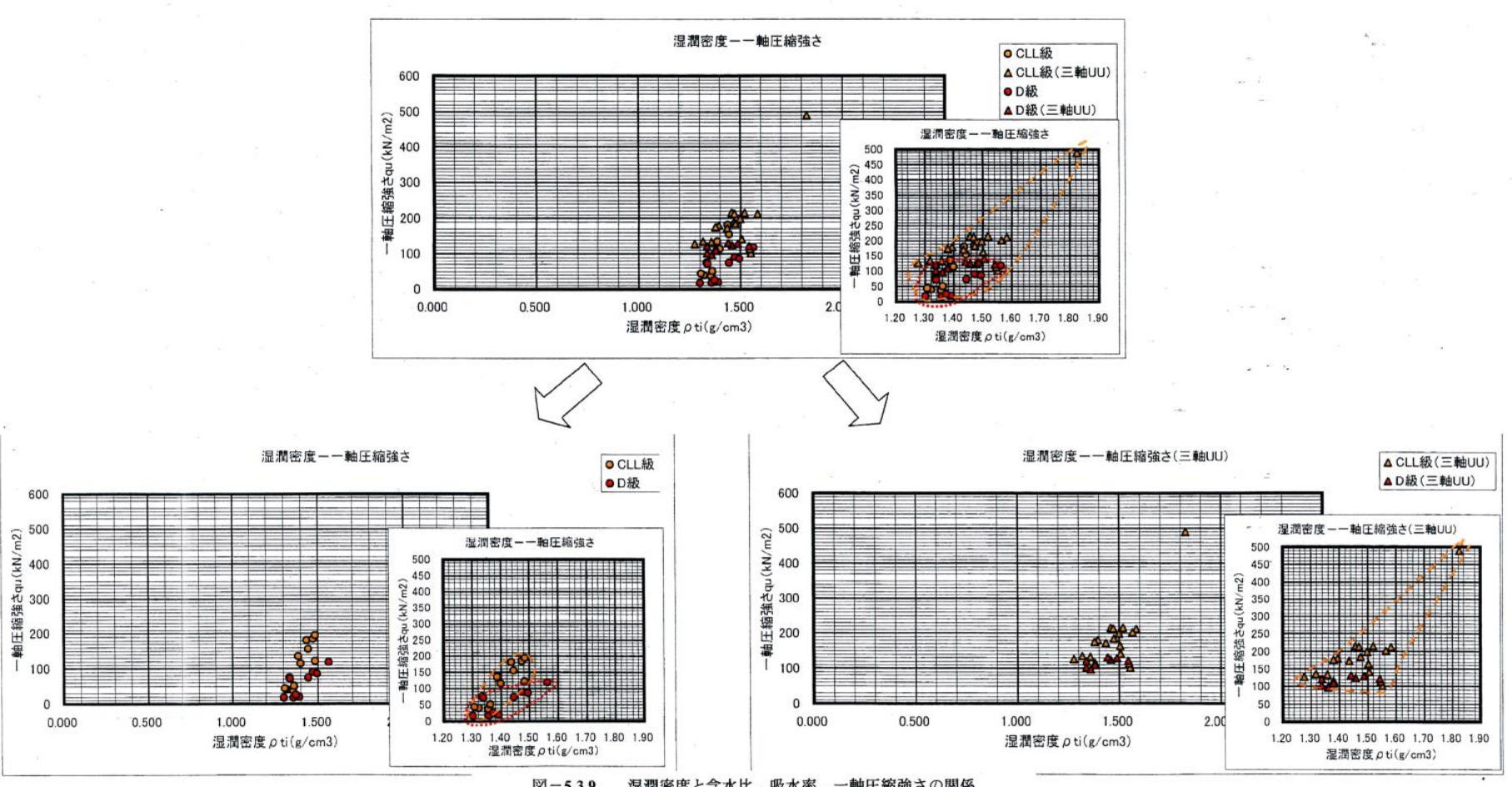
表-5.3.4 室内岩石試験結果

ンサ				岩	級				物理	特性				_ Tet T7	力学	特性	= sarres	1# 19 / I II I	-	
グン	i	式料番号		-		供試体状況(建設)	含水比	湿潤密度	乾燥密度	飽和度	有効間隙率	吸水率	— \$6 FF	細強さ	縮試験変形	係数		試験(UU) E縮強さ	- 6	黄考
方ブ 去リ				トレンチ面	供試体	況(視認)	w ₁ (%)	0 ti (n / n m 3)	ρ di (g/cm³)	Sr(%)	ne(%)	ab(%)			E ₅₀ (MN/m ²)	720 1100 1100 110		1		
	-	-#a	PT-1-1	THE REAL PROPERTY.	D		69.70	1.390	_	Laborate 18	E STATE OF THE STATE OF		19.9	0.2	4.8	49.0	13-431-13-0 FB019-	quingi ciii /	集製あり最製あり	
		試料	PT-1-2 PT-1-3				73.00 74.10	1,300 1,357				AN KATALON	17.3 17.8	0.2 0.2	2.3 3.1	23.5 31.6	Re Hirstory		重製あり	
- 0	PT-1	三軸	PT-1-4 PT-1-5	CLL (一部D)		一部欠落		1.395 1.337	0.812 0.775								77.7 101.6			
		物理試	PT-1-6 PT-1-7		ESTATE OF THE STATE OF THE STAT			1.337	0.751	To the room		the thickely	navae jai				120.5	1.2	吸水中に土	砂化し、測定す
		験試料	PT-1-8 PT-1-9														15 401 96 15 11		吸水中に土	砂化し、測定不 砂化し、測定不 砂化し、測定不
- 0		一軸試料	PT-2-1 PT-2-2		CLL		45.20 45.10	1.436 1.472					181.0 185.0	1.8 1.9	23.9 27.9	243.8 284.6				
		三軸	PT-2-3 PT-2-4	011	CLL		43.50	1.484 1.434		, di la seria da			195.0	2.0	27.3	278.5	171.8	1.8		
	PT-2	試料	PT-2-5 PT-2-6	CLL	CLL CLL	一部欠落		1.292	0.809 0.908		55.45	47.79					130.7 180.6	1.3 1.8		
		物理試験試料	PT-2-7 PT-2-8 PT-2-9		CLL		46.82 33.36	1.704 1.739 1.736	1.160 1.304 1.294	98.00 97.30 97.30	44.68	34.27 35.14								
ŀ		一軸	PT-3-1		B	一部欠落	34.18 58.30	1,305	国籍任政策的	97.30	43.47	33.14	17.1	0.2	3.7	37.7				
		試料	PT-3-2 PT-3-3		B	一部欠落 一部欠落	60.20 62.00	1.372 1.332	TELEPS IN			madi mundahanan	25.2 14.2	0.3 0.1	4.8 3.7	49.0 37.7	(perpen)	0.0		
	PT-3	三軸試料	PT-3-4 PT-3-5 PT-3-6	CLL	ğ	一部欠落		1.302 1.322 1.379	0.781 0.780 0.846								81.8 89.3 109.1	0.8 0.9		
		物理試	PT-3-6 PT-3-7		Ö		56.93 55.25	1.615	1.024	98.60 99.40		57.71 55.60					108.1			
		験試料	PT-3-8 PT-4-1		Ö	一部欠落	54.43 67.10	1,643 1,329	1.062	99.50	58.11	57.73	48.3	0.5	3.1	31.6				4,
200		一軸 試料	PT-4-2 PT-4-3		CLL	即人准	62.10 64.40	1.321	7.5				39.8 43.4	0.4 0.4	2.7 3.0	27.5 30.6	Constant Control of		亀裂あり	
ブロ	PT-4	三軸	PT-4-4 PT-4-5	CLL	CLL	変形している	84.40	1.407					43.4	0.4	3.0	30.0	156.2 175.6	1.6	4 2000	
ツ		試料	PT-4-6 PT-4-7	- OLL	GLL	一部欠落	64.91	1.435 1.532	0.850	99.40	60.52	65.29					166.9	1.7		
クサ		物理試験試料	PT-4-8 PT-4-9		CLL		59.13 57.54	1.579	0.990	99.40 93.00	58.91	59.49 61.89								
ン		一軸	PT-5-1 PT-5-2		CLL		66.80 56.10	1.355 1.334		30,00	00.00	01.00	37.0 75.4	0.4	3.6 11.9	36.7 121.4			象数あり	
プリ		試料	PT-5-3		CLL		63.50	1.361 1.276	THE RESIDENCE				51.1	0.5	5.6	57.1		1.3	亀製あり 亀製あり 暗灰色粘土の	割合多い。D級に近
シ	PT-5	三軸試料	PT-5-5 PT-5-6	CLL	CLL	_		1.379	0.791								115.2 134.6	1.2	暗灰色粘土の	割合多い。D級に近 割合多い。D級に近
グ		物理試	PT-5-7 PT-5-8		CLL	ļ	27.26 28.69	1.918		99.40 99.40	41.29	27.43 28.88					101.0			
		験試料	PT-5-9 PT-6-1	-	CLL CLL		35,90 59,60		1.311	100.00		28.88 35.90	155.5	1.6	17.0	173.4		Unit of the last	急裂あり	
		一軸 試料	PT-6-2 PT-6-3		CLL		56.50 62.40	1.386					135.1 115.0	1.4	19.8	202.0 223.4			亀裂あり 亀裂あり 亀裂あり	
	PT-6	三軸	PT-6-4 PT-6-5	The state of the s	CLL			1.357 1.582	0.793								133.3 212.2	1.4 2.2	斜めに粘土	層入る
		試料	PT-6-6 PT-6-7		GLL GLL GLL		65.53	1.473 1.597	0.937	98.40	63.80	66.56					184.7	1.9		
		物理試験試料	PT-6-8 PT-6-9		CLL		61.96 69.58	1.561	0.952	96.90 97.20	60.91	63.96 71.57		protection are selected						
		一軸	PT-7-1 PT-7-2		D		65.90 63.50	1.338					71.3 74.0	0.7 0.8		54.1 52.0				
		試料	PT-7-3 PT-7-4		CLL		70.90		Connect for the				122.3	1.2		97.9	96.6	1.0		
	PT-7	三軸試料	PT-7-5 PT-7-6	0	CLL			1.456 1.486	0.807 0.900								215.7 128.9	2.2	亀裂あり	
		物理試	PT-7-7 PT-7-8	-	D D		71.63 70.52	1.500	0.869	98.70 97.30		72.55 72.46			1100 1 200					
		験試料	PT-7-9 PT-8-1		D		72.12 53.10	1.484	0.861				89.8	0.9		70.4	E 5/12/10 2 45/19	PRESENTANTA		
		試料	PT-8-2 PT-8-3		D		57.90 51.10	1,494					86.2 118.3	0.9 1.2	6.1	62.2 81.6				
	PT-8	三軸	PT-8-4 PT-8-5		D			1.542			-						121.6 124.4			
		試料 物理試	PT-8-6 PT-8-7		D		76.81	1.440				81.38	Maria Maria				130.8	1.3		
		験試料	PT-8-8 PT-8-9		D		70.21 69.92	1.552 1.550				72.22 76.56				10111111111111				
L .	TD .		TB-1-1 TB-1-2		CLL			1.50	5								141.3 215.1			
リ	TB-1 (0~1m)	三軸試料	TB-1-3	ULL	CLL			1.497									199.1	2.0		
ブル	TD_1	= #	TB-1-4 TB-1-5	THE REAL PROPERTY.	CLL		The state of	1.469		(Region)	Hone (See			Lagrar Smith	A WENTER	Constitution of the second	213.1			
サ	TB-1 (1~2m)	三軸試料	TB-1-6		CLL		in the second	1.545								12.50	113.8			
ンプ	TB-1 (2.7~3.5m	三軸	TB-1-7	CLL	CLL			1.824	The North State						Victory in		489.6	5.0		
j.	PT-3水平 (0~1m)	三軸	PT-3-1T	CLL	CLL		62.	7 1.564	0.961	100							202.1	1 2.1		
1	PT-3水平	三軸	PT-3-2T	CLL	CLL		73.	2 1.502	0.86	,		100	a colo	100	3,750	2015	163.8	В 1.7		
	(1~2m)	試料		-	THE RESERVE		1				- Service		Mark State		1kN/m ² ≒0.			IMN/m²≒		

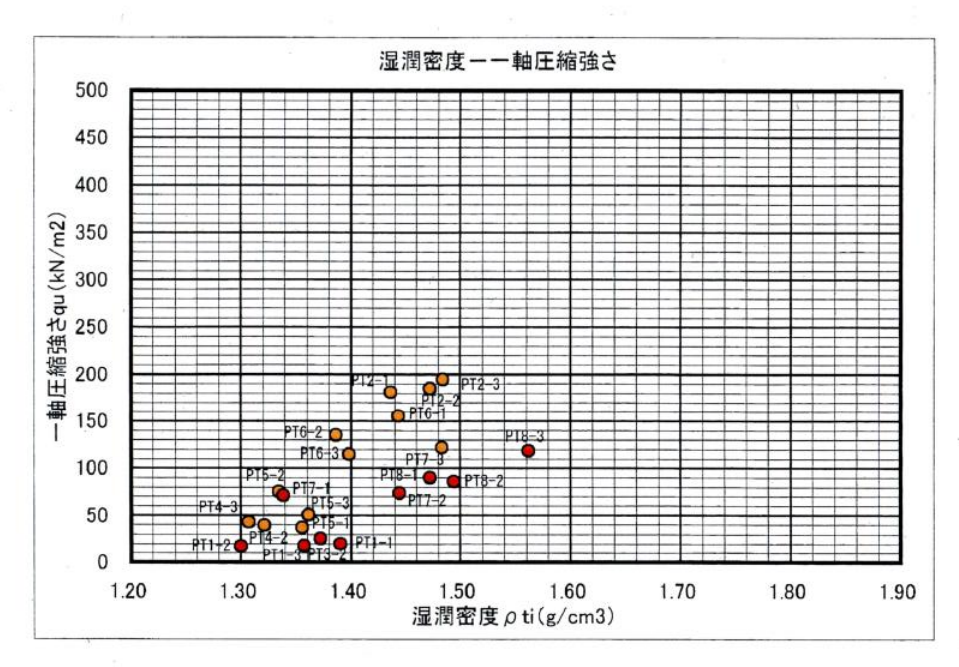
5-41



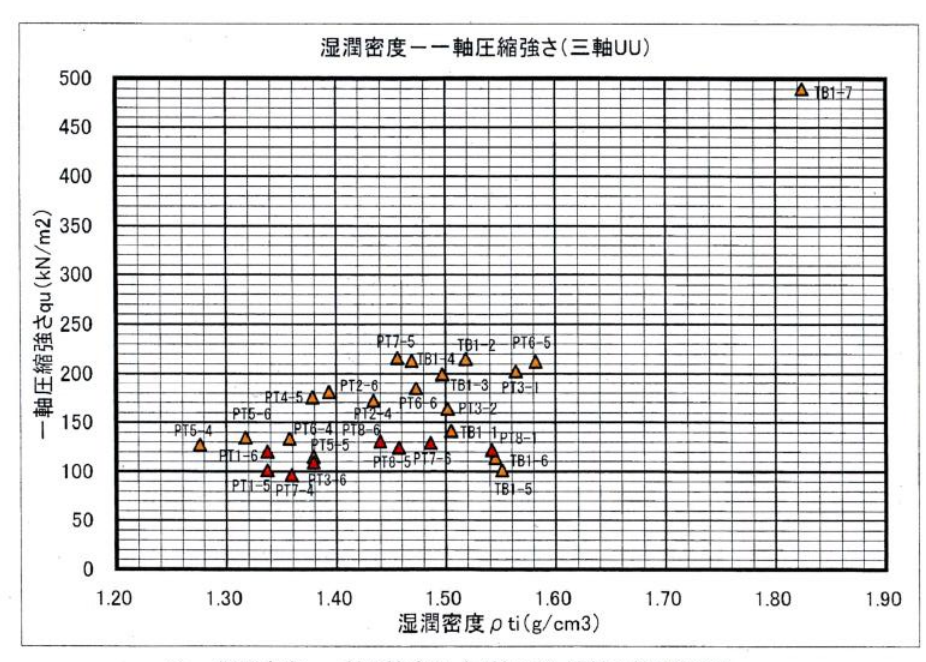




湿潤密度と含水比,吸水率,一軸圧縮強さの関係 図-5.3.9



(a) 湿潤密度-一軸圧縮強さ関係と供試体番号



(b) 湿潤密度-一軸圧縮強さ(三軸 UU)関係と供試体番号

図-5.3.10 湿潤密度-一軸圧縮強さ関係と供試体番号

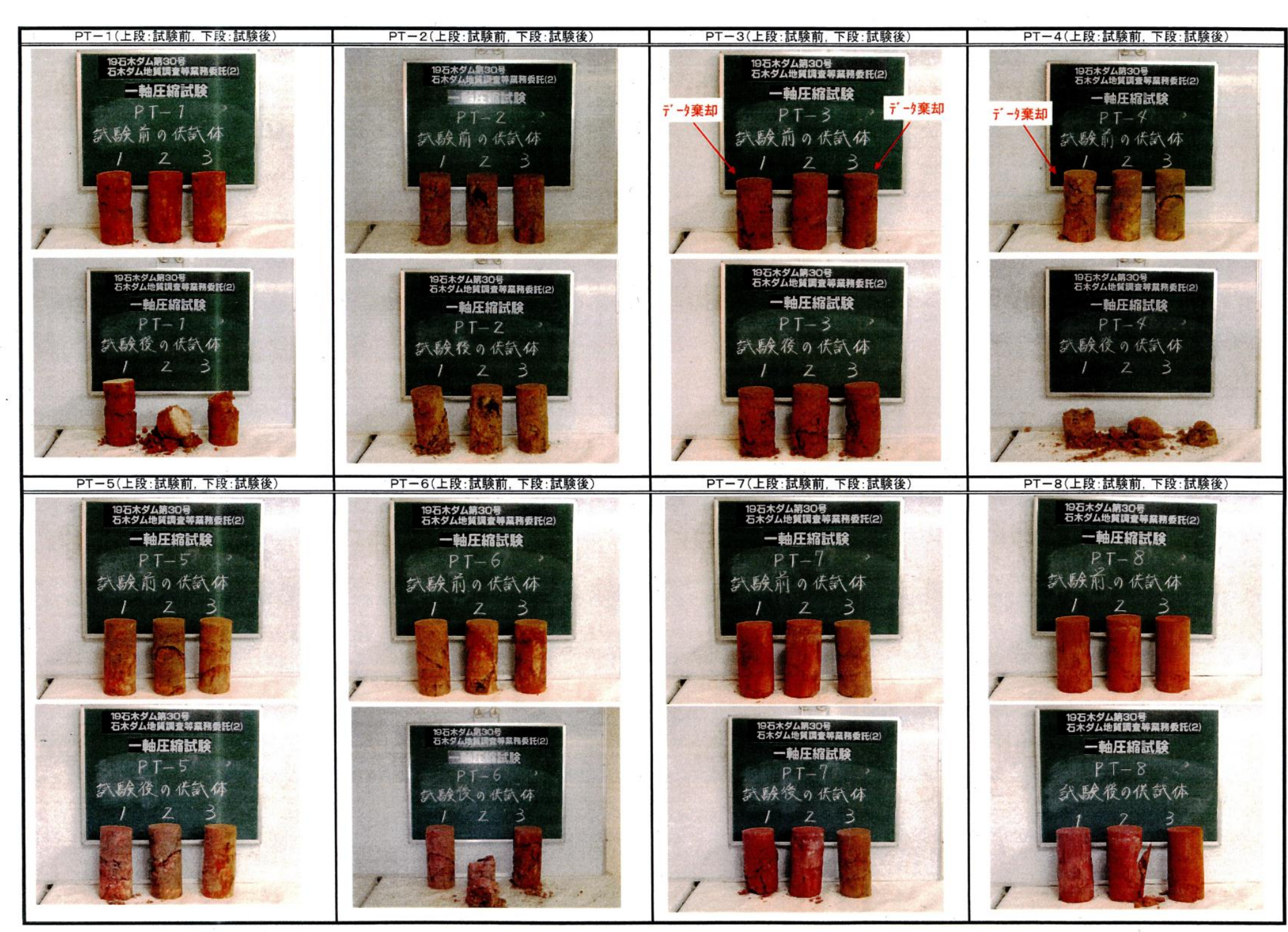


写真-5.3.7 一軸圧縮試験供試体写真

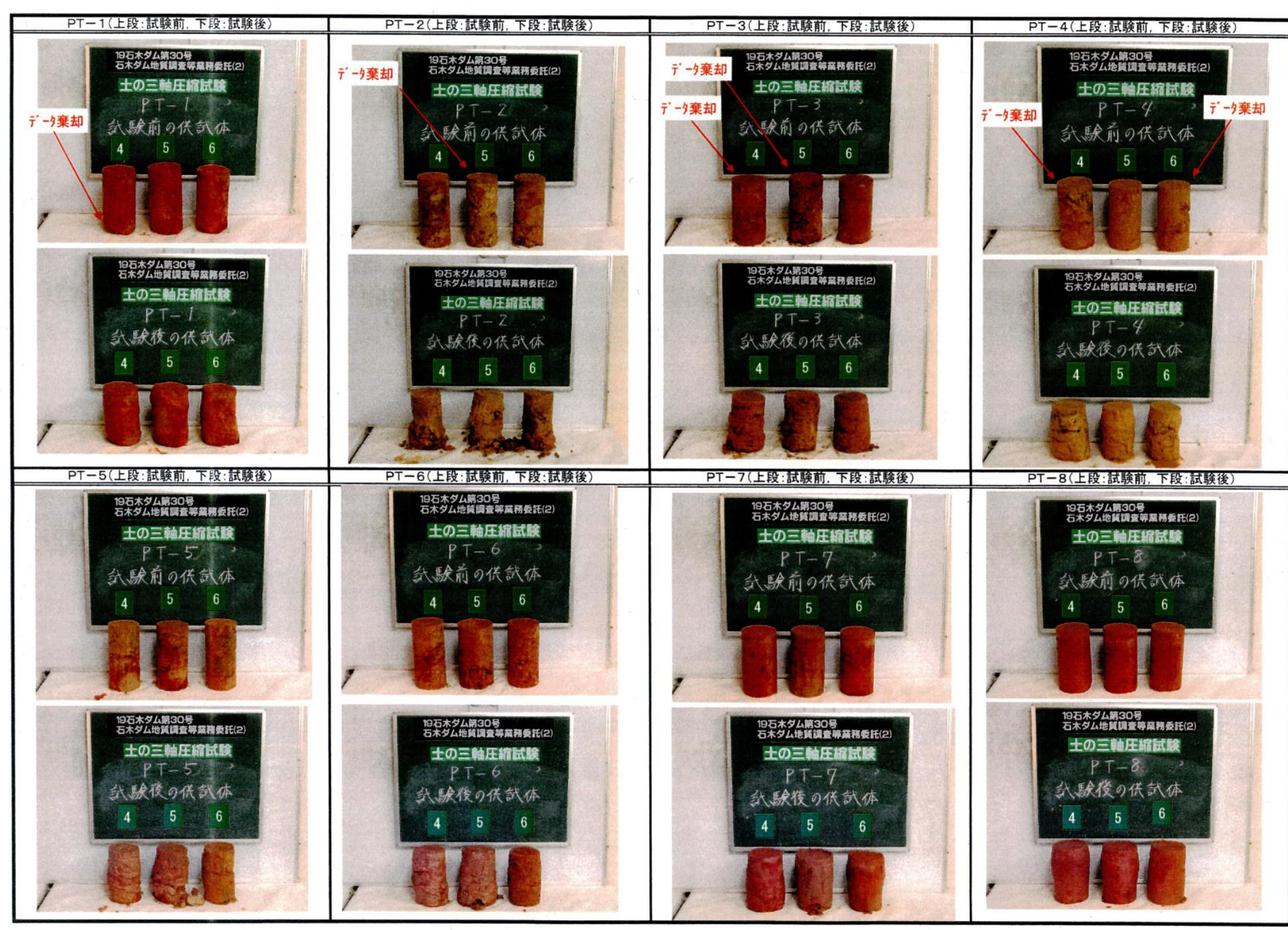


写真-5.3.8 三軸圧縮試験(UU)供試体写真

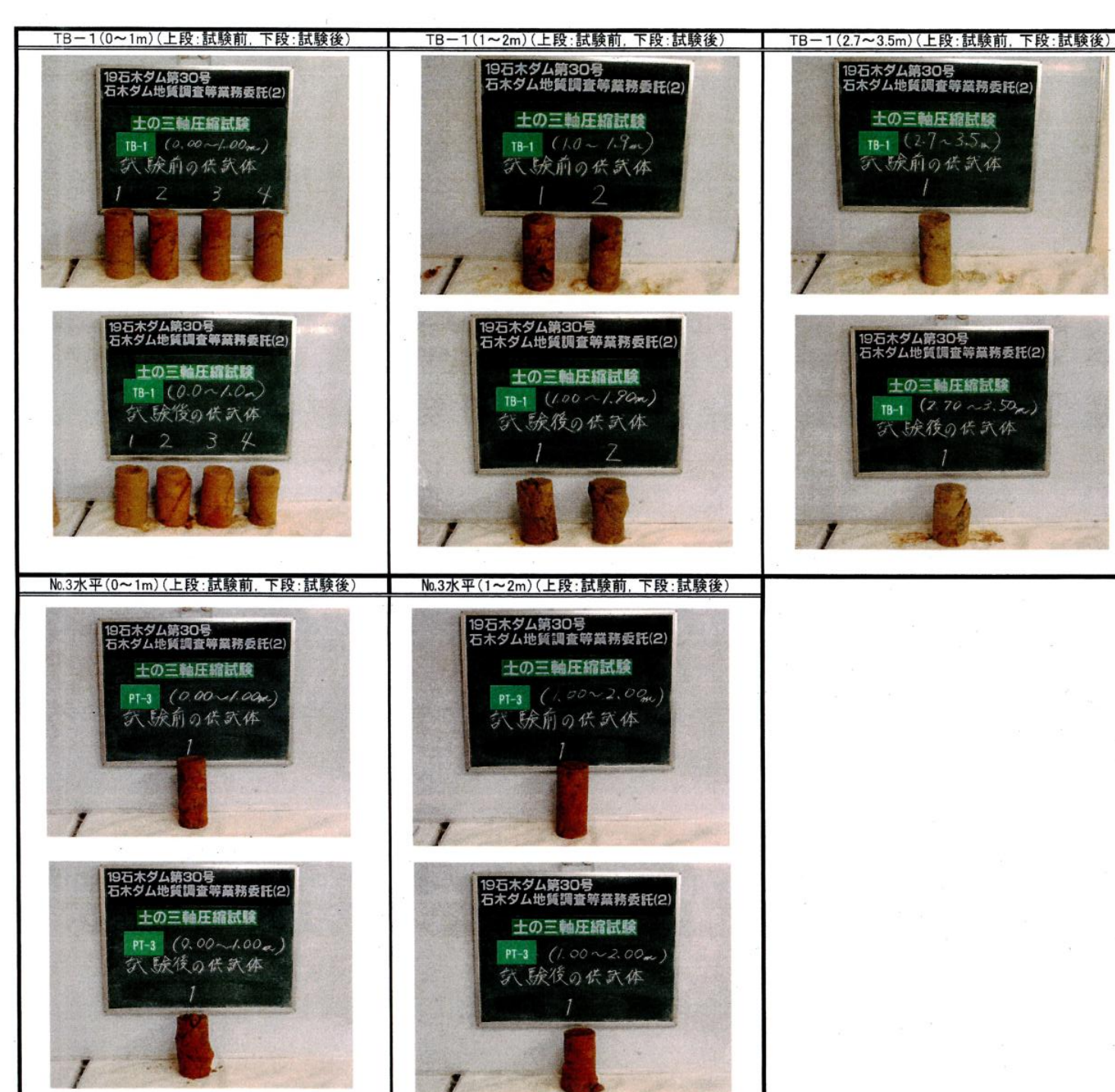


写真-5.3.9 三軸圧縮試験(UU)供試体写真

6. 岩盤強度の検討・整理

(1) ブロックせん断試験

左岸調査横坑(T-3 坑) および河床部横坑(T-4 坑) では S58 年にブロックせん断試験を実施している。

各試験面の岩級見直し結果は図-6.1 および図-6.2 に一覧として示すとおりである。また、各試験の $\sigma - \tau$ 関係は岩級見直し前(S58)を図-6.3(1)、岩級見直し後を図-6.3(2)に示した。

S58年の試験実施時においては、試験値を以下のように評価している。

なお、T-4-5 ブロックは、試験時(S58)の観察においてブロックが弛んでおり、試験面付近からの湧水も認められたため、データ棄却している。

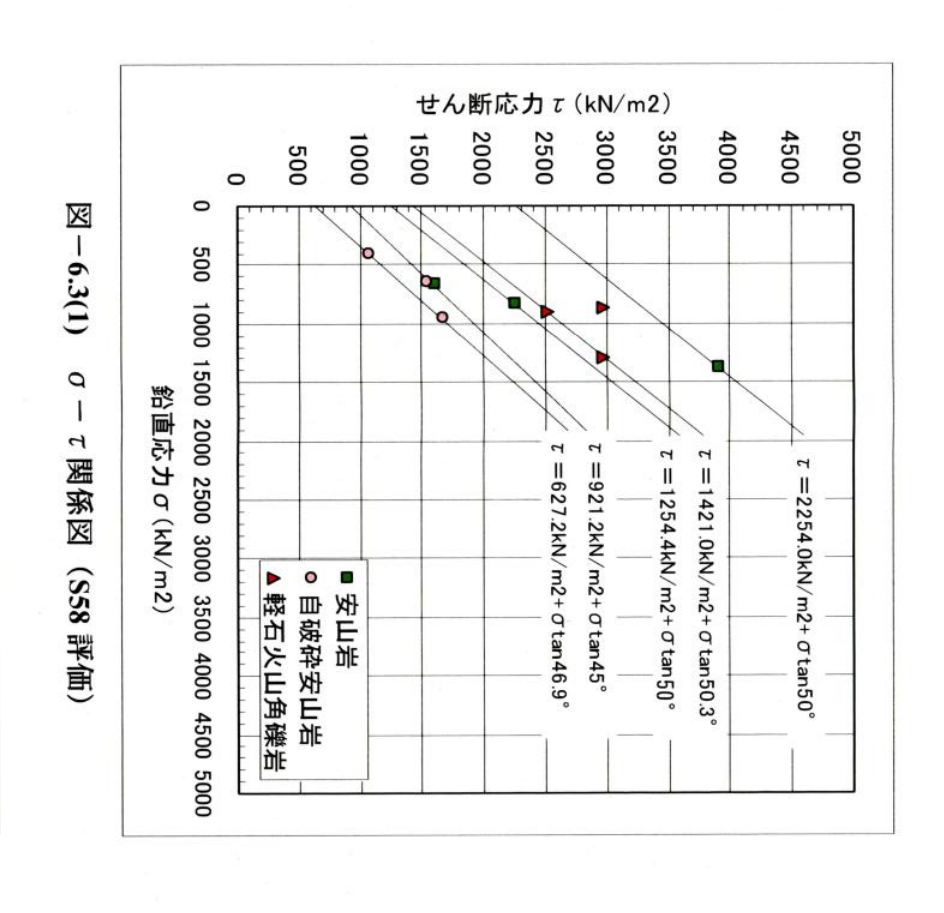
	安山岩	自破砕安山岩	軽石火山角礫岩
CL 級	$\tau = 921.2 \text{kN/m}^2 + \sigma \tan 45^\circ$	$\tau = 627.2 \text{kN/m}^2 + \sigma \tan 46.9^\circ$	- '
CL~CM 級	$\tau = 1254.4 \text{kN/m}^2 + \sigma \tan 50^\circ$	-	_
CM~CL 級	$\tau = 2254.0 \text{kN/m}^2 + \sigma \tan 50^\circ$	-	$\tau = 1421.0 \text{kN/m}^2 + \sigma \tan 50.3^\circ$

岩級見直し後の $\sigma - \tau$ 関係は以下のように評価される。

CLH 級: $\tau = 627.2 \text{kN/m}^2 + \sigma \tan 46.9^\circ \sim 921.2 \text{kN/m}^2 + \sigma \tan 45^\circ$

CM $\approx \tau = 1254.4 \text{kN/m}^2 + \sigma \tan 50^\circ \sim 1421.0 \text{kN/m}^2 + \sigma \tan 50.3^\circ$

CH 級: $\tau = 2254.0 \text{kN/m}^2 + \sigma \tan 50^\circ$



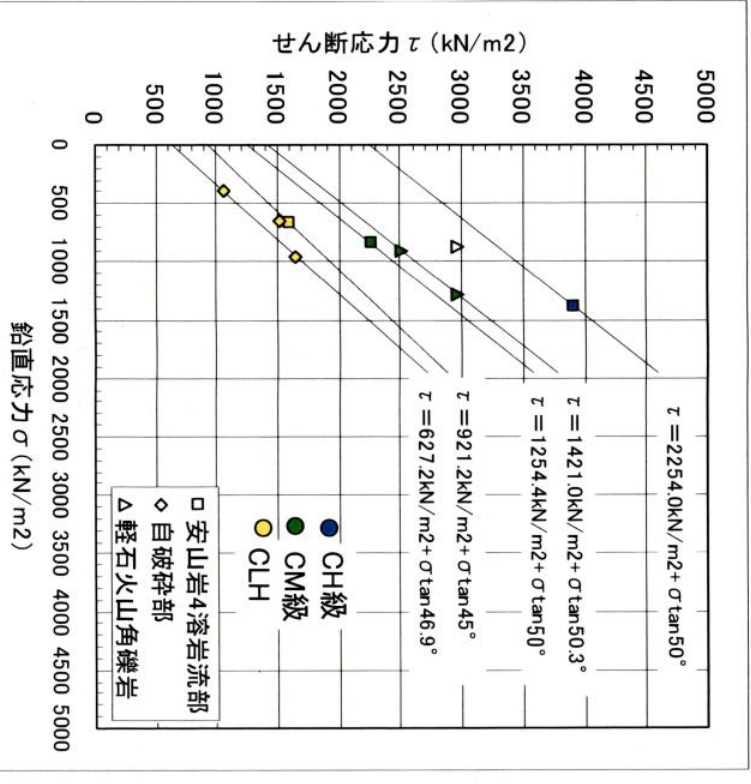


図-6.3(2) $\sigma-\tau$ 関係図(岩級見直し後)

	斗)帐钟盼 然不思题声(写声)	上)除导版级页出轨云(7 L	地質	区分		細区分		шет		20.00 500
ブロック名	せん断試験後の岩盤面(写真) (試験時の写真)	せん断試験後の岩盤面 (スケッチと岩級区分) (試験時のスケッチを利用)	塊状岩	礫質岩	硬 軟 区分	割れ目間隔	割れ目状況	岩級区分	既往試験結果 (試験値)	岩盤状況からみた 試験結果の評価(今回)
T3-3		せん断方 (BIIb)	An4	——————————————————————————————————————	В	П	b	СН	τ ₀ (kN/m ²) 2254.0 φ (°) 50	細区分組み合わせ(B・Ⅱ・b)は、CH級岩盤の代表的なものである。 ↓ 試験結果は CH級(塊状岩)を代表すると考えられる。 試験時の観察で開口割れ目が記載されている。
T3-1		(BIIIb)	An4	—	В	ш	b	CM	τ ₀ (kN/m ²) 1254.4 φ (°) 50	細区分組み合わせ (B・Ⅲ・b) は、CM 級岩盤の代表的 なものである。 ↓ 試験結果は CM 級 (塊状岩) を代表すると考えられる。
T3-2		(BⅢb)	An4	_	В	Ш	b	CM (MSH)	τ ₀ (kN/m ²) 921.2 φ (°)	試験面の約半分に CM 級が 混在する。 ↓ 試験結果は、CLH 級の値よ り過大と考えられる。
		(BIVc)			В	IV	С	(55%)	45	り廻入と与んられる。
T3-4		(DIP)	_	Ab4	D	I	ь	CLH	τ ₀ (kN/m ²) 627.2 φ (°) 46.9	試験面は、CLH級(自破砕 状安山岩)の細粒分のみからなる箇所を主体とする (写真右上のごく一部に礫 を混入するゾーンあり)。 ↓ 試験結果は、CLH級の下位 強度を示すと考えられる。

図-6.1 T-3 横坑内ブロックせん断試験箇所の状況

	せん断試験後の岩盤面(写真)	せん断試験後の岩盤面(スケッチと岩級区分)	地質	区分		細区分		岩級	既往試験結果	岩盤状況からみた
ブロック名	(試験時の写真)	(試験時のスケッチを利用)	塊状岩	礫質岩	硬 軟区分	割れ目 間隔	割れ目 状況	区分	(試験値)	試験結果の評価(今回)
T4-5		- (B1b)	,	An2-b	В	I	b	CH 59%	τ ₀ (kN/m ²)	試験面の約 60%が CH 級で、約 40%が CM 級である。CH 級は An2-b に該当し、CM 級は Vb-p に該当する。
14-5		(CIP)	or To	• Vb-p	C	I	b	CM 42%	φ (°)	試験時の評価は、Vb-p中の軽石部が弛 んでおり、ブロック下部からの湧水が 認められたため、棄却対象としている。
T4-4		(C 1b)	7	VI	В	I	c	Gu.	τ ₀ (kN/m ²) 1421.0	全体がCM級で細区分BIcが主体をなすが、基質が優勢な範囲では硬さが(となる。
14-4			-	Vb-p	С	I	b	CIM	φ (°) 50.3	試験結果は CM 級(礫質岩)を代表す と考えられる。
T4-3		⇒ - (DIb)		Vb-p	С	I	b	CM 97%	τ ₀ (kN/m ²) 1421.0	試験面の約 70%が CM 級 (CIb) で約 30%が CLH 級 (DIb) である。但し、 CLH 級評価範囲の硬さ Dは、硬さ Cに 近い性状を有する。 ↓
14-3	2.4	(C1b)		v о-р	D (C)	I	b	CLH 33%	φ (°) 50.3	CLH 級評価範囲は、CM 級に極めて近い性状を有するため、試験結果は、CLF 級の影響は少ないと考えられる。
T4-2		(D) (D (b)		Ab3	D	I	b	CLH	τ ₀ (kN/m ²) 627.2	全体がCLH級で細区分はDIbである 試験面の上位 1/4 の範囲 (写真上部) は細粒部のみからなっており、せん はこの細粒部で発生し、ブロックがそ
14-2				Aus		1	U	OLIT	φ (°) 46.9	や回転している。 ↓ ・・・・・・・・・・・・・・・・・・・・・・・・・・・・・・・・・・・
T4-1		CUP (D 1b)	_	Ab3	D	I	b	CLH	τ ₀ (kN/m ²) 921.2	全体がCLH級で細区分はDIbである。 一部に硬質な礫部が認められる。
14-1				A03		1	0	CLH	φ (°) 45	礫質岩(自破砕部)における CLH 級を 代表すると考えられる。

図-6.2 T-4 横坑内ブロックせん断試験箇所の状況

(2) 孔内水平載荷試験

孔内水平載荷試験の結果は、「18 石木ダム第 18 号 石木ダム地質解析業務委託 報告書 (地質総合解析編) 平成 19 年 3 月 (株)建設技術研究所」で取りまとめられている。

孔内水平載荷試験は、左岸鞍部のボーリング孔(R-22~24)及び河床部のボーリング孔 (C-43)で行われており、その試験位置、試験区間の地質、試験区間の岩級は表-6.1 に示すとおりである。

表-6.1 孔内水平載荷試験調查数量表

孔番	試験実施深度	地質	岩級
	1.8-2.3m	Vb	D
R−22	3.2-3.7m	Vb	CLL
	5.7-6.2m	An3−v	CLH
R-23	3.5-4.0m	Vb	D
R-23	7.0-7.5m	An3-v	CLL
	3.3-3.8m	Vb	D
	4.0-4.5m	Vb	D
	5.2-5.7m	Vb	CLL
R-24	5.9-6.4m	Vb	CLL
R-24	7.0-7.5m	Vb	CLH
	7.5-8.0m	Vb	CLH
	8.0-8.5m	Vb	СМ
	10.0-10.5m	Vb	CLH
	4.25-4.75m	Vb	CLH
	7.55-8.05m	Ab3	CLL
C-43	7.95-8.45m	Ab3	СМ
	9.35-9.85m	Ab3	СМ
	10.05-10.55m	An2-b	CLL

孔内水平載荷試験による変形係数(Db)及び弾性係数(Eb)と平板載荷試験による変形係数(Dp)及び弾性係数(Ep)には、一般に図-6.4 に示す関係が知られている。図-6.4 に基づき、Dp/Db 及び Eb/Et を求め、変形係数 Dp と弾性係数 Et を換算算出すると表-6.2 に示す結果が得られる。

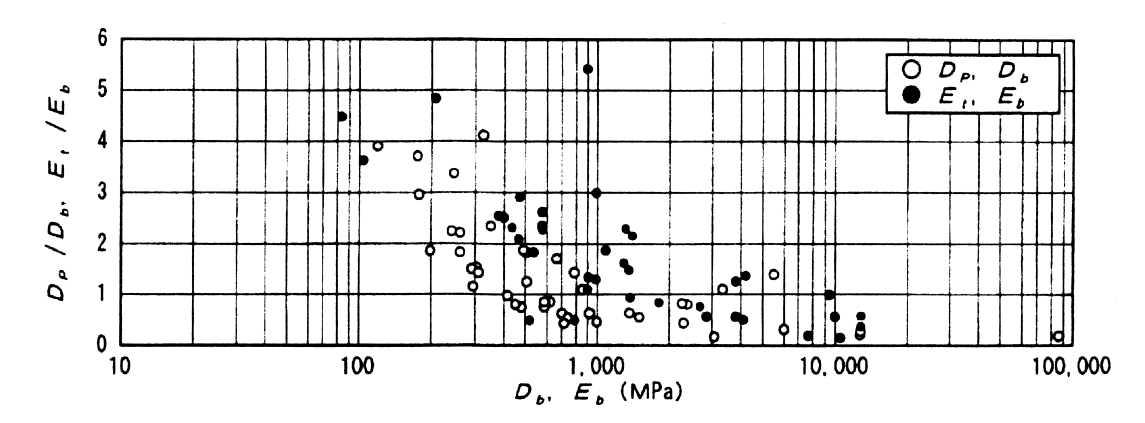


図-6.4 孔内水平載荷試験による変形係数(Db)と弾性係数(Eb)と平板載荷試験 による変形係数(Dp)と弾性係数(Et)

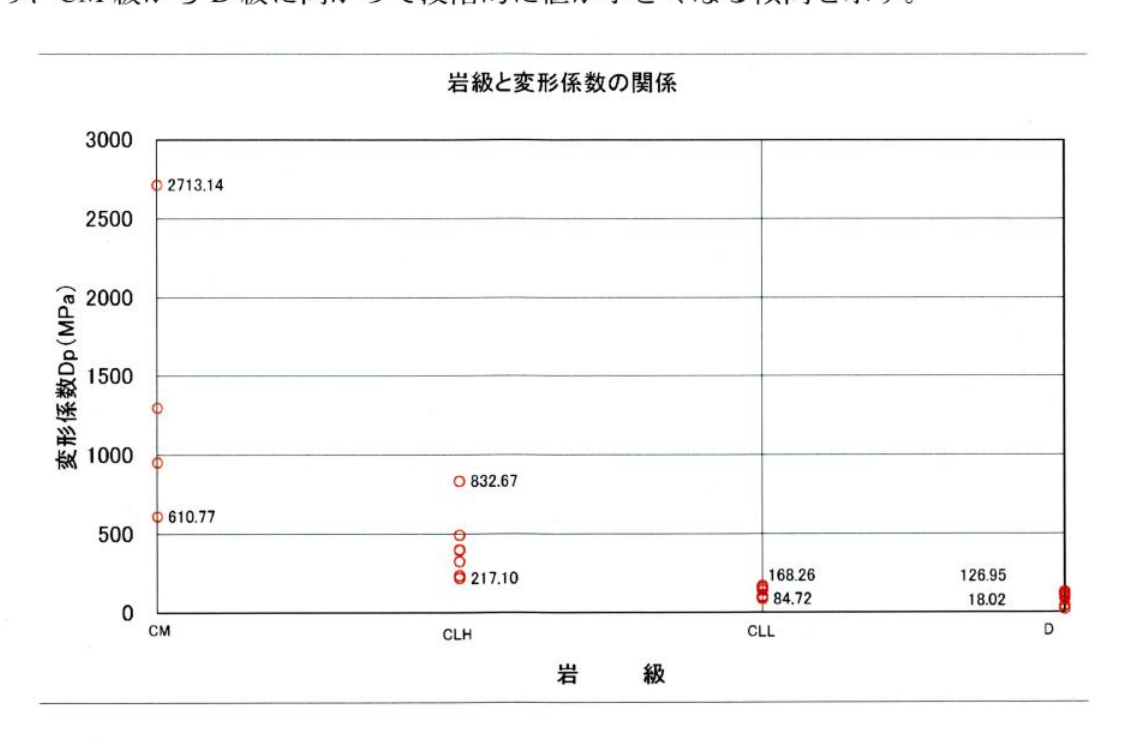
(「(社) 土木学会岩盤力学委員会:原位置岩盤試験法の指針-平板載荷試験法- - せん断試験法 - - 孔内載荷試験法-, 第1版, 第1刷, 2000.12.」)

表-6.2 孔内水平載荷試験に基づく換算変形係数: Dp 及び換算弾性係数: Et

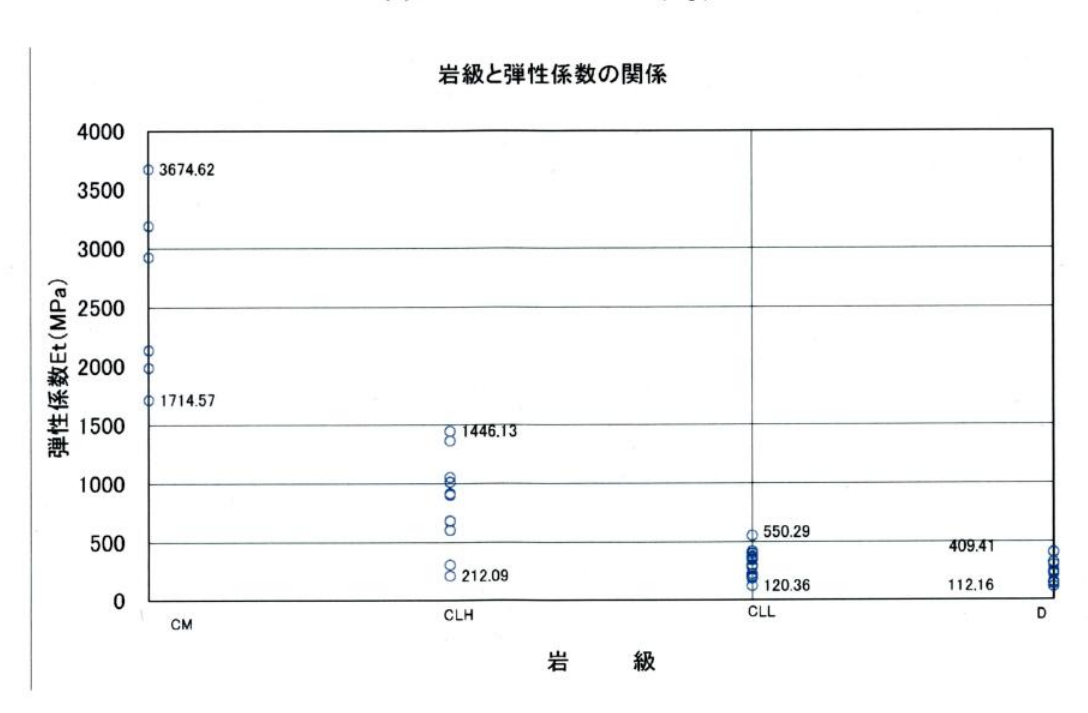
	To be set and a		ili or	ポアソ		孔内水平	載荷試験	7/15-1-42-	平板載	荷試験
孔番	試験深度 (m)	地質	岩級区分	ルドン	データ 数	変形係数Db (MPa)	弹性係数Eb (MPa)	変換係数	変形係数Dp (MPa)	弾性係数Et (MPa)
		Laufa Zz. Toks LLI			1	9.474	75.040		37.896	300.158
	1.8~2.3	火山角礫岩	D	0.3	2	4.505	37.539	4	18.018	150.155
		(Vb)			平均	6.989	56.289		27.957	225.157
1	22-27	火山角礫岩	CIT	0.3	1	21.574	30.091		86.296	120.363
R-22	3.2~3.7	(Vb)	CLL	0.5	平均	21.574	30.091	4	86.296	120.363
		AND AND ADDRESS OF THE PARTY OF			1	132.248	225.810		396.744	677.430
	5.7~6.2	安山岩溶岩3	CLH	0.3	2	107.240	226.980	3	321.719	680.940
	3.7.00.2	(An3-v)	CLH	0.5	3		200.024		><	600.071
					平均	119.744	217.605		359.232	652.814
		1)			1	26.550	54.746		106.199	218.984
	25-10	火山角礫岩	D	0.3	2	31.738	61.620		126.952	246.480
	3.5~4.0	(Vb)	- 10	0.5	3		58.175	4	\sim	232.700
					平均	29.144	58.180	1	116.575	232.721
R-23					1	42.066	92.648	9	168.262	370.590
		安山岩溶岩3		0.3	2	38.773	137.573	4	155.093	550.290
	7.0~7.5		CLL		3		86.053		\sim	344.211
	3	(An3-v)	300		4		70.552			282.208
	**				平均	40.419	96.706		161.678	386.825
		L . I . A. 766 H	- 0.49		1	131.280	1364.883		-131.280	1364.883
	4.25~4.75	火山角礫岩 (Vb)	CLH	0.3	2		1446.133	1	\sim	1446.133
	Market States	(VD)		200000	平均	131.280	1405.508		131.280	1405.508
		安山岩3自破	WE ST		1	21.181	87.732		84.724	350.929
	7.55~8.05	砕部(Ab3)	CLL	0.3	2		91.400	4		365.600
		作前 (A03)	- 78 Ca		平均	21.181	89.566		84.724	358.265
	7.95~8.45	安山岩3自破		0.3	1	305.387	857.285	2	610.773	1714.570
C-43	1,93 0.43	砕部(Ab3)	传生	0.5	平均	305.387	857.285		610.773	1714.570
			CM	V	1	-2713.135	3674.619		2713.135	3674.619
	0.25 - 0.05	安山岩3自破		0.3	2		3190.849	١.		3190.849
	9.35~9.85	砕部 (Ab3)		0.3	3		2924.745	1		2924.745
				Ž.	平均	2713.135	3263.404	1	2713.135	3263.404
		安山岩2角礫	1000		1	25.280	46.020		101.120	184.080
	10.05~10.55		CLL	0.3	2		93.822	4		375.288
		(An2-b)			平均	25.280	69.921		101.120	279.684

	n hard her at-		the day			孔内水平	載荷試験	705 164	平板載	荷試験
孔番	試験深度 (m)	地質	岩級 区分	ポアソ ン比	データ数	変形係数Db (MPa)	弹性係数Eb (MPa)	変換係数	変形係数Dp (MPa)	弹性係数Et (MPa)
					1	21.801	28.041		87.205	112.164
	2 20 2 20	火山角礫岩	_	0.2	2	22.047	34.391		88.187	137.564
	3.30~3.80	(Vb)	D	0.3	3		38.012	4	\sim	152.048
					平均	21.924	33.481		87.696	133.925
					1	29.708	101.878		118.831	407.511
- 1	4.00~4.50	火山角礫岩	D	0.3	2	25.867	80.489	4	103.468	321.956
	4.00 4.30	(Vb)	· ·	0.3	3	><	102.353	-	><	409.413
3					平均	27.787	94.907		111.150	379.627
					1	34.609	75.520		138.436	302.080
	5.20~5.70	火山角礫岩	CLL	0.3	2	\sim	100.146	10	\sim	400.586
	5.20~5.70	(Vb)	CLL	0.5	3		104.530	.4		418.121
					平均	34.609	93.399		138.436	373.596
					1	38.789	48.945		155.157	195.780
	5.90~6.40	火山角礫岩	CTT	0.2	2	><	50.989		\sim	203.956
R-24	3.90~6.40	(Vb)	CLL	0.3	3		56.429	4	\sim	225.716
22.74					平均	38.789	52.121		155,157	208.484
		上山 在 686 円			1	244.920	456.768		489.840	913.536
1	7.00~7.50	火山角礫岩 (Vb)	CLH	0.3	2		450.645	2	><	901.290
		(VD)			平均	244.920	453.706		489.840	907.413
		Last At. 1056 LLI			1	416.335	526.422		832.671	1052.844
	7.50~8.00	火山角礫岩 (Vb)	CLH	0.3	2		505.609	2	\sim	1011.218
		(VD)			平均	416.335	516.016		832.671	1032.031
			Part of the last		1	1296.555	2138.994		1296.555	2138.994
	8.00~8.50	火山角礫岩	CM	0.3	2	950.807	1988.649	1	950.807	1988.649
		(Vb)			平均	1123.681	2063.821		1123.681	2063.821
		Jan LA THE HI			1	108.550	106.045		217.100	212.091
	10.00~10.50	火山角礫岩 (Vb)	CLH	0.3	2	116.175	153.723	2	232.349	307.446
		(VD)			平均	112.362	129.884		224.725	259.768

換算した変形係数 Dp および弾性係数 Et と岩級との対応は図-6.5 に示すとおりであり、CM 級から D 級に向かって段階的に値が小さくなる傾向を示す。



(a)各岩級の変形係数(Dp)の分布



(b)各岩級の弾性係数(Et)の分布

図-6.5 各岩級の変形係数及び弾性係数の分布(孔内水平載荷試験より推定)

孔内水平載荷試験より推定される各岩級の Dp 及び Et は以下のとおりである。

【変形係数 Dp】

○CM 級: 610.8~2713.1MPa

○CLH 級: 131.3~832.7MPa

○CLL 級:84.7~168.3MPa

○D級: 18.0~127.0MPa

【弹性係数 Et】

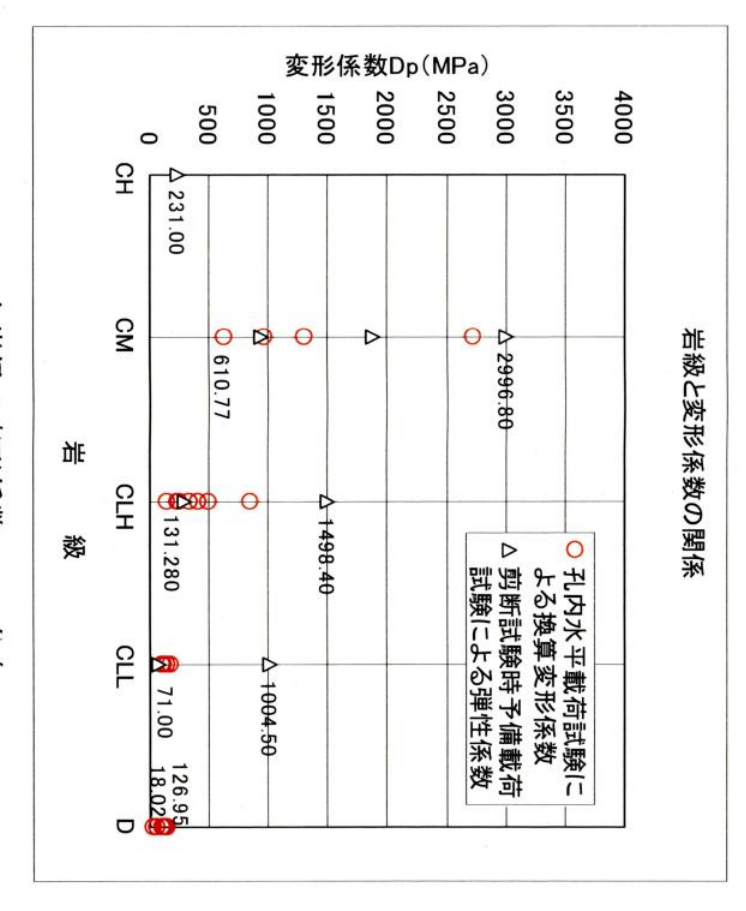
○CM 級: 1714.6~3674.6MPa

○CLH 級: 212.1~1446.1MPa

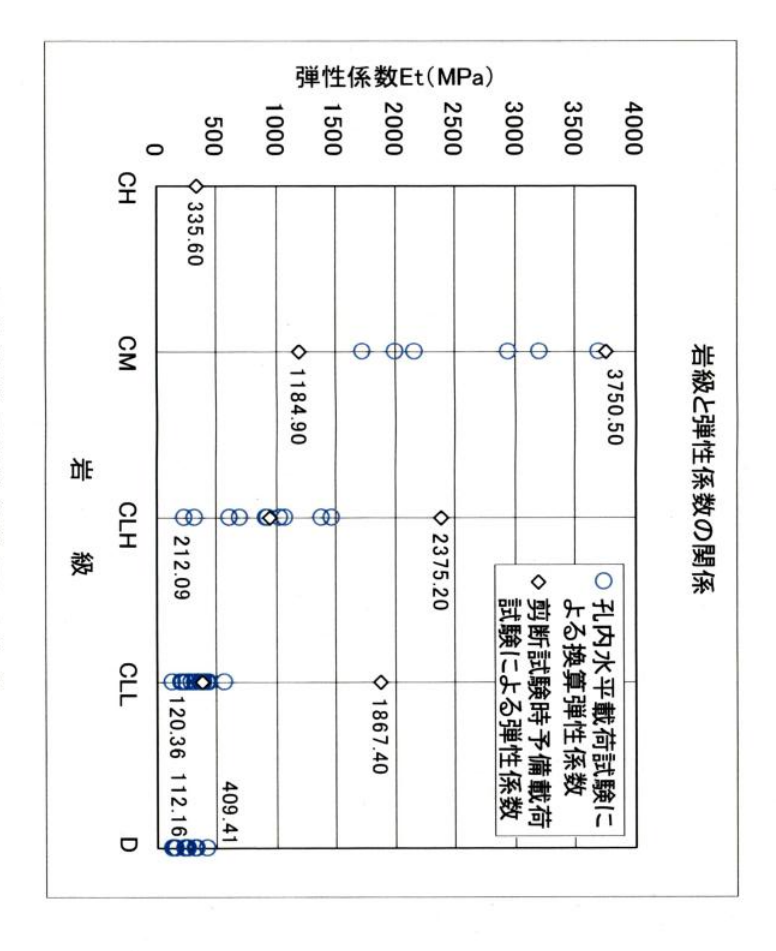
○CLL 級: 120.4~550.3MPa

○D級:112.2~409.4MPa

また、孔内水平載荷試験とは別に、ブロックせん断試験(昭和 58 年度実施)の予備試験として静弾性試験が行われている(図-6.6 参照)。



(a)各岩級の変形係数(Dp)の分布



(b)各岩級の弾性係数(Et)の分布

図-6.6 各岩級の変形係数及び弾性係数の分布

(孔内水平載荷試験より推定されるデ ータ及びせん断試験時予備載荷試験データ) 図-6.6 の試験結果から、CM~D級にかけては弾性係数及び変形係数がともに段階的に減少する傾向が見られるが、CH級の値がCM級の値よりも小さな値をとなっている。この CH級の値は、左岸横坑(T-3)の T-3-3 ブロックであり、せん断試験実施時に開口割れ目が記載されている。また、この開口割れ目の影響で、せん断試験時にはクリープ性の変位が顕著であったこともあわせて記載されている。したがって、T-3-3 ブロックで得られた値は CH級岩盤の代表的な値を示しているものとは評価することができない。

以上の結果、各岩級の変形係数及び弾性係数は以下のように推定される。

【変形係数:Dp】

CM 級岩盤: 610.8~2996.8MPa

CLH 級岩盤: 131.3~1498.4MPa

CLL 級岩盤: 71.0~1004.5MPa

D 級岩盤: 18.0~127.0MPa

【弾性係数:Et】

CM 級岩盤: 1184.9~3750.5MPa

CLH 級岩盤: 212.1~2375.2MPa

CLL 級岩盤: 120.4~1867.4MPa

D 級岩盤: 112.2~409.4MPa

(3) 室内岩石試験

室内岩石試験は、本業務で D級および CLL 級岩盤を対象として実施している他、「石木ダム地質調査業務委託 昭和 59 年 2 月 (株)建設技術研究所」において CM 級および CLH 級岩盤(岩級は平成 17 年度に見直し)を対象として実施している。

各岩級の一軸圧縮強さ、密度、吸水率は、図-6.7 に示すとおりである。 各岩級の物性値は以下のように整理される。

【一軸圧縮強さ】

CM 級 : 85,294.12kN/m²(870kgf/cm²) (1 データ)

CLH 級: 7,107.84~8,862.75kN/m² (72.5~90.4kgf/cm²) (4 データ)

CLL 級: 115.2~215.7kN/m² (1.2~2.2kgf/cm²) (13 データ)

D 級: $96.6 \sim 130.8 \text{kN/m}^2 (1.0 \sim 1.3 \text{kgf/cm}^2)$ (11 データ)

【密 度】

CM 級 : 2.36g/cm³ (1 データ)

CLH 級: 1.89~1.96g/cm³ (3 データ)

CLL 級: 1.276~1.918g/cm³ (38 データ)

D 級: 1.305~1.643g/cm³ (31 データ)

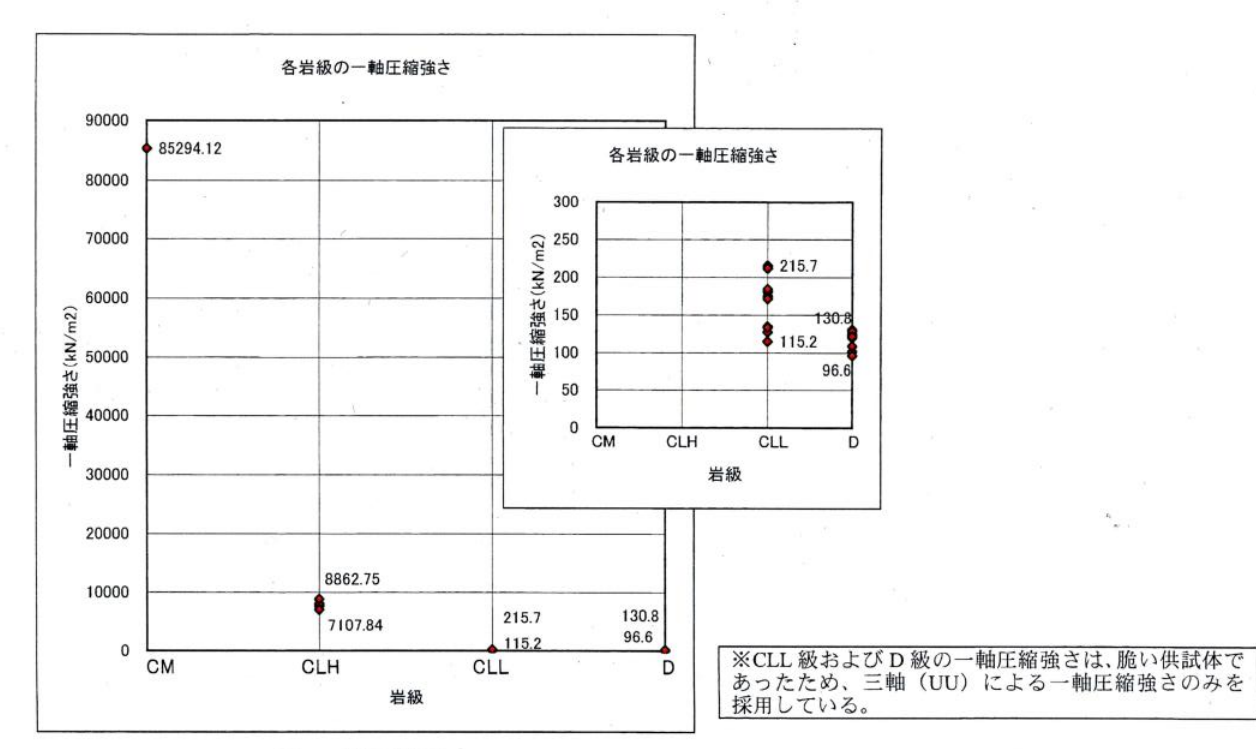
【吸水率】

CM 級: 1.2% (1 データ)

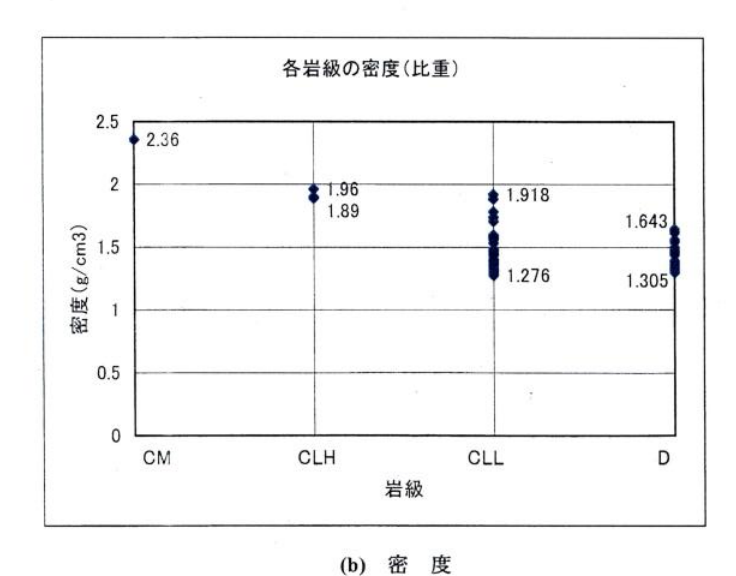
CLH 級:データなし

CLL 級: 27.43~71.57% (12 データ)

D 級:55.60~81.38% (9 データ)



(a) 一軸圧縮強さ



各岩級の密度(吸水率) 90 81.38 ♦ 71.57 70 60 80 50 40 40 55.60 \$ 27.43 20 10 0 4 CM CLH CLL D 岩級

(c) 吸水率

7 度

図-6.7 岩級毎の一軸圧縮強さ、密度、吸水率の分布

(4) 各岩級と物性値との対応

各岩級の状況、主要細区分組み合わせ、物性値との対応は、**表-6.3** に一覧として示すとおりである。

表-6.3 各岩級の状況,主要細区分組み合わせ,物性値との対応

岩級	状況		代表的コア写真	細区分組み合わせ	せん断強度	変形係数 Dp (MPa) (kgf/cm²)	弾性係数 Et (MPa) (kgf/cm²)	一軸圧縮強さ kN/m² (kgf/cm²)	密度 (g/cm³)	吸水率 (%)
	新鮮部を主体とし、割れ目(節理) 沿いに風化部が残留することもあ る。全般に硬質でハンマーの打撃	塊状岩	C-46 孔(25.0~30.0m): A II b~A III b 安山岩 3 機密部(An 3-c)	AIa, AIb, AIc, AIIa, AIIb, AIIc, AIIa, AIIb, BIa, BIb, BIIb	·τ=2254.0kN/m²+σtan50°					
Ē	で金属音を発する。割れ目間隔は 広く、ボーリングコアでは棒状コ アとして採取される。	礫質岩	C-33 礼 (95~100m): A La 火山飛動状岩 (Laf)	AIa, AIb, AIc, AIIa, AIIb, AIIc, AIIIa, AIIIb, BIa, BIb, BIIb						
	新鮮部を主体とするが、割れ目(節理)沿いに風化部が残留する。溶 岩流部はハンマーの打撃で金属音 を発することが多い。また、礫質	塊状岩	R-21 礼(10.0~15.0m):BIIIb 发讨误5(Ans)	Alle, AlVb, AlVe, Blic, Blia, Blib, Blic, BlVb, BVb, Clib, Clic, Clib	$\tau = 1254.4 \text{ kN/m}^2 + \text{stan} 50^\circ$	610.8 ~ 2,996.8	1,184.9 ~ 3,750.5	85,294.12		
CM	岩(火山角礫岩など)でも礫と基質部が同程度の硬さでハンマーの軽打では分離しない。ボーリングコアでは、短棒状コアを主体とすることが多い。	礫質岩	R-21 孔 (65.0~79.0m): CIIIb 輕石次出角機器 (Vb-p)	AIIc, AIVb, AIVc, BIIc, BIIb, BIIb, BVb, CIb, CIIc,	~ 1421.0kN/m²+σtan50.3°	(6,232.7~ 30,579.6)	(12,090.8~ 38,270.4)	(870)	2.36	1.2
CLH	新鮮部と風化部が混在しており、 ハンマーの数回の打撃で割れ目な いしは潜在割れ目に沿って分離す	塊状岩	C-47 孔 (23.0~25.0m): BIVc 安田岩 3 多孔質部 (An3-v)	BIId, BIId, BIVd, CIId, CIIId, CIVd, BIVd, CIIId, CIVb, CIVd, CVb, CVc	τ =627.2kN/m ² + σ tan46.9° \sim	131.3 ~ 1,498.4	212.1 ~ 2,375.2	7,107.84 ~	1.89	
	る。ボーリングコアでは、片状〜 短棒状コアを主体とする。	礫質岩	R-24 孔 (5.7~10.9m); CШ~IVe 火巾角灌岩 (Vb)	BIVe, CIIIe, CIVb, CIVe, CVe, DIb	921.2kN/m ² +σtan45°	(1,339.8~ 15,289.8)	(2,164.3~ 24,236.7)	8,862.75 (72.5~90.4)	1.96	
CII	岩内部まで褐色風化が及んでいる が、岩組織(流理や鉱物の形状)	塊状岩	R-23 4L (7.7~9.6m): DⅢ~IVc 安山岩 3 多孔質部 (An3-v)	DII-g, DIII-g, DIV-b,		71.0 ~ 1,004.5	120.4 ~ 1,867.4	115.2 ~	1.276 ~	27.43 ~
	が目視でき、指圧では崩れない。	糜質岩	た岩板部トレンテ内ボーリング TB-1 (0~2m): DII c 大山角建設 (Vb)	DII, DIIc, DIIb, DIId, DIVc, DVc		(724.5~10,250)	(1,228.6~ 19,055.1)	215.7 (1.2~2.2)	1.918	71.57
D	岩内部まで褐色風化が強く及んで おり、土砂化・粘土化している。 指圧で簡単に崩せる。	礫質岩	R-23 引. (3.0~5.0m); EVI~VIId 火山角爬背 (Vb)	CIVd, DVd, DVId, DVId, EVd, EVId, EVIId		18.0 127.0 (183.7~1,295.9)	112.2 409.4 (1,144.9~4,177.6)	96.6 ~ 130.8 (1.0~1.3)	1.305 ~ 1.643	55.60 ~ 81.38

は主要な組み合わせ

7. 取りまとめ

7.1 取りまとめ

本業務では、以下の地質調査を行った。

- (1) 本ダム左岸側における An4 の分布および An4 下部境界部付近に推定された高透水箇所の確認を目的としたボーリング調査 (C-54 孔, C-54-1 孔)。
- (2) 河床部竪坑(SF-1) 内から分岐した調査横坑(T-4-1 坑~T-4-3 坑) およびこれら 調査横坑内で実施されたブロックせん断試験箇所の地質分布確認と岩級評価。
- (3) 鞍部において別途業務で実施されたトレンチ掘削箇所における D 級岩盤と CLL 級岩盤の詳細な状況を記録することを目的としたトレンチスケッチ。
- (4) 鞍部処理工基礎対象となっている CLL 級岩盤へのコンクリートの付着性を確認 することを目的としたコンクリート付着試験
- (5) 鞍部における D 級岩盤および CLL 級岩盤の強度特性を把握することを目的とした原位置簡易貫入試験。
- (6) 鞍部トレンチ下部における CLL 級岩盤分布深度を把握することを目的としたボーリング調査。
- (7) 鞍部における D 級岩盤および CLL 級岩盤の物性を把握することを目的とした室内岩石試験。

これらの調査結果は、以下のように整理される。

- (1) 本ダム左岸側におけるボーリング調査(C-54 孔, C-54-1)の結果、An4 は深度 13.3m までの分布であり、計画ダム軸(D-D')においては、An4 は左岸アバット高標高部の狭い範囲での分布であることが確認された。
- (2) C-54 孔および C-54-1 孔におけるルジオンテストの結果、当初懸念された An4 下 部境界付近における高透水箇所は確認されず、境界部のルジオンテストでは 2Lu 未満であることが確認された。
- (3) 河床部の横坑観察の結果、地質分布に大きな変更は生じなかった。
- (4) 河床部横坑内で実施されたブロックせん断試験箇所の岩級確認では、CLH級および CM級の分布が確認され、試験実施時に評価されたせん断強度は妥当なものであることが把握された。その結果、左岸側横坑(T-3坑)で実施されたブロック

せん断試験結果をも踏まえた各岩級のせん断強度は以下のように整理される。

CLH 級: $\tau = 627.2 \text{kN/m}^2 + \sigma \tan 46.9^{\circ} \sim 921.2 \text{kN/m}^2 + \sigma \tan 45^{\circ}$

CM $\approx 1254.4 \text{kN/m}^2 + \sigma \tan 50^\circ \sim 1421.0 \text{kN/m}^2 + \sigma \tan 50.3^\circ$

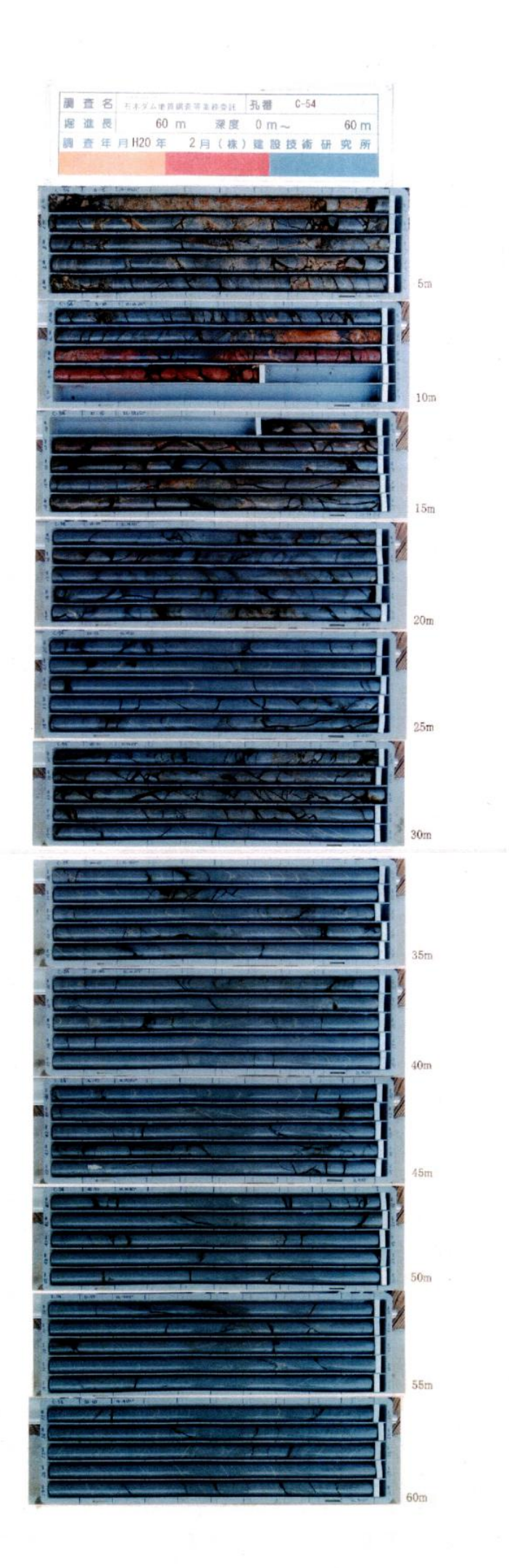
CH 級: $\tau = 2254.0 \text{kN/m}^2 + \sigma \tan 50^\circ$

(5) コンクリート付着試験は、CLL 級岩盤ではコンクリート供試体自重以上の荷重で 地盤内から破断し、コンクリート供試体底面への地盤の付着が確認された。但し、 D級岩盤ではコンクリート打設面への地盤の付着は認められなかった。

- (6) 原位置簡易貫入試験では、D級岩盤および CLL 級岩盤に対する針貫入試験とピック貫入試験を行った。試験結果から得られる針貫入勾配 NP とピック貫入勾配 PP は実測値の幅が広いものの、平均値では D級岩盤と CLL 級岩盤で比較的明瞭な強度差が認められ、NP では概ね 0.7N/mm 以上が CLL 級岩盤で、PP では概ね 1.7N/mm 以上が CLL 級岩盤となる傾向を示すことが把握された。
- (7) 鍋立山トンネル (新潟県) における泥質岩の針貫入勾配 NP と一軸圧縮試験結果の関係に基づく換算一軸圧縮強さは、D 級岩盤で $qu=132.5kN/m^2$ (平均)、CLL 級岩盤で $qu=382.5kN/m^2$ が得られた。
- (8) トレンチ底盤から実施したボーリング調査(TB-1 孔)では、トレンチ底盤からの 深度で 2.8m 以深に CLH 級岩盤の分布が確認された。
- (9) 室内岩石試験は、ブロックサンプリングおよびトリプルサンプラーにより、乱さない試料を採取した。
- (10) 力学試験では、一軸圧縮試験の他、供試体周辺を拘束して軸方向に圧縮する三軸 圧縮試験(UU) を実施した。
- (11) 密度-含水比、密度-吸水率、密度-一軸圧縮強さには、D級岩盤とCLL級岩盤で比較的明瞭な差が確認された。しかし、一軸圧縮強さについては、CLL級岩盤に対する三軸圧縮試験(UU)の試験結果においても 100~200kN/m² が主体をなしており、CLL級岩盤が軟質であることが把握された。

なお、本業務の調査結果を踏まえ、各岩級とせん断強度、変形係数、弾性係数、一軸 圧縮強さ、密度、含水比との対応を「6. 岩盤強度の検討・整理」で検討した。

1. ボーリングコア写真





調 查 名 石木ダム地質調査等業務委託 孔番 TB-1 据 進 長 4.2 m 深度 0 m ~ 4.2 m 調 查 年 月 H20 年 2 月 (株)建 設 技 術 研 究 所

2. ボーリングコア柱状図

)		. 7	名 事名	19日本ダム第29号4月				ボージがNo		
-11294	K	-		54	. 4 2	接養信息	泛解邻至依存用	i in eji	* c = # h	>-H	at	13" 06" 3.10
12 (8 (9						7.上班技术的书		94.1	The later of the second second	H 188 R		29' 53' 12.11
查票者名		41	1 6.5	180	B 日 元 /	1 ti (x (r)	税 場 人		4 末 名	n 6	*	
	119 50.19		12	1 .	e B	一日 一日 日本	紅銭機			0P-1 ンプ		ナーAAA型
2 6 17		90		-	2 78 ML	100 Pt RC 170 0 1 EM	コア採集手 ツ		1 ルジオン 標準度		-	an at at at
w to ce		n n			10		一 111	机内水位	1 (7-65#-## i	, , , ,	W.C.	報報をよう数14 年 年 4 年 本本本 正常知 - 日数月 紀
L A R	故	ic l		II,	H (D		e of	W.A.	□ 日本の本と前 □ 展覧のサイト前 □ 展覧のか	1		五十二十二十二十二十二十二十二十二十二十二十二十二十二十二十二十二十二十二十二
			x		技能化	т з	1.81	班				Reference of
	1	27 年 土	5 B	•	K 78 1C	製 様とおけない日本教育と 内内に在するローフィを定さされ、	,	13 6	1 1 1	- 4 4	-	H 28 F
1												a 1 30 30 0 a
2	**					WHIST CRESCO 0816W	(a) (a)					
3 6 8 3	- 55	W 517	5		E.	製製は一型。の割れ自かしより集まら解 内が傷く、無利は前いこは一般の開発薬 をが認められる。 を表こかや低み温味である。	25 100					
4 711 1		10 10 10	2 E		6							
5						批判表で的終すると記録が、[[延度辞明 用書物性を集する解釈]レデライトで に関わず行である。また 証券新は乗等 と同じである研究性のか。	per EM					* 1000 0
. 85 8							4 mg					
11.99	Market Land	C III	B .			コツは極心ないしは手術のを写し、練覧 限と表質器が現在する。	and and M					100 200 100 11 80
11-81-1		-	* 10			様と教育は近日のする。 他民間は西田政治に近日日大神弘 丁四朝 中長世紀よりにも、	ocean .					
10		状だ				7.3983	- 960					300 300 11 00
1000 10								1.9				to the second of the
12		U	×	J		利用に押貨するるが、製作付はや中間に 公職であり、製作用もして対象を内的性 行を事件することもある。 ファモルが声響性と収集の発生でする。	To serve	134536				un - an (m 1)
37.16 12. 30.86 13.	M V		民		1	S CHOPME COMMENTS	OH CH					
· 英縣 日			-5	8. 1			A La CV	THE STREET				a (100,01 h
150 SAIN 10			かだ			 技・は 4分割は自要幹事なより直接事 か一整件点い。 	- m CH	100				
160						コアに開放な副原施門: 体となるが、別 作目がいは、対数様として高れ望が認めい たら。	OH OH TO		77			75. 00 (981 100 0.1 (N
73.26 A	183			1	1	無むりは私選択 充実により私務等なぞ イブと観察計 にしの高力なタイプが認 めしれる。		17	1			
18	-			ŀ		61.60	7	12	1/2			- m (0:1) =
19				,			The second					
20 mm m						7	(a) (a)		53 m	on.		0 2 1
21 88 2	000						of sea on or			+		N . OF R 1
22							T E CO					
23 .675.22				7			7 4					3 2 20 10 3 0
24							The Col	LV III	1.72	+		10 M 00 M 1 M
25 14.75 24	1000			ł			CM	¥	4			4 .
26						報告と、収集に検索する保護を製印 (4)	24	Á				at make to p
17						観点心、危機で検索する保護負担的1-00 計像と、これに改定する内的の報報は一 同一の程度の関わけが活動的第一関連す のため、1 - 下のに関いたって附続的 にクラーサービなっている。	The second		1			1.3
26 4.01 31	3.5						ga spc.M.	曼		+++		140 12 am es 1 ×
29 5 7 7							A (0)		(a text) (c) 100			, et de 10 1 1
30					. 1	遊遊様はユアモネ体とすたが、最高は3 ~11:25番間は外載ってよりなっており 無れ目的いる動色なが顕著である。						
NI 50 1	A SE			4	N		du penCIII		7			W 10 1 A
32						連続等は ますそま様くずる。 当に関から直接のことは正常と 様くなり た。マーの行撃では知らば終めならなる。	The second					m (6)(6) 1 (6
53						条件株式の販売割りレデリアトトが製造 自集内配置でクル1、 仮な方向で競兵 する、販売の家は私・図1である。 東洋 ので動物が高い。	/ an-		-			2
34						機関報は17を3項とでき、 ののでは、12年の日本のでは、力と かって、かり間では12年の時間からなら からで、かり間では24年の時間からなら がある。 がった。 がある。 が。 がる。 がる。 がる。 がる。 がる。 がる。 がる	7 =	Н	13	Cal.		12 lest (10) 0
25		*					100		PM.			er comment of the
37	April 1971	il.	K				100		1			
36		E E	* *	A	1		No.					, = = - , s
39		10.					-					DE DECEMBER OF
619							1 1			2.00		
41				-			4 =					100 2 100 1 10
8.20 E.							*		1			
() NH 0				8 1		非京コデト高島のヘアークラッテが	100		1			(n) (m) (n) (1)
25.8 G	10			1		を達したがなしたっての名のを用。 1、1日の名前と乗りして表数である。	THE POST OF	П	1			10 00 00 1 0
45 26.0 45	4					MARKIN YV S SAL S ANTE.	" Name CI		htt./	,can		
46						市総用以立下を主体とする民間。 傾の引は転換す。程度返りのディブと明 相等へは、程度のディブでが来る必が いずれた素質的が多か。 成角度が見分いては過去色の変質ない しば後表質をのが、現色が変められる。	HIT					100 m tools a 10
67						し江原安駅外の他・東色が徹れられる。	of the second					4
48							A SECON					
49							7 10		12			200 SEC 120 7 1 No
50 11.0 10	W - 10			1	1		(R)		2	SIK		
51 0.81 30				J			4					MC MC 100 1.1 00
52										H		d o
53							- Comme					2 0 0 00 00 00 0
564.							House		14			
55				1			CH CH		Pic.	00		8
56	333						1		1			(M) 40 (MC) 10 (13 =
97							A June		1			- F
58							-					NC NC NC NC NA N
59 3.0 16												

8

ボーリング柱状図

調 査 名 19 石木ダム第30号石木ダム地質調查業務委託 ボーリングNo 事業・工事名 ボーリング名 C - 54 - 1 調査位置 長蟾県東彼杵郡川棚町岩屋郷外 dr. 33 05 2.97" 紬 発注 機 関 長崎県石木ダム建設事務所 経 129 53 12.17 |調査期間||平成 19年 10月 11日 ~ 20年 2月 28日 東 株式会社 建設接的研究所 電話(092-714-2211) 角 [180] 方 コア鑑定者 ボーリング 調査 主任技師 代理人 . 任 者 4E 0 地盤勾 使用 孔口標高 試錐機 OP - 1 E). 90' 270° (90° 4 鉛水平0 69.645m ф ボンプ 総 掘進長 15.00m ェンジン ヤンマーNFD-9 ヤンマーAAA型 コア採取率 岩 標 1 深 Ħ. 8 色硬 コ 制風変 ルジオン 標準貫入 害人職 åĽ () 試験 掘進状況 孔内水位 原位置試験 (F~Q×値~奈度) 図 □ . ルジオン値 () . 換算ルジオン値 () . 表界圧力 a (%) ti 最大コア長級 7 H 高 廋 状 (m) / N cm U) R Q D K 形 ĸ 状 [%] 分分 万 日 値 図 分 ,**3**4 軟状態 化質 分 20 30 黄褐 ĸ 機能にりお作士よりなる表上。 + 比較的便質な短棒状コアを主体とする。 割れ目群いは一体に褐色化しており、や や明口気にである。 ¥ 灰 裕岩 īV 12.22 22 61.75 7.90 全体に赤味を格びており、前後区間に比べて 岩平秋らかくなる。 但し、棒状コア区間が主体を増す。 割れ目沿いは褐色化している。 灰 п A THE D IV 帯掲灰 砂ちな棒状コアを下体とするに関であるが、割れ目前いとその繰り返は場合化している。 また、全体に導い場色を得びている。 環境13.2~13.3回間にかけての知路60°程度の割れ目前いは幅約5cmで角機化している。 出岩 п 13 裾

ボーリング柱状図

調 査 名 19 石木ダム第30号石木ダム地質調査業務委託 ボーリングNo 事業・工事名 ボーリング名 調査位置 北 33 04 59.5 TB-1 接崎県更彼杵郡川棚町岩髯郷外 给 発注機 関 長崎県石木ダム建設事務所 平成 19年 10月 11日 ~ 20年 2月 28日 東 経 129 53 12.15 ボーリング 現 場 代理人 コア戦定者 調査業者名 地盤勾配 孔口標高 試錐機 0 P - 1 65.00m 270° () 90° 4€ 用 H機種 総 掘 進 長 エンジン ヤンマーNFD-9 ポンプ 4.20m ヤンマーAAA型 コア採取率 岩 ルジオン 標準貫入 標 標 深 H: #1 6 便 コ割風変 **岩内縣**) 試 験 原位置試験 孔内水位回 (P~QN値~深度) 図 目: ルジオン値 () 換算ルジオン質 ② 以界圧力 ^ (%) 11 最大コア長級 7 硧 11 R 占 16 状 CT Ú) X 形 QDK / 測定月日 状 [%] N 60 **湖 軟 状態 化** 質 14 分 分 (m) (m) (**m**) 値 保護上 領土では岩内部よで、様に業格色 現化が及んでいるが、岩相様は残している。 斯裕 63,50 Ligor 深度2.8mにかけては、映画機と強風化基質部が混存する。 **茶杷~** 'n, 灰 深度3.0mより深部では、硬質な関棒状コ アを主体としており、(N級としての評価 も可能である。 暗 m



巻末資料③

ボーリング柱状図



